

CS<sub>2</sub>

NO

N<sub>2</sub>O

NO<sub>2</sub>

спектры  
испуска

(+3)

X1076 V6

6 Б91. Спектры испускания и функции возбуждения CS<sub>2</sub>, NO, N<sub>2</sub>O и NO<sub>2</sub> при электронном ударе низкой энергии. Fukui Kiyoshi, Fujita Iwao, Kuwata Keiji. Emission spectra and excitation functions of CS<sub>2</sub>, NO, N<sub>2</sub>O and NO<sub>2</sub> by low energy electron impact. «Синтез бунсэки, Mass Spectrosc», 1975, 23, № 2, 105—117 (англ.)

1975

Изучены спектры испускания CS<sub>2</sub>, NO, N<sub>2</sub>O и NO<sub>2</sub> в области 240—650 нм при возбуждении этих молекул электронами с энергией  $E=2$ —25 эв и зависимости сечений возбуждения от  $E$  [функции возбуждения (ФВ)] в условиях однократных столкновений электронов с молекулами. Получены ФВ для процессов: 1) CS<sub>2</sub>→CS<sub>2</sub><sup>\*</sup>, 2) NO→NO(A)<sup>\*</sup>, 3) N<sub>2</sub>O→N<sub>2</sub>(C<sup>3</sup>P<sub>u</sub>)+O, 4) N<sub>2</sub>O→N<sub>2</sub>O<sup>++</sup>+e, 5) NO<sub>2</sub>→NO<sub>2</sub><sup>\*</sup>, 6) NO<sub>2</sub>→NO (A и/или B)+O. Кроме состояния <sup>3</sup>A<sub>2</sub> для CS<sub>2</sub>, в области спектра 400—600 нм проявляется состояние, лежащее на 0,8 эв ниже R-системы (<sup>3</sup>A<sub>2</sub>). Вид функции возбуждения N<sub>2</sub>O подтверждает существование двух эмиттирующих состояний N<sub>2</sub>O (дублет и квартет) в области 400—600 нм. Несколько резонансных пиков обнаружено на ФВ CS<sub>2</sub>, NO и NO<sub>2</sub>. Структура ФВ для процесса 4 хорошо согласуется с пороговым законом ионизации. Резюме

\* 45 - 8656

1975

$\text{CS}_2$

( $v_1, v_2$ )

8 Д391. Высшие обертоны деформационных колебаний молекул  $^{12}\text{CS}_2$  и  $^{13}\text{CS}_2$  в основном электронном состоянии. Hallin K.-E. J., Malm D. N., Megeg A. J. Higher overtones of the bending vibrations of the ground states of  $^{12}\text{CS}_2$  and  $^{13}\text{CS}_2$ . «J. Mol. Spectrosc.», 1975, 54, № 2, 318—327 (англ.).

С высоким разрешением исследована  $R$ -система электронно-колебательно-вращательных переходов в молекулах  $^{12}\text{CS}_2$  и  $^{13}\text{CS}_2$  (область 3400—4100 Å). Вращательные постоянные высших обертонов деформационных колебаний в основном электронном состоянии определены: для  $^{12}\text{CS}_2$  — вплоть до  $v=6$  и  $l=3$ , для  $^{13}\text{CS}_2$  —  $v=4$  и  $l=2$  ( $v$  и  $l$  — соответственно колебательное и вращательное квантовые числа). Энергетич. зазоры между электронно-колебательно-вращательными уровнями с одинаковым  $l$  определены с точностью  $\pm 0,006 \text{ см}^{-1}$ . Результаты хорошо согласуются с данными, полученными методами ИК-спектроскопии. Библ. 16.

А. Перов

XII

BPD + 64066

φ 1975 N8

X4 - 8656

1975

$\text{CS}_2$

D 17 Б148. Высшие обертоны деформационных колебаний  $\text{C}^{12}\text{S}_2$  и  $\text{C}^{13}\text{S}_2$  в основном состоянии. Налип К.-Е. Й., Матт Д. Н., Мегег А. І. Higher overtones of the bending vibrations of the ground states of  $^{12}\text{CS}_2$  and  $^{13}\text{CS}_2$ . «J. Mol. Spectrosc.», 1975, 54, № 2. 318—327 (англ.)

(н.н.)

Сфотографированы в области 3400—4100 Å (часть перехода  $^3\Delta_u - ^1\Sigma_g^+$ , «горячие полосы») спектры поглощения высокого разрешения газ.  $\text{C}^{12}\text{S}_2$  и  $\text{C}^{13}\text{S}_2$  и выполнен анализ тонкой колебательно-вращательной структуры переходов; получены точные значения вращательных постоянных для обертонов деф. кол. основного состояния вплоть до  $v_2=6$  и  $l=3$  в случае  $\text{C}^{12}\text{S}_2$  и  $v_2=4$ ,  $l=2$  для  $\text{C}^{13}\text{S}_2$ .

Б. В. Рассадин

17 Б148

спектры поглощения

X 1975 N 17

БРП-Б2.6Б-ХИ

C<sub>4</sub>S<sub>2</sub>

XIS-8656

1975

B9P-6268-XIV

Dillkamp.

CHEKMP.

1475-41d Higher overtones of the bending vibrations on the ground states of carbon-12 disulfide and carbon-13 disulfide. Hallin, K. E. J.; Malm, D. N.; Merer, A. J. (Dep. Chem., Univ. British Columbia, Vancouver, B. C.). *J. Mol. Spectrosc.* 1975, 54(2), 318-27 (Eng). Large nos. of hot bands in the 1st electronic absorption system of <sup>12</sup>CS<sub>2</sub> and <sup>13</sup>CS<sub>2</sub> were analyzed from plates taken at high dispersion and accurate rotational consts. were obtained for the overtones of the ground state bending vibration up to  $v_2 = 6$  and  $l = 3$  for <sup>13</sup>CS<sub>2</sub> and  $v_2 = 4$ ,  $l = 2$  for <sup>12</sup>CS<sub>2</sub>. The energy differences between the various levels with the same  $l$  value were detd. to an accuracy of  $\sim \pm 0.006$  cm<sup>-1</sup>, but (because of the parallel polarization of the electronic transition) the abs. energies of levels with  $l > 0$  cannot be obtained.

C.A. 1975, 82, Ndd

1978

C82

Milin-Frankin M.J. et al  
J. Electron. Spectrosc.  
спектрол. и relat. Phenom,  
издания 1975, № 2, 133-149.

All  $\text{Cl}_2$ ;  $\overline{\text{m}}$

CS<sub>2</sub>

XУ - 11208

1975

10 Б1267. Флуоресценция  $\text{CS}_2^+(B^2\Sigma_u^+ \rightarrow X^2\Pi_g)$ , возбуждаемая фотоионизацией паров  $\text{CS}_2$ . Lee L. C., Judge D. L., Ogawa M.  $\text{CS}_2^+(B^2\Sigma_u^+, A^2\Pi_u \rightarrow X^2\Pi_g)$  fluorescence from photoionization excitation of  $\text{CS}_2$  vapor. «Can. J. Phys.», 1975, 53, № 19, 1861—1868 (англ.; рез. франц.)

( $\gamma$ ; и.н.)

Исследованы и отождествлены полосы испускания в диапазонах 275/295 нм, (переход  $B^2\Sigma_u^+ \rightarrow X^2\Pi_g$ ) и 300—580 нм. (переход  $A^2\Pi_u \rightarrow X^2\Pi_g$ ) при фотонизации паров  $\text{CS}_2$  излучением в диапазоне длин волн 46,2—97,7 нм. Для перехода  $A^2\Pi_u \rightarrow X^2\Pi_g$  приведена диаграмма колебательных полос, по к-рой уточнены значения потенциалов ионизации  $\text{CS}_2$  из ряда колебательных уровней основного состояния, а также величина спин-орбитально-го расщепления уровня  $A^2\Pi_u$  —  $169 \pm 20 \text{ см}^{-1}$ . Измерены абс. значения сечений образования уровней флуоресценции состояний  $A^2\Pi_u$  и  $B^2\Sigma_u^+$  в диапазоне 46—98 нм, сопоставление которых с абс. значениями сечений поглощения позволило определить квантовые выходы флуоресценции и выявить вклад процессов диссоциативной ионизации.

Г. К. Васильев

1976/10

KY-11208

1975

CS<sub>2</sub>

M. n;  
cheap  
spectroscopy.

) 84: 36998e Carbon disulfide<sup>+</sup>(B<sup>2</sup>Σ<sub>u</sub><sup>+</sup>, A<sup>2</sup>Π<sub>u</sub> → X<sup>2</sup>Π<sub>g</sub>) fluorescence from photoionization excitation of carbon disulfide vapor. Lee, L. C.; Judge, D. L.; Ogawa, M. (Dep. Phys., Univ. South. California, Los Angeles, Calif.). *Can. J. Phys.* 1975, 53(19), 1861-8 (Eng). CS<sub>2</sub><sup>+</sup>(B<sup>2</sup>Σ<sub>u</sub><sup>+</sup>, A<sup>2</sup>Π<sub>u</sub> → X<sup>2</sup>Π<sub>g</sub>) fluorescence bands produced by irradn. of CS<sub>2</sub> vapor with emission lines from λλ462-977 Å were analyzed and their prodn. cross sections measured. The assignments for the emission bands of the bending transitions, B<sup>2</sup>Σ<sub>u</sub><sup>+</sup>(0v0) → X<sup>2</sup>Π<sub>g</sub>(0v0), are suggested. By using the tentatively assigned positions of the band heads for the A<sup>2</sup>Π<sub>u</sub>-(v00) → X<sup>2</sup>Π<sub>g</sub>(000) transitions, the ionization potentials for the A<sup>2</sup>Π<sub>u</sub>(v00) vibrational levels were obtained and are in good agreement with the photoelectron data. The splitting const. of the spin-orbit interaction for the A<sup>2</sup>Π<sub>u</sub> state was 169 ± 20 cm<sup>-1</sup>. The CS<sub>2</sub><sup>+</sup> (A<sup>2</sup>Π<sub>u</sub>, B<sup>2</sup>Σ<sub>u</sub><sup>+</sup> → X<sup>2</sup>Π<sub>g</sub>) fluorescence has exceptionally high prodn. cross sections at the absorption bands assoccd. with the n = 3 members of the Rydberg series III and V.

C. A. 1976. 84. 16

51111.7202

Ch, Ph, TC, MGU

40892

CS<sub>2</sub> (гетероген.)

1975

\*45-10391

Lee L.C., Judge D.L.

CS(A<sup>1</sup>Π → X<sup>1</sup>Σ<sup>+</sup>) fluorescence from  
photodissociation of CS<sub>2</sub> and OCS.

"J.Chem.Phys.", 1975, 63, N 7, 2782-2786

(англ.)

0492 ник

460 462

R 4

ВИНИТИ

*CS<sub>2</sub>*

6 Д359. Дипольный момент CS<sub>2</sub> в состоянии  $a^3A_2$ .  
Largilliège M., Ramsay D. A. Dipole moment of  
CS<sub>2</sub> in its  $a^3A_2$  state. «Can. J. Phys.», 1975, 53, № 16,  
1579—1586 (англ.; рез. франц.)

1975

(μ)

Исследован эффект Штарка в системе  $a^3A_2 - X^1\Sigma_g^+$  молекулы  $^{12}\text{C}^{32}\text{S}_2$ . Наиболее сильно воздействие электрич. поля проявилось на вращательных уровнях  $27_{0,27}$  и  $26_{1,26}$  колебательного состояния 140 и вращательных уровнях  $29_{0,29}$  и  $28_{1,28}$  колебательного состояния 050. Эти пары уровней почти вырождены и в присутствии электрич. поля связаны взаимодействием, описываемым недиагональными матричными элементами. Анализ штарковского сдвига и формы уширенных в электрич. поле линий дал следующие значения дипольного момента и энергетич. зазора между уровнями в отсутствие поля:  $\mu'(140) = 0,37 \pm 0,04$  ед. Дебая;  $\mu'(050) = 0,47 \pm 0,05$  ед. Дебая;  $F'(27_{0,27}) - F'(26_{1,26}) = +0,025 \pm 0,010 \text{ см}^{-1}$ ;  $F'(29_{0,29}) - F'(28_{1,28}) = +0,035 \pm 0,010 \text{ см}^{-1}$ . Сравнение полученных положений уровней с величинами, определенными из спектроскопич. измерений в ближней УФ-области и данных о значениях термов нижнего состояния, обнаружило систематич. расхождение, равное  $0,02 \text{ см}^{-1}$ . Библ. 11.

И. Дворников

02/1976 № 6

Октябрь, 1975

CJS

Ottawa 3588

1975

84: 51711z Dipole moment of carbon disulfide in its  $a^3A_2$  state. Larzilliere, M.; Ramsay, D. A. (Div. Phys., Natl. Res. Coun. Canada, Ottawa, Ont.). *Can. J. Phys.*, 1975, 53(16), 1579-86 (Eng). The Stark effect on the  $a^3A_2-X^1\Sigma_g^+$  system of  $^{12}\text{C}^{32}\text{S}_2$  was investigated. The most pronounced effects involve the  $27_{0,27}$  and  $26_{1,26}$  rotational levels of the 140 vibrational state and the  $29_{0,29}$  and  $28_{1,28}$  rotational levels of the 050 vibrational state. These pairs of levels are nearly degenerate and are coupled by an off-diagonal matrix element in the presence of an elec. field. An anal. of the Stark shifts and the shapes of the Stark broadened lines yields  $\mu'(140) = 0.37 \pm 0.04$  D;  $F(27_{0,27}) - F(26_{1,26}) = +0.025 \pm 0.010$   $\text{cm}^{-1}$   $\mu'(050) = 0.47 \pm 0.05$  D;  $F(29_{0,29}) - F(28_{1,28}) = +0.035 \pm 0.010$   $\text{cm}^{-1}$ . Comparison of these energy sepn. with values caled. from measurements in the near uv spectrum and lower state term values based primarily on ir data reveals a systematic discrepancy of  $0.02 \pm 0.01$   $\text{cm}^{-1}$ .

C.A. 1976 84 N8

$\text{CS}_2$

XIV-7253

1975

Overend J.

Vibr. Spectra and  
molec. Struct. Vol. 3. New York,  
1975, 131-238.



(ccs HCN)  $\underline{\underline{III}}$

1975

$CS_2$

$\rho_i, x_{ij}$

87: 10SS79d Vibrational anharmonicity of carbon disulfide molecules in solution. Sukarova, B. N.; Ribnikar, S. V. (Fac. Sci., Univ. Skopje, Skopje, Yugoslavia). *Glas. Hem. Tehnol. Makedonija* 1975, 2(1-2), 11-21 (Eng). The IR and Raman spectra of a 1%  $CS_2$  soln. in  $CCl_4$  were analyzed. From 10 chosen transitions, the 3 zero-order frequencies and 7 anharmonicity consts. were derived. Comparison with the corresponding values of  $CS_2$  in vapor and liq. states show that the soln. data take an intermediate position in most cases, indicating a real change of these consts. on dissoln. and liquefaction. The Fermi resonance const. does not seem to be appreciably affected by the changes of state.

C. A. 1977. 87 n 14

CS<sub>2</sub>

1975

87536q General anharmonic force constants of carbon disulfide. Suzuki, Isao (Educ. Comput. Cent., Univ. Tokyo, Tokyo, Japan). *Bull. Chem. Soc. Jpn.* 1975, 48(6), 1685-90 (Eng). Twelve force consts. in the general quartic force field of CS<sub>2</sub> were detd. by a least-squares method from the available spectroscopic data on 4 isotopic species: <sup>12</sup>C<sup>32</sup>S<sub>2</sub>, <sup>13</sup>C<sup>32</sup>S<sub>2</sub>, <sup>12</sup>C<sup>32</sup>S<sup>34</sup>S, and <sup>13</sup>C<sup>32</sup>S<sup>34</sup>S. A reasonable set of force consts. is obtained together with a set of the 3rd order parameters  $\lambda_1$ ,  $\lambda_2$ ,  $\lambda_3$ , and  $\delta$  which appear in Fermi coupling off-diagonal matrix elements. From the converged set of force consts., *l*-type doubling consts. for a few  $\pi$ -vibrational states are calcd. through a direct numerical diagonalization method of vibrational Hamiltonian matrix. They agree well with the obsd. *l*-type doubling consts.

*cud, no cm.*

*C.S. 1975.83 n10*

1975

$CS_2$

II Д154. Общие ангармонические силовые постоянные дисульфида углерода. Suzuki Isao. General anharmonic force constants of carbon disulfide. «Bull. Chem. Soc. Jap.», 1975, 48, № 6; 1685—1690 (англ.)

Из эксперим. данных для частот колебаний, постоянных ангармоничности и колебательно-вращательного взаимодействия и параметра резонанса Ферми четырех изотопич. разновидностей молекулы  $CS_2$  методом наименьших квадратов вычислены квадратич., кубич. и квартичные силовые постоянные  $CS_2$ , отнесенные к внутренним колебательным координатам. Связь между

Син. подсм.

Ф. 1975 № 11

величинами и знаками полученных силовых постоянных такая же, как и для  $\text{CO}_2$  и  $\text{OCS}$ . Величины недиагональных постоянных по крайней мере на порядок меньше величин соответствующих диагональных силовых постоянных: все кубич. постоянные отрицательны, а квартичные постоянные положительны. Вычислены также ангармонич. силовые постоянные в нормальных координатах для  $\text{CS}_2$ ,  $^{13}\text{CS}_2$ ,  $\text{C}^{32}\text{S}^{34}\text{S}$  и  $^{13}\text{C}^{32}\text{S}^{34}\text{S}$ .

М. Р. Алиев

60315.1229

Ch, Ph, TC

92073 CS<sub>2</sub>~~CO<sub>2</sub>~~

1975

У-11803

Suzuki Isao. Anharmonic potential functions of simple molecules. II. Direct numerical diagonalization of vibrational hamiltonian matrix and its application to CO<sub>2</sub> and CS<sub>2</sub>. "Bull. Chem. Soc. Jap.", 1975, 48, N12, 3565-3572 (англ.)

У569

п.р.к

557 557

(cell. Cl<sub>2</sub>; II) винити

$\text{CS}_2$

1975

Ziesel J.P.

et al

guceoquam. J. Chem. Phys.,  
приложение 1975, 62 № 5  
Электронов

1936 - 40

(см. стр. 5, III)

*CS<sub>2</sub>*

XIV-7804

1976

1 Д505. Переход  ${}^1\Sigma_g \rightarrow {}^1B_2$  в кристаллическом сероуглероде. Bertinelli F., Grillante A., Chiodelli L., Taliani C.  ${}^1B_2 \leftarrow {}^1\Sigma_g^+$  transition in crystalline carbon disulphide. «Chem. Phys. Lett.», 1976, 41, № 1, 95—99 (англ.)

Получены УФ-спектры поглощения в области 300—350 нм, а также ИК-спектры поглощения в области 1400—1600 и 380—410  $\text{см}^{-1}$  ориентированных монокристаллов CS<sub>2</sub> в поляризованном свете при т-ре 9°К. В ИК-спектре зарегистрированы и интерпретированы давыдовские мультиплеты, соответствующие колебаниям  $\nu_3$  и  $\nu_2$  молекулы сероуглерода. В УФ-спектре обнаружена полоса поглощения с расстоянием между вибронными компонентами около 580  $\text{см}^{-1}$ , что коррелирует с частотой колебания  $\nu_1$  в основном состоянии, равной 657  $\text{см}^{-1}$ . Авторы относят зарегистрированную полосу поглощения к переходу из основного состояния  ${}^1\Sigma_g^+$  в состояние  ${}^1B_2$ , в котором молекула CS<sub>2</sub> имеет симметрию  $C_{2v}$ . Это отнесение подтверждается сравнением эксперим. отношения интенсивностей поглощения в двух поляризациях с рассчитанным из модели ориентированного газа. Библ. 10. Ю. М. Л.

*У. ф. синкір  
погасає*

*(ii)*

*Ф/977 N/*

*CS<sub>2</sub>*

XIV-7804

1976

2 Б146.  $A^1B_2 \leftarrow \Sigma_g^+$ -переход в кристаллическом ди-сульфиде углерода. Bertinelli F., Villante A., Chioldelli L., Taliani C.  $A^1B_2 \leftarrow \Sigma_g^+$  transition in crystalline carbon disulphide. «Chem. Phys. Lett.», 1976, 41, № 1, 95—99 (англ.)

некотор  
 $(A^1B_2 \leftarrow \Sigma_g^+)$

Исследованы спектры поглощения в ИК- и УФ-областих поликрист.  $CS_2$  и его монокристаллов, выращенных при медленной кристаллизации расплава между кварцевыми дисками. ИК-спектры исследованы при т-ре 9° К, а УФ — в интервале т-р 9—140° К. Использовано излучение, поляризованное в направлении главных осей ромбич. кристалла  $CS_2$ . Групповой анализ ИК-спектров показал наличие переходов  $\Sigma_u^+ - B_{2u}$  ( $1531,0\text{ см}^{-1}$ ) и  $\Sigma_u^+ = B_{1u}$  ( $1523,1\text{ см}^{-1}$ ) для валентных и  $\Pi_u = B_{1u}$  ( $393,7\text{ см}^{-1}$ ),  $\Pi_u = B_{2u}$  ( $399,8\text{ см}^{-1}$ ) и  $\Pi_u = B_{3u}$  ( $391,2\text{ см}^{-1}$ ) для деф. колебаний. Электронные спектры крист.  $CS_2$  в УФ-области сходны с таковыми для газо-

X 1974 N2

образного  $\text{CS}_2$ , но отличаются большей диффузностью, обусловленной процессами колебательной релаксации. Отношение поляризации  $f_b/f_c = 1,23$  и не зависит от температуры в интервале 9—140° К. Полоса поглощения  $\text{CS}_2$  в области 340—290 нм отнесена к переходу  $(^1\Delta_u)^1B_2 \leftarrow ^1\Sigma_g^+$ .  
B. Нешпор.

Биоэ  
чи зн:

\*43-1655\*

1976

CS<sub>2</sub>

CS

CS<sup>+</sup>

спектр,

80, ΔΗf

(45)

(3)

ф. 1977

6 Д436. Измерения интенсивности и длии волн для систем полос  $\text{CS}^+(A^2\Pi - X^2\Sigma^+)$  и  $\text{CS}(A^1\Pi - X^1\Sigma^+)$ , возбуждаемых в реакции метастабильных атомов  $\text{He}(2^3S)$  с  $\text{CS}_2$ . Сохон J. A., Марсоух P. J., Сеттер D. W. Intensity and wavelength measurements for the  $\text{CS}^+(A^2\Pi - X^2\Sigma^+)$  and  $\text{CS}(A^1\Pi - X^1\Sigma^+)$  band systems excited by the reaction of metastable  $\text{He}(2^3S)$  with  $\text{CS}_2$ . «Chem. Phys.», 1976, 17, № 4, 403—415 (англ.)

В спектральной области 200—1050 нм исследовано излучение, обусловленное реакцией метастабильных атомов гелия  $\text{He}(2^3S)$  с молекулами  $\text{CS}_2$ . Обнаружены: интенсивные системы полос  $\text{CS}^+(A^2\Pi - X^2\Sigma^+)$  и  $\text{CS}(A^1\Pi - X^1\Sigma^+)$ , слабые системы  $\text{CS}_2(A^2\Pi_u - X^2\Pi_g)$ ,  $\text{CS}_2^+(B^2\Sigma_u^+ - X^2\Pi_g)$ ,  $\text{CS}(a^3\Pi - X^2\Sigma)$ , несколько неидентифицированных переходов и атомное излучение (главным образом  $S^*$ ) в вакуумной УФ-области спектра. В системе  $\text{CS}^+(A - X)$  наблюдались новые полосы, которые позволили уточнить спектроскопич. постоянные верхнего и нижнего состояний, участвующих в переходе. Необходимые для анализа результатов термохимич. константы молекулы CS и иона  $\text{CS}^+$  по-

№ 6

лучены в результате критич. анализа имеющихся в ли-  
тературе данных. Авторы рекомендуют значения:  
 $\Delta H_{f0}^0(\text{CS}) = (65,1 \pm 0,5)$  ккал/моль,  $D_0^0(\text{CS}) = (170,2 \pm$   
 $\pm 0,6)$  ккал/моль,  $\Delta H_{f0}^0(\text{CS}^+) = (326,4 \pm 0,7)$  ккал/моль,  
 $D_0^0(\text{CS}^+) = (147,8 \pm 0,9)$  ккал/моль и  $D_0^0(\text{CS}^+, A^2\Pi) =$   
 $= (115,9 \pm 0,9)$  ккал/моль. С использованием потенциала  
Морзе для состояния  $\text{CS}^+(X)$  и потенциала РКР для  
 $\text{CS}^+(A)$  рассчитаны коэф. Франка-Кондона системы  
 $\text{CS}^+(A - X)$ . Результаты расчета скомбинированы с  
измеренными интенсивностями полос этой системы и  
определенны заселенности различных колебательных  
уровней состояния  $\text{CS}^+(A)$ . Используя измеренные  
интенсивности и рассчитанные с потенциалами РКР  
коэф. Франка-Кондона для системы полос  $\text{CS}(A^1\Pi, v' =$   
 $= 0 \div 4 - X^1\Sigma^+)$  проанализирована зависимость элек-  
тронного момента перехода от центроида. Резуль-  
таты, касающиеся реакции  $\text{He}(2^3S) + \text{CS}_2$ , сравнены с  
полученными при исследовании фотополоизации  $\text{CS}_2$ .

В. С. Иванов

*CS<sub>2</sub>*

1976

і Д391. Индуцированный столкновениями спектр комбинационного рассеяния жидкого CS<sub>2</sub>. Cox T. I., Madden P. A. Collision induced Raman spectra of liquid CS<sub>2</sub>. «Chem. Phys. Lett.», 1976, 41, № 11, 188—191 (англ.)

Получены спектры жидкого CS<sub>2</sub> в области запрещенных по симметрии полос  $\nu_2(\Pi_u) = 327 \text{ см}^{-1}$  и  $\nu_3(\Sigma_u^+) = 1151 \text{ см}^{-1}$ . Их интенсивности составляют 1/32,2 и 1/98,6 от интенсивности разрешенного дублета 650  $\text{см}^{-1}$ .

*спектр  
комбинационного  
рассеяния*

ф. 1977 № 1

а степени деполяризации  $\sim 0,4$ . Полосы имеют одинаковую форму с экспоненц. крыльями. Крутизна экспоненты равна 0,028 см, что совпадает с результатом, полученным для индуцированного спектра в далекой ИК-области. Соответствующая величина для разрешенной полосы и для крыла релеевской линии составляет 0,045 см. Для качеств. объяснения полученных результатов авторы привлекают выражения для индуцированных дипольного момента и поляризуемости, возникающих у молекулы в жидкости под влиянием межмолекулярных взаимодействий. Показано, что индуцированная интенсивность «запрещенных полос» определяется тензорами гиперполяризуемости 1-го порядка. Библ. 13.

М. В. Тонков

70222.924

Ch, Ph, TC, MGU

96601

*CS<sub>2</sub>*

1976

4908

Čermák V. Penning ionization electron spectroscopy of CO, HCl, HBr and of triatomic molecules N<sub>2</sub>O, NO<sub>2</sub>, CO<sub>2</sub>, COS and CS<sub>2</sub>. "J. Electron Spectrosc. and Relat. Phenom.", 1976, 9, N 6, 419-439  
 (англ.)

(664. CO III)

П817

нинк

770 775 809

ВИНИТИ

*CS<sub>2</sub>*

*XCS - 13596*

*1976*

*(μ)*

84: 82078c Electric field-induced spectrum of carbon disulfide: excited state dipole moment. Dows, David A.; Jung, Hyun Chai (Dep. Chem., Univ. South. California, Los Angeles, Calif.). *J. Mol. Spectrosc.* 1976, 59(2), 255-64 (Eng). The elec. field-induced spectrum (EFS) of CS<sub>2</sub> vapor was obsd. in a no. of vibronic bands in the 3300-3750 Å region of the B<sub>2</sub> ← 1E<sub>g</sub><sup>+</sup> electronic system. A detailed anal. of the Σ0<sup>++2</sup> band at 241.8 cm<sup>-1</sup> has yielded the elec. dipole moment of the bent excited state of the transition as 0.7 ± 0.1 D. Consideration of the line shapes of the EFS lines in this band gives a confirmation of the value of A' near 4.3 cm<sup>-1</sup>. The ratio of induced absorption intensities perpendicular and parallel to the applied field in various bands correlates with the band-type assignments of B. Klemens (1963).

*C.A. 1976-84112*

CS<sub>2</sub>

ФИС-13596

1976

11 Д384. Индуцированный электрическим полем спектр CS<sub>2</sub>. Дипольный момент молекулы в возбужденном состоянии. Dows David A., Jung Hui-p Chai. Electric field-induced spectrum of carbon disulfide: excited state dipole moment. «J. Mol. Spectrosc.», 1976, 59, № 2, 255—264 (англ.)

Индуцированный электрич. полем спектр паров CS<sub>2</sub> в области полос R и S электронной системы  $B_2 \rightarrow ^1\Sigma_g^+$  (3300—3750 Å) исследован с разрешением 0,1—0,3 см<sup>-1</sup>. В результате анализа полосы  $\Sigma 0^{\pm 2}$  (29241,8 см<sup>-1</sup>) определен электрический дипольный момент молекулы в изогнутом возбужденном состоянии — (0,7±0,1) ед. Дебая. Расчет дипольного момента молекулы CS<sub>2</sub> в состоянии  $^3A_2$  с валентным углом 135° и дли-

и, н;  
20.000

Ф. 1976 № 11

ной связи C—S, равной 1,64 Å, дает значение 0,83 ед. Дебая с локализацией отрицат. заряда диполя на углеродном атоме. По форме линий индуцированного полем спектра оценена константа  $A' = 4,4 \div 4,6 \text{ см}^{-1}$ , что согласуется с ранее полученным значением  $4,3 \text{ см}^{-1}$ . Отношение интенсивностей линий индуцированного поля спектра в параллельно и перпендикулярно полю поляризованном свете подтверждает ранее выполненную идентификацию типов полос. В спектральной области, где расположено состояние  ${}^3A_2$  молекулы CS<sub>2</sub>, наложение поля не меняет спектра, что свидетельствует о линейной геометрии молекулы в этом возбужденном состоянии. Библ. 9

70215.4565

31603

1976

Ch, Ph, TC

CS<sub>2</sub>

Х 3-16851

Davis\_K.A., Overend John.

The rotational dependence of purely vibrational anharmonic resonances."Spectrochim.acta", 1976, A32, N 9, 1571-1579

(англ.)

0814 ник

735 743 8 06

ВИНИТИ

XG-13594

1976

CS<sub>2</sub>

) 84: 82081y Rydberg states of carbon dioxide and carbon disulfide. Greening, F. R.; King, G. W. (Dep. Chem., McMaster Univ., Hamilton, Ont.). *J. Mol. Spectrosc.* 1976, 59(2), 312-25 (Eng). The electronic absorption spectra of CO<sub>2</sub> and CS<sub>2</sub> were reexamined. Model potential calcns. were used to calc. the energies of excited states in the Rydberg approxn. and (npσ) and (npπ) Rydberg series were assigned. For both molecules the lowest excited  $^1\Pi_g$  and  $^1\Pi_u$  states are identified as Rydberg states. The lowest  $^1\Sigma_u^+$  state is mainly Rydberg for CO<sub>2</sub>, but contains some valence character for CS<sub>2</sub>. There is no evidence for transitions to addnl. valence states of these symmetries. LCAO/MO predictions about excited states can be misleading because of near-linear dependencies which arise in multicenter expansions. A consideration of the united atom orbitals for CO<sub>2</sub> and CS<sub>2</sub> predicts that there should be only the no. of low-energy excited states which are found from the spectral anal.

Aug 29  
Cochrane

(cont. CO<sub>2</sub>, 1976)

C.A. 1976 84 n12

CS<sup>1</sup><sub>2</sub>

1976

Чаркин О.Т. и орп.

М. №орг. ХУЛ. 1976  
21, №, 2022-29.

(расчелу)  
~~изобр. 21.~~  
сострукб.

(алл Реч) III

60803.7510

Ch., TC, MGU

96559

 $CS_2 (c_4, n)$ 

1976

ХУ 73944

Hubin-Franklin M.-J., Katihabwa  
J., Collin J.E. Dissociative electron attachment for the carbonyl sulphide molecule in the gas phase. Heat of formation of the CS radical. "Int. J. Mass Spectrom. and Ion Phys.", 1976, 20, N 2-3, 285-293 (англ.)

651 654

613

0671

НИИ  
ВИНИТИ

60318.1821

TC, Ph, Ch

CS<sub>2</sub> (?)

96201

1976

ii-11844

Hubin-Franskin M.-J., Locht R., Ka-  
tihabwa J. Dissociative ionization of ca-  
rbon disulphide in the gas phase. Heat  
of formation of the CS radical.

"Chem. Phys. Lett.", 1976, 37, N 3,

488-493 (англ.)

0582 РНК

547 548 574

ВИНИТИ

C<sub>N</sub>2

1976

Krishnamachari S. L. N. G.  
et al.

Chem. Phys. Lett., 1976,  
41, N1, 183-4.

(with  
paracresyl.)

(acq NH<sub>2</sub>) III

1976<sup>o</sup>

C82-

Lindberg J. et al.

Qualif. See. Mett. and  
Struct. Tribune Per-Cor  
Towdin New York-London  
1976, 93-103



(acc. CB24; III)

ХС-12446

1976

CS<sub>2</sub>

8 Д846. Эмиссионный спектр газообразного сероуглерода, возбуждаемый N<sub>2</sub> лазером. Эффект тушения магнитным полем. Matsudaki Akiyoshi, Nagakura Saburo. The gas-phase emission spectrum of carbon disulfide excited by an N<sub>2</sub> laser-magnetic quenching effect. «Bull. Chem. Soc. Jap.», 1976, 49, № 2, 359—362 (англ.)

Эмиссионный спектр газообразного CS<sub>2</sub>, возбуждаемый азотным лазером, исследован с временным разрешением в области т-р от —90 до +25° С. Спектр содержит 3 системы полос, одна из которых соответствует переходу из состояния <sup>1</sup>A<sub>2</sub>. Для всех 3 полос определены времена жизни, в отсутствие столкновений и константы столкновительной дезактивации. Установлено, что флуоресценция из состояния <sup>1</sup>A<sub>2</sub> тушится магн. полем вследствие усиления внутримолекулярных процессов переноса энергии. Указано, что это первое наблюдение магн. тушения излучения из возбужденного синглетного состояния. Библ. 23.

И. Дворников

Ф. 1976. № 8.

*CS<sub>2</sub>*

*#12446*

*1976*

*check  
new catalog*

) 84: 128361v The gas-phase emission spectrum of carbon disulfide excited by a nitrogen laser-magnetic quenching effect. Matsuzaki, Akiyoshi; Nagakura, Saburo (Inst. Solid State Phys., Univ. Tokyo, Tokyo, Japan). *Bull. Chem. Soc. Jpn.*, 1976, 51(2), 359-62 (Eng). The time-resolved emission spectrum and its temp. dependence were obsd. with gaseous CS<sub>2</sub> excited by an N<sub>2</sub> laser. The spectrum consisted of 3 band systems, one of them being demonstrated to be emission from the <sup>1</sup>A<sub>2</sub> state. The collision-free lifetimes and the collisional quenching consts. were detd. for the 3 band systems. The emission from the <sup>1</sup>A<sub>2</sub> state was quenched by a magnetic field because of the enhancement of an intramol. energy-transfer process. This is the 1st observation of the magnetic quenching of emission from an excited singlet state.

*C.A. 1976*

*84 n 18*

CS<sub>2</sub>

1976

15 Б164. Спектр излучения газообразного сероуглерода, возбужденного при помощи N<sub>2</sub> лазера. Эффект магнитного тушения. Matsuzaki Akiyoshi, Nagakura Saburo. The gas-phase emission spectrum of carbon disulfide excited by an N<sub>2</sub> laser-magnetic quenching effect. «Bull. Chem. Soc. Jap.», 1976, 49, № 2, 359—362 (англ.)

Измерена временная зависимость спектра излучения CS<sub>2</sub> в газовой фазе, возбужденного при помощи N<sub>2</sub> лазера  $\nu = 29656 \text{ см}^{-1}$ , в области длии волн от 340 до 580 нм и диапазоне температур от 25 до —90°. Выполнена идентификация спектра излучения, две полосы, состоящие из узких линий, отнесены к переходам из состояния <sup>1</sup>A<sub>2</sub> и состояния 8V, в то время как широкая полоса отнесена к переходам из состояния <sup>1</sup>B<sub>2</sub>. Для семи полос, соответствующих переходам из состояний <sup>1</sup>A<sub>2</sub>, 8U и <sup>1</sup>B<sub>2</sub>, измерены времена жизни в отсутствие соударений (от 2,9 до 17,0 мксек) и постоянные скорости тушения вследствие соударений (от  $9,0 \cdot 10^{-10}$  до  $1,7 \cdot 10^{-10} \text{ см}^3/\text{молекул}$ ). Впервые обнаружен и исследован на примере

спектр излучений

14-12 Ч 46

X, 1976, 15.

полосы 379,7 нм, отнесенной к переходу из состояния  $(0, 5, 0)^1A_2$  к основному состоянию, эффект тушения излучения в магнитном поле. Установлено, что время жизни в отсутствие соударений при изменении магнитного поля от 0 до 12,6 кгс уменьшается от 4,1 до 2,2 мкsec, в то время как постоянная тушения вследствие соударений остается неизменной ( $5,6 \cdot 10^{-10}$  см<sup>3</sup>/молекул) в пределах эксперим. ошибки. Наблюдаемое магнитное тушение флуоресценции из синглетного состояния объясняются усилением внутримолек. безызлучательных процессов. Рассмотрено принципиальное отличие обнаруженного эффекта от известных эффектов магнитного тушения, ранее наблюдавшихся в иоде и двукиси азота.

С. Н. Мурзин



ЧУ-16855

1976

CS<sub>2</sub>

12 Б1245. Термодинамические энергии ионизации и реакции перезарядки в бензоле и замещенных бензолах. Meot-Ner M., Field F. H. Thermodynamic ionization energies and charge transfer reactions in benzene and substituted benzenes. «Chem. Phys. Lett.». 1976, 44, № 3, 484—489 (англ.)

На масс-спектрометре с ионизацией электронным ударом при давл. 0,5—1,0 Омм изучены ионизационные равновесия типа  $C_6H_5X^+ + C_6H_5Y \rightleftharpoons C_6H_5Y^+ + C_6H_5X$  в смесях замещ. бензолов, содержащихся в конц-ии 0,03—3% в среде CS<sub>2</sub>. Время пребывания газовой смеси в ионном источнике равно 0,5 мсек, что соответствует 5000 столкновений иона с нейтр. молекулами, т. е. достижению равновесия. На основании т-рных зависимостей констант равновесия в диапазоне 450—600 К определены термодинамич. энергии ионизации (ТЭИ) 11 замещ. бензолов и CS<sub>2</sub> относительно бензола. Найденные значения разностей ТЭИ этих в-в и бензола сравниваются с известными из лит-ры соотв-щими разностями потенциалов ионизации (ПИ), измеренных ме-

термод.  
энергий  
ионизации

Y. 1977. N/2

тодами фотоионизац. масс-спектрометрии и фотоэлектронной спектроскопии. Показано, что разности ТЭИ обычно на 0,5—2,0 ккал/моль выше соотв-щих разностей ПИ, к-рые соответствуют О—О-переходу. Величины разностей ТЭИ оказываются ближе к разностям вертикальных, а не адиабатич. ПИ. Это показывает, что в ионах замещ. бензолов нек-рые колебания возбуждены сильнее аналогичных колебаний в соотв-щих нейтр. молекулах. Др. словами, ионизация замещ. бензолов снижает силовые постоянные нек-рых колебаний в большей степени, чем ионизация молекулы бензола. Изучена кинетика 4 экзотермич. р-ций перезарядки (экзотермичность 2,2—6,2 ккал/моль) при т-рах 400—600 К:  $C_6H_6^+ + C_6H_5Cl \rightarrow C_6H_5Cl^+ + C_6H_6$ ;  $C_6H_6^+ + C_6H_5CH_3 \rightarrow C_6H_5CH_3^+ + C_6H_6$ ;  $C_6H_5Cl^+ + C_6H_5Br \rightarrow C_6H_5Br^+ + C_6H_5Cl$ ;  $C_6H_5CN^+ + C_6H_6 \rightarrow C_6H_6^+ + C_6H_5CN$ . Константы скорости этих р-ций не зависят от т-ры и равны (1,3—1,6) ·  $10^{-9}$  см<sup>3</sup>/молекула·сек, что соответствует частоте соударений с учетом ион-дипольного притяжения.

В. Е. Скурат

61203.3710

Ch, Ph, TC, MQU

40892

1976

C<sub>2</sub>S<sub>2</sub>

8

4-15604

Monahan K.L., Russell R.L., Walker

W.C.

Electronic transitions in CS<sub>2</sub>: a systematic assignment based on solid phase spectra.

"J.Chem.Phys.", 1976, 65, N 6, 2112-2115

(англ.)

0757 ГМК

714 724 749

ВИНИТИ

$\text{CS}_2$

$\overline{\text{CS}}$   
 $\text{COH}$   
 $\text{COS}$

1976

P.8006 U.A. u gp.

pyk gen 8 BULHITI  
N 3685 - 76 DEN.

(pacem)  
31. cnp.)

(all. Bet) III

$\text{CS}_2$  monophasic 1976  
Ramsay D. A.

"Spectrosc. Excited  
State" 1976, 47-83, New  
York-London (auv)

examp  
examp

●  $\text{fus } \text{CO}_2; \text{ III}$ )

70301.8405

TC, Ph, Ch

30526GR

1976

C<sub>2</sub>S<sub>2</sub> (сингл.)

4-17130

Sandler Stanley L., Marten Alfred K.  
X-ray diffraction study of liquid carbon  
disulphide. "Mol. Phys.", 1976, 32,  
N 6, 1543-1558 (англ.)

784 785

0821 ПМК ВИНИТИ

*CS<sub>2</sub>*

X 4 - 1665 X

1976

11 Б1017. Разрешение по времени и частоте флуоресценции CS<sub>2</sub>, возбуждаемой азотным лазером. Silvers Stuart J., McKeeveg Mark R. Time and frequency resolution of CS<sub>2</sub> fluorescence excited by a nitrogen laser. «Chem. Phys.», 1976, 18, № 3—4, 333—339 (англ.)

*Спектры  
флуоресценции*

Зарегистрированы возбуждаемые лазером на N<sub>2</sub> спектры флуоресценции (Фл) паров CS<sub>2</sub> при различных давл. (0,001—1 мм) и т-рах (комнатная и —78°). Эти спектры состоят из резких регулярно чередующихся электронно-колебательных полос в области 3400—4100 Å и 2-й области нерегулярных полос, наложенных на континуум, в видимой области спектра. Т-ные зависимости спектра показывают, что полосы обусловлены возбуждением из состояния  $v_2''=1$ , а континуум — возбуждением из состояния  $v_2''=2$ . Кинетич. кривые затухания Фл в различных спектральных областях соответствуют 2 экспонентам с временами жизни 2,9 и 17 мсек для полос и континуума соотв. Предположено, что при лазерном облучении заселяются 2 различных вибронных уровня  $T^1A_2$ -состояния CS<sub>2</sub>, причем эти уровни имеют различные излучательные характеристики. Обсуждается природа переходов в континууме.

В. Е. Скурат

X.1977. № 11

*CS<sub>2</sub>*

XIS - 16657

1976

6 Д828. Временное и частотное разрешение флуоресценции CS<sub>2</sub>, возбуждаемой азотным лазером. Silvers Stuart J., McKeeveg Mark R. Time and frequency resolution of CS<sub>2</sub> fluorescence excited by a nitrogen laser. «Chem. Phys.», 1976, 18, № 3—4, 333—339 (англ.)

В спектре флуоресценции паров CS<sub>2</sub>, возбуждаемом азотным лазером, обнаружены несколько прогрессий  $v_2''$  в близкой УФ-области и чувствительная к т-ре нерегулярная структура, наложенная на континуум, в видимой области. Установлено, что полосатая структура спектра обусловлена главным образом переходами с уровня  $v''=1$ , тогда как континуум — переходами с  $v''=2$ . Исследования флуоресценции во времени показали, что кривая распада двухкомпонентна. Короткоживущая флуоресценция (2,9 мксек) связана с полосами, а долгоживущая (17 мксек) — с континуумом. Сделано заключение, что при лазерном возбуждении заселяются 2 вибронных уровня состояния  $T^1A_2$ , имеющие различные радиационные свойства. Обсуждены эти различия и высказаны предположения о возможной природе континуума. Библ. 17.

*Структ.  
спектра  
заселен  
уродлив*

*Ф. 1977  
№ 6*

*CS<sub>2</sub>*

9 Д1012. Образование CS ( $a^3\Pi$ ) при фотодиссоциации CS<sub>2</sub> в области длин волн меньше 1600 Å. Black G., Sharpless R. L., Slanger T. G. Production of CS ( $a^3\Pi$ ) in the photodissociation of CS<sub>2</sub> below 1600 Å. «J. Chem. Phys.», 1977, 66, № 5, 2113—2117 (англ.)

1977

*Фотодиссоциация*

Фотодиссоциация молекул CS<sub>2</sub> с образованием излучающих фрагментов исследована в области длин волн 1050—2100 Å. Показано, что квантовый выход образования атомов S(<sup>1</sup>S) мал ( $\leq 0,1$ ) во всем исследованном спектральном интервале. В области длин волн 1250—1400 Å, с высоким квантовым выходом (близким к 1) образуются молекулы CS ( $a^3\Pi$ ). Оценено радиационное время жизни состояния CS ( $a^3\Pi$ ),  $\tau = (16 \pm 3)$  мсек. Определены константы скорости тушения CS ( $a^3\Pi$ ) при столкновениях с CS<sub>2</sub>, NO, CO, O<sub>2</sub>, H<sub>2</sub>, CO<sub>2</sub>, N<sub>2</sub>, Ar и He. Полученные значения сравнены с данными по тушению CO ( $a^3\Pi$ ) теми же газами. Сделаны заключения о механизмах тушения. В частности, показана существенная роль диссоциативного тушения CO ( $a^3\Pi$ ) при столкновении с H<sub>2</sub> и CO<sub>2</sub> и переноса энергии с образованием

(+)

CO ( $a^3\Pi$ )  
образование  
при диссоциации.  
Ф 1977 № 9

N<sub>2</sub> ( $A^3\Sigma_u^+$ ) при тушении CO ( $a^3\Pi$ ) молекулами N<sub>2</sub>.  
Библ. 36.

В. С. Иванов

18225

$CS_2$

1974

Brion G.E., et al.

J. Electron Spectroscop.

and Relat. Phenom., 1977,  
12, II, 77-93.

nomoski,  
enrich

(cur.  $CO_2$ ; III)

$CS_2$

1977

Cederbaum Z.S. et al.

Фотоди.  
спектр.  
(γ).

J. Phys. Atom. and Mol. Phys.,  
1977, B10, N15, 549-553(анал)

ав.  $CO_2$  - III

70519.1

B, Ph, Ch, TC

40771

C<sub>2</sub>S<sub>2</sub>

1977

Кол. 200мм. прессу + 05-18367

Dewar Michael J.S., Ford

George P. Ground states of molecules. 37.

MINDO/3 calculations of molecular vibration frequencies. "J. Amer. Chem. Soc.", 1977, 99, N 6, 1685-1691 (англ.)

0882 РМК

839 844

ВИНИТИ

70606.8756  
Ch, Ph, TC, MGU

(термoluminesc.)  
CJ,  
1972

\* 18-18419

Fournier J. & Lalo C., Deson J.,  
Vermeil C.  
Thermoluminescence following vuv photolysis  
of OCS and CS<sub>2</sub> in an argon matrix.

"J. Chem. Phys.", 1977, 66, N 6, 2656-2659

(англ.)

0890 пмк

850 857 8 1

ВИНИТИ

С. Зе

15.7.7

18 Б125 Д. Фотоионизационная спектроскопия высокого разрешения малых молекул. Gotchev Bontsch o. Hochauflösende Photoionisationsresonanzspektroskopie an kleinen Molekülen. Diss., Dokt. Fachbereich Chem. Biol. Geowiss. Techn. Univ. München, 1977. 178 S., ill. (нем.)

Фото-  
ионизация

Проведено исследование процессов фотоионизации молекул  $\text{CO}_2$ ,  $\text{CS}_2$ ,  $\text{COS}$ ,  $\text{N}_2\text{O}$  и  $\text{H}_2\text{CO}$  методами электрон-ионных и электрон-фотонных совпадений с использованием энергоанализаторов и монохроматоров сверхвысокого разрешения и синхротронного излучения в качестве источника ионизирующих фотонов. Разрешена тонкая структура  $\tilde{A}$ -состояния  $\text{CO}_2^+$ ,  $\text{CS}_2^+$  и  $\text{COS}^+$ , и  $\tilde{X}$ -состояния  $\text{CO}_2^+$  и  $\text{N}_2\text{O}^+$  (эффект Реннера — Теллера). Из спектров электрон-ионных совпадений определены относит. вероятности различ. распадов  $\text{CO}_2^+(\tilde{C})$ ,  $\text{CS}_2^+(\tilde{C}, \tilde{D})$ ,  $\text{COS}^+(\tilde{A}, \tilde{B}, \tilde{C})$  и  $\text{H}_2\text{CO}^+(\tilde{B})$ . Определены времена жизни по отношению к испусканию колебат. состояний  $\text{CO}_2^+\tilde{A}(^2\Pi_u, 000, 100, 200, 300)$ ,  $\tilde{B}(^2\Sigma_u^+, 000)$  и  $\text{N}_2\text{O}^+\tilde{A}(^2\Sigma^+, 000, 100)$ . Для состояния  $\tilde{A}(100)\text{N}_2\text{O}^+$  определены времена жизни по отношению к испусканию и к диссоциации.

Е. Николаев

(4) □

Х.Р.9.11.8

*CS<sub>2</sub>*

1977

*Ji.*

12 Д143. Влияние межмолекулярного взаимодействия на антисимметричное валентное колебание молекулы CS<sub>2</sub>. Jancsó Gábor, Van Hook Alexander et al. The effect of intermolecular interaction on the asymmetric stretching vibration of CS<sub>2</sub>. «Chem. Phys. Lett.», 1977, 48, № 3, 481—482 (англ.)

По изменению <sup>12</sup>C—<sup>13</sup>C — изотопич. сдвига частоты  $\nu_3$  молекулы CS<sub>2</sub> при переходе из газообразной в жидкую фазу оценен вклад межмолекулярного взаимодействия в сдвиг частоты при конденсации (13 см<sup>-1</sup>). Остальная

часть этого сдвига (14 см<sup>-1</sup>) отнесена к «диэлектрич. поправке» внутреннего поля.

М. Р. Алиев

Ф. 1977, N12

*CS<sub>2</sub>*

Оммиси 5588

1977

2 Б190. Спектры комбинационного рассеяния и инфракрасные спектры CO<sub>2</sub> и CS<sub>2</sub> изолированных в матрице. Loewenschuss A., Givan A. Raman and infrared spectra of matrix isolated CO<sub>2</sub> and CS<sub>2</sub>. «Spectrosc. Lett.», 1977, 10, № 7, 551—558 (англ.)

Измерены ИК- и КР-спектры CO<sub>2</sub> и CS<sub>2</sub> в криптоно-вой матрице при т-ре 20° К и разбавлении соотв. 1 : 500—2500 и 1 : 500—30 000. КР-спектры возбуждались Ar<sup>+</sup>(5145 Å) и Kr<sup>+</sup>(6471 Å) лазерами, ИК-спектры регистрировались в области выше 200 см<sup>-1</sup>. В ИК-спектре CO<sub>2</sub> наблюдались полосы 2278,0; 2342,2; 660,2 см<sup>-1</sup> отнесенные к ν<sub>3</sub>(<sup>13</sup>C<sup>16</sup>O<sub>2</sub>), ν<sub>3</sub>(<sup>12</sup>C<sup>16</sup>O<sub>2</sub>), ν<sub>2</sub>(<sup>12</sup>C<sup>16</sup>O<sub>2</sub>). В случае ν<sub>3</sub>(<sup>12</sup>C<sup>16</sup>O<sub>2</sub>) и ν<sub>2</sub>(<sup>12</sup>C<sup>16</sup>O<sub>2</sub>) наблюдались доп. малоинтенсивные полосы, обусловленные различными местами захвата молекул матрицей (соотв. 2344,0 и 662,6 см<sup>-1</sup>). В спектре-КР обнаружены две полосы — 1382,0 см<sup>-1</sup>, ν<sub>1</sub>(<sup>12</sup>C<sup>16</sup>O<sub>2</sub>) и 1277,9 см<sup>-1</sup>, 2ν<sub>2</sub>(<sup>12</sup>C<sup>16</sup>O<sub>2</sub>), (резонанс Фер-

(f1) B

2: 1978, N2

ми). В ИК-спектре  $\text{CS}_2$  получены полосы 1522,3; 1520,5  $\text{см}^{-1}$  —  $\nu_3(^{12}\text{C}^{32}\text{S}_2)$ , разные места захвата, 1518,8  $\text{см}^{-1}$  —  $\nu_3(^{12}\text{C}^{32}\text{S}^{34}\text{S})$ , 1474,0  $\text{см}^{-1}$  —  $\nu_3(^{13}\text{C}^{32}\text{S}_2)$ , 396,5  $\text{см}^{-1}$  —  $\nu_2(^{12}\text{C}^{32}\text{S}_2)$ . В спектре-КР  $\text{CS}_2$  наблюдались полосы 800,8  $\text{см}^{-1}$  —  $2\nu_2(^{12}\text{C}^{32}\text{S}_2)$  (резонанс Ферми); 655,5; 646,5  $\text{см}^{-1}$  —  $\nu_1(^{12}\text{C}^{32}\text{S}_2$  и  $^{12}\text{C}^{32}\text{S}^{34}\text{S}$ ). Отмечается, что эффект проявления различных мест захвата наблюдается только в ИК-спектрах. Предполагается, что это может быть связано с изменением положения центра молекулы относительно центра ячейки замещения при активных в ИК-спектре колебаниях, в то время как при полносимметричных колебаниях, активных в спектре-КР, центральный атом не участвует в колебательном движении. Подобные эффекты были обнаружены ранее для некоторых галогенидов цинка и ртути.

п м Ковбр



*CS<sub>2</sub>*

оттиск 5588

1977

1 Д433. Спектры ИК-поглощения и комбинационного рассеяния матрично-изолированных CO<sub>2</sub> и CS<sub>2</sub>. Lewenschuss A., Givan A. Raman and infrared spectra of matrix isolated CO<sub>2</sub> and CS<sub>2</sub>. «Spectrosc. Lett.», 1977, 10, № 7, 551—558 (англ.)

Получены спектры ИК-поглощения молекул CO<sub>2</sub> (I) и CS<sub>2</sub> (II) в криптоновой матрице при т-ре 20° К, а также спектры комб. рас. матрично-изолированных I и III при возбуждении лазерными линиями 647,1 и 514,5 нм. Отмечено изотопич. расщепление линий комб. рас. и ИК-полос I и II, а также расщепление ИК-полос I и II вследствие взаимодействия внедренных молекул с матрицей. Показано, что уменьшение значений частот полос фундаментальных колебаний I и II при переходе от газовой фазы к матрично-изолированным образцам не превышает 1%. Сделан вывод, что величины колебательных частот матрично-изолированных I и II могут быть использованы для определения значений констант силовых полей этих молекул.

И. В. А.

*✓  
i; ссн. n.*

*⊗*

*9, 1978, VI*

CS<sub>2</sub>

annulus 5454

1977

(He<sup>-</sup>)

Lowe J.P.

J. Amer. Chem. Soc.,

1977, 99, (17), 5557-70.

$CS_2$  Meot-Ner (mautner) m., 1977  
Field F. H.

$H^+$  "J. Chem. Phys." 1977, 66,  
N 10, 4527-4531.

(ca.  $CO_2$ ) III

*CS<sub>2</sub>*

1977

7Б143. Инфракрасные полосы одновременных переходов в жидким сероуглероде. Marković Dušan M., Stojković Stojan R., Ribnikar Slobođan V. Simultaneous infrared bands in liquid carbon disulphide. «Гласник Хем. друшт. Београд», 1977, 42, № 6—7, 493—498 (сербскохорв.; рез. англ.)

В спектрах ИК-поглощения р-ров серы и белого фосфора в CS<sub>2</sub> обнаружен ряд линий (1980, 1743, 1668 и 1364 см<sup>-1</sup> для серы и 1970 см<sup>-1</sup> для фосфора), к-рые были отнесены к составным тонам с участием колебаний молекулы серы и фосфора и колебания  $\nu_3$ CS<sub>2</sub>. Это подтверждается как анализом спектров, так и характером конц-ионной и т-риой зависимости интенсивностей линий. Составные тона проявляются также в спектре поглощения чистого CS<sub>2</sub> (комбинации  $\nu_3 + \nu_1$  и  $\nu_3 + \nu_2$ ). А. В. Бобров

Х, № 7, 1982

$C_5_2$

ommica 5680

1977

Messing Itzhak et al  
"Chem. Phys." 1977, 25, n<sup>1</sup>,  
Y.P. creep 55-74, am.)

all.  $CH_3Y$ - III

CS<sub>2</sub>

Lomm 5309

1927

Overend J.

Spectrochim. Acta, 1977,  
33A, 311-14

The relative dipole strengths  
of the  $00^{\circ} \rightarrow 180^{\circ}$  and  $00^{\circ} \rightarrow 02^{\circ}$   
laser transitions in CS<sub>2</sub> and Cl<sub>2</sub>.

$\text{CS}_2$

kyalov et al.

1977

хб. схем.

Zh. Fiz. Khim. 1977,

51(3) 770 (Russ)

(см Be F, III)

радиоэлектронн.  
справочник

$\text{CS}_2$

1977

Schaefenberg P.

paerem  
pabt.  
reous.

Z. Chem., 1977, 17, n 10,  
388-389.

(crys. HCl ;  $\text{^{\circ}C}$ )

*CS<sub>2</sub>*

*BG-XIV-9468*

*1977*

14 Б261. Колебательно-вращательные полосы  $^{12}\text{CS}_2$  и  $^{13}\text{CS}_2$  в области 2700—2900 см $^{-1}$ . Walrand ~~Jae~~  
ques, Blanquet Ghislain, Courtoy Charles P. Bandes de vibration—rotation de  $^{12}\text{C}$  et  $^{13}\text{CS}_2$ :

*ré*gion 2700—2900 см $^{-1}$ . «Ann. Soc. Sci. Bruxelles», 1977, Sér. I, 91, № 3, 145—178 (франц., рез. англ.)

На дифракц. спектрометре в области частот от 2700 до 2900 см $^{-1}$  с разрешением около 0,03 см $^{-1}$  исследована колебательно-вращательная структура 8 полос  $^{13}\text{CS}_2$ , 3 полос  $^{12}\text{CS}_2$  и 1 полосы  $^{13}\text{C}^{32}\text{S}^{34}\text{S}$ . Идентифицировано свыше 750 линий. Для всех полос определены нулевые частоты, вращательные постоянные и постоянные центробежного искажения. В основном колебательном состоянии  $^{13}\text{CS}_2$  вращательная постоянная  $B_0 = (10912,25 \pm 0,21) \cdot 10^{-5}$  см $^{-1}$  и постоянная центробежного искажения  $D_0 = (1,160 \pm 0,012) \cdot 10^{-8}$  см $^{-1}$ , что в целом хорошо согласуется с лит. данными. Для  $^{13}\text{C}^{32}\text{S}^{34}\text{S}$  в основном колебательном состоянии  $B'' = (10588,5 \pm 1,2) \cdot 10^{-5}$  см $^{-1}$  и  $D'' = (0,96 \pm 0,17) \cdot 10^{-8}$  см $^{-1}$ .

С. Н. Мурзин

*2, 1978, № 4*

БН-XIV-9468

1977

CS<sub>2</sub>

7 Д502. Колебательно-вращательные полосы <sup>12</sup>CS<sub>2</sub> и  
<sup>13</sup>CS<sub>2</sub>: область 2700—2900 см<sup>-1</sup>. Walrand Jacques,  
Blanquet Ghislain, Courtoy Charles P.  
Bandes de vibration — rotation de <sup>12</sup>CS<sub>2</sub> et <sup>13</sup>CS<sub>2</sub>: région  
2700—2900 см<sup>-1</sup>. «Ann. Soc. Sci. Bruxelles», 1977,  
Sér. 1, 91, № 3, 145—178 (франц.; рез. англ.)

С помощью спектрометра Жирара с разрешением  
0,03—0,05 см<sup>-1</sup> получены ИК-спектры поглощения  
(2700—2900 см<sup>-1</sup>) различных изотопных модификаций  
молекулы CS<sub>2</sub> в газовой фазе при давл. 5—20 мм рт. ст.  
и т-ре 0, 20 и 70° С. Зарегистрированы и интерпретиро-  
ваны колебательно-вращательные полосы поглощения,  
соответствующие переходам 20<sup>0</sup>1—00<sup>0</sup>0, 21<sup>1</sup>1—01<sup>1</sup>0,  
30<sup>0</sup>1—10<sup>0</sup>0, в молекуле <sup>12</sup>C<sup>32</sup>S<sub>2</sub>, 20<sup>0</sup>1—00<sup>0</sup>0, 21<sup>1</sup>1—01<sup>1</sup>0,  
30<sup>0</sup>1—10<sup>0</sup>0, 22<sup>0</sup>1—02<sup>0</sup>0, 22<sup>2</sup>1—02<sup>2</sup>0, 12<sup>0</sup>1—00<sup>0</sup>0, 13<sup>1</sup>1—01<sup>1</sup>0,  
22<sup>0</sup>1—10<sup>0</sup>0 в <sup>13</sup>C<sup>32</sup>S<sub>2</sub> и 20<sup>0</sup>1—00<sup>0</sup>0 в <sup>13</sup>C<sup>32</sup>S<sup>34</sup>S. Приведены  
таблицы частот зарегистрированных колебательно-вра-  
щательных линий (от 30 до 110 для различных перехо-  
дов) с точностью 10<sup>-4</sup>—10<sup>-3</sup> см<sup>-1</sup>. На основании опыт-  
ных данных рассчитаны величины молекулярных по-  
стоянных для всех комбинирующих состояний. Рассчи-  
танные константы воспроизводят эксперим. частоты со

11.11.

Ф: 1978 НЧ

стандартным отклонением 0,0008—0,003 см<sup>-1</sup>. Библ. 17.  
Ю. М. Л.

на с  
пн

1077

B.P.- XIV-9468

CS<sub>2</sub>

88: 160904t Vibration-rotation bands of carbon-12 disulfide and carbon-13 disulfide between 2700 and 2900 cm<sup>-1</sup>. Walrand, Jacques; Blanquet, Ghislain; Courtoy, Charles P. (Lab. Spectrosc. Mol.,/ Fac. Notre-Dame de la Paix, Namur, Belg.). *Ann. Soc. Sci. Bruxelles, Ser. 1* 1977, 91(3), 145-78 (Fr). The  $2\nu_1 + \nu_3$  band of CS<sub>2</sub> and the  $2\nu_1 + \nu_3$  and  $\nu_1 + 2\nu_2^0 + \nu_3$  bands of <sup>13</sup>CS<sub>2</sub> were recorded using a dual-grille spectrometer. The consts.  $\beta''$  ( $10^5$  cm<sup>-1</sup>) and  $D''$  ( $10^{-8}$  cm<sup>-1</sup>) are  $10590.3 \pm 0.9$  and  $1.15 \pm 0.14$ , resp., for <sup>13</sup>C<sup>32</sup>S<sup>34</sup>S.

M.N.

C.A. 1978, 28, 1122

1977

CS<sub>2</sub>

4 Д217 К. Молекулярная спектрохимия. Wojtkowiak Втило, Chabanel Martial. Spectrochimie moleculaire. Paris, Techn. et docum., 1977. 310 p., ill. (франц.)

Изложены общие вопросы молекулярной спектроскопии и ее приложения к конкретным системам. Описаны методы расчетов колебаний молекул, определения внутренних и норм. координат и С-матрицы. Даны примеры расчетов колебаний CS<sub>2</sub> и H<sub>2</sub>O. Изложены элементы теории групп, ее применение к решению колебательных задач. Квантовая теория колебаний молекул применена к определению правил отбора в спектрах комб. рас. и ИК-поглощения, здесь же рассмотрена поляризация комбинационного и релеевского рассеяния и резонанс Ферми. Определена связь структуры спектра со строением молекул. Описаны спектры углеводородов различного строения, спиртов, фенолов, эфиров, альдегидов и кетонов, а также их производных, содержащих атомы азота, серы, фосфора, кремния и галогены.

М. Тонков

Глебов

Кириллов

(1) R

9. IV. 1978

1977

$CS_2$

Земскова Г. А. и др.

(9)

"Оптика и спектроскопия"  
1977, 42, N6, 1080-1085

cell.  $CH_3^-$  II

$CS_2$

1978

Agren H. et al

Zeekrpt.  
on presence

Phys. Scr., 1978, 18, n<sup>o</sup> 6,  
499 - 505.



(acc. SF<sub>6</sub> ; III)

39-XIV-9585

1948

CS<sub>2</sub>

7 Б251. Инфракрасные спектры высокого разрешения сероуглерода  $^{12}\text{C}^{34}\text{S}_2$ . Полоса  $\nu_1 + 2\nu_2^0 + \nu_3$ . Blanquet Ghislain; Walrand Jacques, Courtoy Charles P. Spectres infrarouges à haute résolution du disulfure de carbone  $^{12}\text{C}^{34}\text{S}_2$  la bande  $\nu_1 + 2\nu_2^0 + \nu_3$ . «Ann. Soc. sci. Bruxelles», 1978, Ser. 1, 92, № 3, 205—221 (франц.; рез. англ.)

4.12. спектр

Исследована с высоким разрешением ( $\sim 0,03 \text{ см}^{-1}$ ) полоса перехода  $12^01 - 00^00$  ( $2840 - 2965 \text{ см}^{-1}$ ) в ИК-спектре поглощения газ.  $^{12}\text{C}^{34}\text{S}_2$ . Выделены также полосы «горячих» переходов  $13^11 - 01^10$  и  $22^01 - 10^00$ . Отнесение полос проконтролировано расчетом частот соотв-щих переходов. На основе интерпретации спектра в области полосы  $12^01$  уточнено отнесение полос переходов  $12^01 - 02^00$  и  $22^01 - 02^00$   $^{12}\text{C}^{34}\text{S}_2$ . В спектре проявляются также переходы  $12^01 - 00^00$   $^{12}\text{C}^{32}\text{S}^{34}\text{S}$  и  $^{13}\text{C}^{34}\text{S}_2$ .

А. В. Бобров

20.1949 N 4

*Cs<sub>2</sub>*

*announced 6876*

*1978*

89: 137884y Vibration-rotation bands of isotopic carbon disulfide at 4.6  $\mu\text{m}$ . Blanquet, Ghislain; Walrand, Jacques;

*envelope*  
Courtois, Charles P. (Lab. Spectrosc. Mol., Fac. Univ. Notre-Dame de la Paix, Namur, Belg.). *J. Mol. Spectrosc.* 1978, 72(2), 227-37 (Eng). The  $10^01-00^00$  bands of  $^{12}\text{C}^{34}\text{S}_2$  and  $^{13}\text{C}^{34}\text{S}_2$  were measured with a resoln. of  $0.03 \text{ cm}^{-1}$ . The following hot bands assocd. with this transition were also measured and analyzed:  $11^11-01^10$ ,  $20^01-10^00$  for both isotopic forms. For  $^{12}\text{C}^{34}\text{S}_2$ , the  $\Delta-\Delta$  transition  $12^21-02^20$  was also obsd. In addn., the  $10^01-00^00$  bands of the isotopic species  $^{12}\text{C}^{32}\text{S}^{34}\text{S}$  and  $^{12}\text{C}^{33}\text{S}^{34}\text{S}$  were measured.

*C.A. 1978, 89, N16*

отмеч 68.70

1978

З Б258. Колебательно-вращательные полосы изотопного сероуглерода в области 4,6 мкм. Blanquet Ghislain, Walrand Jacques, Courtois Charles P. Vibration—rotation bands of isotopic carbon disulfide at 4,6 μm. «J. Mol. Spectrosc.», 1978, 72, № 2, 227—237 (англ.)

Изучен ИК-спектр высокого разрешения ( $0,03\text{ см}^{-1}$ ) образца сероуглерода, обогащенного изотопом  $^{34}\text{S}$  до 91,9% в области  $2077$ — $2186\text{ см}^{-1}$  (полосы  $\nu_1 + \nu_3$  и соотв-щие «горячие» переходы). Измерено большое число вращательных линий, отнесенных к переходам  $10^01$ — $00^00$ ;  $11^11$ — $01^10$ ;  $20^01$ — $10^00$  и  $12^21$ — $02^20$  молекулы  $^{12}\text{C}^{34}\text{S}_2$ ;  $10^01$ — $00^00$ ;  $11^11$ — $01^10$  и  $20^01$ — $10^00$  молеку-

лы  $^{13}\text{C}^{34}\text{S}_2$ ;  $10^01$ — $00^00$  —  $^{12}\text{C}^{32}\text{S}^{34}\text{S}$  и  $10^01$ — $00^00$  —  $^{12}\text{C}^{33}\text{S}^{34}\text{S}$ . Определен ряд молек. постоянных, в том числе для основного состояния  $^{12}\text{C}^{34}\text{S}_2$ ,  $B_0 = (10\ 270,28 \pm 0,45) \times 10^{-5}$ ;  $D_0 = (0,95 \pm 0,03) \times 10^{-8}\text{ см}^{-1}$ ; для  $^{13}\text{C}^{34}\text{S}_2$ ,  $B_0 = (10\ 272,28 \pm 0,66) \times 10^{-5}$ ,  $D_0 = (1,00 \pm 0,08) \times 10^{-8}\text{ см}^{-1}$ ; для  $^{12}\text{C}^{32}\text{S}^{34}\text{S}$ ,  $B_0 = (10\ 589,49 \pm 0,59) \times 10^{-5}$ ,  $D_0 = (0,92 \pm 0,06) \times 10^{-8}\text{ см}^{-1}$ .

Л. В. Серебренников

$\text{CS}_2$

11, 17

2. 1979, № 3

*CS<sub>2</sub>*

*оттиск 6876*

*1978*

2 Д412. Колебательно-вращательные полосы изотопов CS<sub>2</sub> в области 4,6 мк. Blanquet Ghislain, Waffrand Jacques, Courtoy Charles P. Vibration-rotation bands of isotopic carbon disulfide at 4.6 μm. «J. Mol. Spectrosc.», 1978, 72, № 2, 227—237 (англ.)

*M. N. Di  
1*

Исследованы ИК-спектры молекул <sup>12</sup>C<sup>34</sup>S<sub>2</sub> и <sup>13</sup>C<sup>34</sup>S<sub>2</sub> в области 4,6 мк с разрешением 0,03 см<sup>-1</sup>. Проанализированы полосы 10<sup>0</sup>1—00<sup>0</sup>0, 11<sup>1</sup>1—01<sup>1</sup>0, 20<sup>0</sup>1—10<sup>0</sup>1. Для <sup>12</sup>C<sup>34</sup>S<sub>2</sub> наблюдался Δ—Δ-переход 12<sup>2</sup>1—02<sup>2</sup>0. Кроме того, получены спектры переходов 10<sup>0</sup>1—00<sup>0</sup>0 в <sup>12</sup>C<sup>32</sup>S<sup>34</sup>S и <sup>12</sup>C<sup>33</sup>S<sup>34</sup>S. Библ. 11.

*Ф. 1979.2*

$\text{CS}_2$

1978

Carney Grady D., et al.

Adv. Chem. Phys. Vol. 34.

New York e.a., 1978, 305-79.

каследи-  
-брауди.  
спекторик.  
шонексл.

corr.  $\text{H}_2\text{S}$  - III

C<sub>8</sub>S<sub>2</sub>

1978

(Ei)

Dance Donald F; et al.  
J. Chem. Soc. Faraday  
Trans 1978, Part 2, 74,  
N2, 440-4

cat. COS-III

1978

*CS<sub>2</sub>*  
 7 Б105. Масс-спектрометрическое исследование неорганических газов и паров методом фотоионизации.  
 Drowart J., Smets J., Reynaert J. C., Sompens P. Mass spectrometric study of the photo-ionization of inorganic gases and vapours. «Adv. Mass Spectrom. Vol. 7A. Proc. 7th Int. Mass Spectrom. Conf., Florence, 1976». London, 1978, 647—650 (англ.)

*y, do*  
 (44)   
 Фотоионизация и диссоциативная фотоионизация молекул CS<sub>2</sub> (I), CSe<sub>2</sub> (II), CS (III), GeS (IV) и  $\text{B}_4$  (V) исследованы в диапазонах 1250—580; 1350—580; 1100—580 1270—580; и 1350—580 Å, соотв. Получены кривые эффективности ионизации и потенциалы ионизации (ПИ) основных и возбужденных состояний молекул. Для I в основном состоянии ПИ равны 10,074 ( $\tilde{X}\Pi_{g3/2}$ ) и 10,131 ( $\tilde{X}^2\Pi_{g1/2}$ ) и в возбужденных состояниях 14,480 ( $\tilde{B}^2\Sigma^+$ ) и 16,184 ( $\tilde{C}^2\Sigma_g^+$ ) (здесь и далее все значения энергий в эВ). Пороги фрагментации I на S<sup>+</sup> и CS<sup>+</sup> получены при 14,80 и 15,75. Фрагментация с образованием пар CS<sup>+</sup> и S<sup>-</sup> начинается при

*x. 1980. № 7*

13,64. Энергия диссоциации связи ( $D$ ) в I получена равной 7,39. Для П значения ПИ равны 9,26 ( $X^2\Pi_{3/2}$ ) и 9,52 ( $\tilde{X}^2\Pi_{1/2}$ ). Пороги образования осколочных ионов  $Se^+$ ,  $CSe^+$  и  $Se_2^+$  равны соотв. 13,38; 14,37 и 15,21. Значения  $D(Se-CSe)$  и  $(C-Se_2)$  вычислены равными 3,69 и 6,39 соотв. Значения вертикальных ПИ для IV получены равными 10,18 ( ${}^2\Pi$ ) и 10,35 ( ${}^2\Sigma^+$ ), величина адиабатического ПИ оценена в 9,98. Порог образования  $Ge^+$  равен 13,51; значение  $D(Ge-S) \leq 5,73$ . Верхняя граница адиабатического ПИ для V лежит при 9,34, пороги появления  $P_3^+$  и  $P_2^+$  ионов при 12,54 и 12,85, соответственно;  $D_0(P_2-P_2) = 2,38$ . М. Туркина

1978

CS<sub>2</sub>

CS

S<sub>2</sub> GeS

CSe<sub>2</sub>, P<sub>3</sub>, P<sub>4</sub>  
u<sub>GP</sub>, P<sub>3</sub>, P<sub>4</sub>  
B<sub>2</sub>

(J, D<sub>0</sub>)

④

Δ

..... 89: 80506v Mass spectrometric study of the photo-ionization of inorganic gases and vapors. Drowart, J.; Smets, J.; Reynaert, J. C.; Coppens, P. (Lab. Fys. Chem., Vrije Univ. Brussel, Brussels, Belg.). *Adv. Mass Spectrom.* 1978, 7A,

647-50 (Eng). The ionization potentials for CS<sub>2</sub>, CS, S<sub>2</sub>, CSe, GeS, P<sub>4</sub>, and P<sub>3</sub>, and the dissociation energies ( $D_0^\circ$ ) of CS, CSe<sub>2</sub>, GeS, and P<sub>4</sub>, and the threshold energies for the formation of various fragment ions from CS<sub>2</sub>, CSe<sub>2</sub>, GeS, and P<sub>4</sub> were obtained from mass-spectrometric studies of the various photoionization and photolysis processes.

CA. 1978, 89, N10

*CS<sub>2</sub>*

отмсис 7570

1978

4 Д776. Флуоресценция молекул CS<sub>2</sub>, возбужденных в третье синглетное состояние. Нага Kiyoshi, Phillips David. Fluorescence of CS<sub>2</sub> excited to the third excited singlet state. «J. Chem. Soc. Faraday Trans.», 1978, Part 2, 74, № 8, 1441—1445 (англ.)

В области 220—360 нм получен спектр флуоресценции газообразных молекул CS<sub>2</sub> при комнатной т-ре. Спектр возбуждался излучением дейтериевого источника ( $\lambda = 200$ —220 нм). Давление CS<sub>2</sub> составляло 18,6 мм рт. ст. Отсутствие структуры широкой полосы флуоресценции с максимумом ~270 нм приписано резкому изменению формы молекулы при возбуждении (из линейной она становится изогнутой). Определен квантовый выход флуоресценции при возбуждении излучением 215,7 нм:  $(9 \pm 2) \cdot 10^{-4}$ . Показано, что при давл. CS<sub>2</sub>—20 мм рт. ст. вероятность столкновительной дезактивации возбужденных частиц мала. Кроме того, квантовый выход флуоресценции падает с ростом энергии возбуждения, что свидетельствует о влиянии фотодиссоциации на исследованный процесс. Библ. 20.

*спектр  
флуоресценции*

р. 1949, N4

1978

*CS<sub>2</sub>*  
*OCS*  
*SO<sub>2</sub>*

*Дл. изг erf*

(+2)

6 Д319. Возбуждение электронным ударом низколежащих электронных состояний в CS<sub>2</sub>, OCS и SO<sub>2</sub>. Flicker Wayne M., Mosher-Oren A., Kuppermann А. Гон. Electron-impact excitation of low-lying electronic states in CS<sub>2</sub>, OCS, and SO<sub>2</sub>. «J. Chem. Phys.», 1978, 69, № 9, 3910—3916 (англ.)

При углах рассеяния 40°, 50° и 60° измерены спектры неупругих потерь энергии электронов с энергией 25, 40 и 70 эв, сталкивающихся с молекулами CS<sub>2</sub>, и электронов с энергией 30 и 55 эв, сталкивающихся с OCS и SO<sub>2</sub>. Для переходов между синглетными и триплетными состояниями в спектре неупругих потерь энергии обнаружены пики при энергии перехода 3,36 эв для CS<sub>2</sub>, 4,94 эв для OCS и 3,40 эв для SO<sub>2</sub> соответственно. Показано, что особенность в спектре неупругих потерь при энергии 3,65 эв для столкновений электронов с молекулой CS<sub>2</sub> имеет также синглет-триплет-

Ф.1979, N6

ный характер. Были исследованы также разрешенные электронные переходы в молекуле  $\text{SO}_2$ . Однако авторам не удалось обнаружить переходов в  $1^3A_2$ - и  $1^3B_2$ -состояния молекулы  $\text{SO}_2$ , которые были обнаружены при изучении фотопоглощения  $\text{SO}_2$  в твердой фазе и должны бы наблюдаться вблизи хорошо известного  $\tilde{\alpha}^3B_1$ -состояния.

В. С.



1978

$\text{CS}_2$  (ne)  
 $\text{OCS}$  (ne)  
 $\text{CO}_2$  (ne)  
 $\text{N}_2\text{O}$  (ne)  
 $(\partial_i)$

89: 120020r Study of vibrational spectra of simple molecules in the liquid phase. I. Fundamental bands of carbon disulfide, carbon oxide sulfide, carbon dioxide, and nitrous oxide. Logansen, A. V.; Rassadin, B. V.; Romantsova, G. I.; Grushina, N. M. (USSR). *Opt. Spektrosk.* 1978, 44(6), 1104-12 (Russ). The frequencies and widths of the fundamental IR bands  $\nu_3$  of  $\text{CS}_2$ , OCS,  $\text{CO}_2$ , and  $\text{N}_2\text{O}$ , and also the IR  $\nu_2$ , Raman  $\nu_1$  band, and some isotopic bands of  $\text{CS}_2$  were measured in 33 different liqs. The pattern of shifts and broadening of vibrational bands in the solns. is discussed, and the resonance character of the anomalous broadening of the strong IR band  $\nu_3$  of pure  $\text{CS}_2$  is demonstrated.

A. Fuchs

(+) 3

⊗



C.A., 1978, 89, 1104

Ommicell 6816

1978

CS<sub>2</sub>

CS<sub>2</sub><sup>+</sup>

89: 188504g Rydberg series of carbon disulfide converging to  $\Lambda^2\Pi_u$  states of carbon disulfide(+). Larzilliere, M.; Damany, N. (CNRS, Saint-Etienne, Fr.). *Can. J. Phys.* 1978, 56(9), 1150-6 (Eng). The absorption spectrum of CS<sub>2</sub> was photographed at high resoln. at 95-112 nm. Four series consisting of 6 vibrational series converging to  $\Lambda^2\Pi_{3/2}$  and  $\Lambda^2\Pi_{1/2}$  states of CS<sub>2</sub><sup>+</sup> were investigated. Quantum defects of these, and of other known series, are discussed.

Csclcs/  
nonreactants      (71) 



C.A. 1978, 89, 1122

1978

*CS<sub>2</sub>*

9 Д826. Исследование дискретного и непрерывного спектров флуоресценции молекул CS<sub>2</sub> методом разрешенной во времени лазерной спектроскопии. Silvers S. J., Mc Keeever M. R., Chawla G. K. Time and frequency resolved laser studies on CS<sub>2</sub> discrete and continuum fluorescence. «Adv. Laser Chem. Proc. Conf., Pasadena, 1978». Berlin e. a.: 1978, 449—454 (англ.)

В области 335—500 нм получены спектры флуоресценции газообразных молекул CS<sub>2</sub> при т-рах 293 и 195° К. Спектры возбуждались излучением N<sub>2</sub>-лазера (337,1 нм). Присутствие в спектрах дискретной и непрерывной компонент отнесено к переходам в системе  $X^1\Sigma_g^+ \rightarrow T^1A_2$ ,  $v''=1$  и 2 соответственно. Получена необычно большая для синглетных состояний величина g-фактора, характеризующая эффект Ханле в CS<sub>2</sub>, что указывает на синглетное взаимодействие состояния T с другими электронными состояниями. Отмечено, что

*спектр  
флуоресц.*

Ф.1979.№

происхождение непрерывной составляющей не может быть обусловлено только прямыми переходами в диссоциативный континуум, а, по-видимому, связано с процессами внутримолекулярной релаксации в  $\text{CS}_2$ . Исследование кинетики затухания флуоресценции позволило установить ее двухкомпонентный характер:  $\tau_1=17$  мксек (коррелирует с континуумом) и  $\tau_2=3,4$  мксек (коррелирует с дискретной составляющей).

М. Т.

C<sub>5</sub><sub>2</sub>

gaseous  
fibro-b.  
concentr.

annulus 6773

1978.

Schaerfenberg P.

Theor. chim. acta,  
1978, 49, 115-22.

*CS<sub>2</sub>*

отмечи 6382

1978

12 Д240. Корреляционная функция дипольного момента для полосы  $\nu_3$  молекулы CS<sub>2</sub>. Zerga T. W. Dipole moment correlation function of  $\nu_3$  band of CS<sub>2</sub>. «Acta phys. pol.», 1978, A54, № 1, 47—53 (англ.)

С учетом колебательно-вращательного взаимодействия и вклада «горячих» и изотопич. полос вычислена автокорреляционная ф-ция дипольного момента  $G(t)$  для ИК-полосы  $\nu_3$  молекулы CS<sub>2</sub>. Эта же ф-ция определена по эксперим. контуру полосы  $\nu_3$  CS<sub>2</sub> в газовой фазе. Получено удовлетворительное согласие между теоретич. и эксперим. значениями  $G(t)$ .

М. Р. Алиев

*Ксерокопия  
рукописи  
Дж. Алиева.  
Институт  
химии Узбекистана*

*9.1978, N12*

$CS_2$

1949

Ashfold et al. N.R., et al.

сезон:  
весенний  
неравномерный

Top. Curr. Chem. 1949,  
86, 1-90.



см.  $H_2O - II$

1540

*CS<sub>2</sub>*

11 Д1090. Масс-спектрометрическое исследование фотоионизации CS<sub>2</sub> в интервале длин волн 125—60 нм.  
 Coppens Paul, Reynaert Jean Claude, Drowart Jean. Mass spectrometric study of the photoionization of carbon disulphide in the wavelength interval 125-60 nm. «J. Chem. Soc. Faraday Trans.», 1979, Part 2, 75, № 2, 292—301 (англ.)

Кривые эффективности фотоионизации молекул CS<sub>2</sub> с образованием молекулярных и осколочных ионов (CS<sub>2</sub><sup>+</sup>, CS<sup>+</sup>, S<sup>+</sup>, S<sub>2</sub><sup>+</sup>) получены в области 125—60 нм с разрешением 0,1—0,2 нм. Обсуждена структура, наблюдаемая на кривых эффективности фотоионизации. По измеренным потенциалам появления осколочных ионов определены: энергии диссоциации  $D^0(S-CS, OK) = (432 \pm 2,0)$  кдж/моль и  $D^0(CS, OK) = (712 \pm 2,3)$  кдж/моль, энталпия образования CS,  $\Delta H_f^0(CS, OK) = (273,9 \pm 2,2)$  кдж/моль и потенциал ионизации S<sub>2</sub>,  $I_p(S_2) = (9,38 \pm 0,03)$  эв. Полученные значения сопоставлены с имеющимися в литературе. Библ. 14.

В. С. Иванов

(d<sub>0</sub>)(42) CS(ΔHf; d<sub>0</sub>)

17

Д.10499НII

*CS<sub>2</sub>*

*1979*

11 Д1090. Масс-спектрометрическое исследование фотоионизации CS<sub>2</sub> в интервале длин волн 125—60 нм.  
Coppens Paul, Reupenaert Jean Claude,  
Drowart Jean. Mass spectrometric study of the photoionization of carbon disulphide in the wavelength interval 125-60 nm. «J. Chem. Soc. Faraday Trans.», 1979, Part 2, 75, № 2, 292—301 (англ.)

*Фото- ионизация*

Кривые эффективности фотоионизации молекул CS<sub>2</sub> с образованием молекулярных и осколочных ионов (CS<sub>2</sub><sup>+</sup>, CS<sup>+</sup>, S<sup>+</sup>, S<sub>2</sub><sup>+</sup>) получены в области 125—60 нм с разрешением 0,1—0,2 нм. Обсуждена структура, наблюдаемая на кривых эффективности фотоионизации. По измеренным потенциалам появления осколочных ионов определены: энергии диссоциации  $D^0(S-CS, OK) = (432 \pm 2,0)$  кдж/моль и  $D^0(CS, OK) = (712 \pm 2,3)$  кдж/моль, энталпия образования CS,  $\Delta H_f^0(CS, OK) = (273,9 \pm 2,2)$  кдж/моль и потенциал ионизации S<sub>2</sub>,  $I_p(S_2) = (9,38 \pm 0,03)$  эв. Полученные значения сопоставлены с имеющимися в литературе. Библ. 14.

В. С. Иванов

*Ф. 1979 VIII*

*CS<sub>2</sub>*  
*(эс)*

11 Б205. Характеристики жидкого CS<sub>2</sub> по данным разрешенных спектров рассеяния света. Cox T. I., Battaglia M. R., Madden P. A. Properties of liquid CS<sub>2</sub> from the allowed light scattering spectra. «Mol. Phys.», 1979, 38, № 5, 1539—1554 (англ.)

Исследована т-рная ( $T=163\text{---}310\text{ K}$ ) зависимость интенсивности и формы контуров деполяризованной компоненты линии Релея ( $\lambda=5145\text{ \AA}$ ) и полосы  $\nu_1$  спектра КР жидк. CS<sub>2</sub>. Оценены характерные времена переориентаций молекул. Полученные величины хорошо согласуются с данными исследования спектров ЯМР и результатами теор. оценок времен релаксации в рамках гидродинамич. модели вращательной диффузии. Показано, что во всем изученном диапазоне т-р выполняется соотношение Хэббарда. По величине отношения интенсивностей деполяризованных компонент в релеевском спектре и спектре КР определено значение параметра, определяющего корреляцию ориентаций молекул. Оказалось, что корреляция угловых скоростей молекул в CS<sub>2</sub> мала. Характерное время дефазировки колебаний при этом не зависит от т-ры. Это связано со вкладом индуцированного столкновениями рассеяния, зависящего от флуктуаций плотности. В этом случае при малых длинах волн может наблюдаться отмеченное выше отклонение от гидродинамич. теории.

А. В. Бобров

*Х. 1980  
№ 11*

*19.49*

Фильтр 413



Димитра 8552

1979

$CS_2$

$COS$

2 Б140. Диссоциативная фотоионизация сернистого углерода и сернистого карбонила. El and J. H. D., Berkowitz J. Dissociative photoionization of carbon disulphide and carbonyl sulphide. «J. Chem. Phys.», 1979, 70, № 11, p. 5151—1556 (англ.)

Измерены с стоикозац. масс-спектры высокого разрешения (0,14 Å) сернистого углерода ( $CS_2$ ) и сернистого карбонила ( $COS$ ). Получены масс-спектры ионов

диссоциации.  
демонстрируется,

(+)  $\otimes$



x1980.N2

$\text{CS}_2^+$ ,  $\text{CS}^+$ ,  $\text{S}^+$ ,  $\text{S}_2^+$  и  $\text{COS}^+$ ,  $\text{CS}^+$ ,  $\text{CO}^+$  для  $\text{CS}_2$  и  $\text{COS}$ , соотв., в диапазоне длин волн 650—950 Å. Показано, что ионы  $\text{S}^+/\text{CS}_2$ ,  $\text{S}^+/\text{COS}$  и  $\text{CS}^+/\text{CS}_2$  появляются при энергиях фотовозбуждения, близких к термохим. энергии образования соответствующих ионов. Обнаружено, что ион  $\text{S}_2^+/\text{CS}_2$  при облучении с длиной волны больше ~735 Å образуется в результате бимолек. пр-ции с участием возбужденного состояния  $\text{CS}_2$  (В). Идентифицировано пять новых ридберговских серий для  $\text{COS}$ . Проведено эмпирич. исследование формы линии спектров с помощью ф-лы Фано и показано, что она различна для разных каналов фотодиссоциации. Проведено сопоставление с лит. данными.

О. А. Басченко

CS<sub>2</sub>

1979

Ebata Takayuki; et al.

полубар.  
расчужд.  
акансов  
диагнозов.  
предислов.

"Bull. Chem. Soc. Jap." 1979,  
52, N 11, 3226-8

celp. CS - III

$CS_2$

Commenc 9706 |

1979

Goud, S. Latha, et al

comm. no. 1.  
Ji

Proc. Indian Acad. Sci.,  
Sect. A 1979, 88A (Pt. 1, No 6),  
453-5

XIV - 9706

cell.  $CO_2 - \text{II}$

7929

CS<sub>2</sub>

22 Б263. Разностная полоса  $v_1 - v_2$  <sup>12</sup>C<sup>32</sup>S<sub>2</sub>. Joila K., Kauppinen J., Anttila R. The difference band  $v_1 - v_2$  of <sup>12</sup>C<sup>32</sup>S<sub>2</sub>. «J. Chem. Phys.», 1979, 70, № 4, 2033—2034 (англ.)

С высоким разрешением ( $\sim 0,010 \text{ см}^{-1}$ ) измерена вращательная структура полосы  $v_1 - v_2$  в ИК-спектре поглощения молекулы сероуглерода в области  $260 \text{ см}^{-1}$  ( $l=3 \text{ м}, p=8,5 \text{ мм}$ ). Приведены положения и отнесения линий  $P$ ,  $Q$  и  $R$ -ветвей вращательной структуры. Анализ структуры спектра с целью получения молек. постоянных выполнен отдельно для  $Q$ -ветви и ветвей  $P$  и  $R$ . Получены след. значения молек. постоянных <sup>12</sup>C<sup>32</sup>S<sub>2</sub> (в  $\text{см}^{-1}$ ):  $P$  и  $R$ -ветви —  $v_0 = 261,9014$ ,  $B'' = B_{01c} l_0 = 0,1093015$ ,  $B' = B_{10} O_0 = 0,1089716$ ,  $B' - B'' = -3,2995 \times 10^{-4}$ ,  $D'' = D_{01c} l_0 = 1,188 \times 10^{-8}$ ,  $D' - D'' = -17 \times 10^{-12}$ ;  $Q$ -ветвь  $v_0 = 261,9012 - B' - B'' = -4,0689 \times 10^{-4}$ ,  $D' - D'' = 31 \times 10^{-12}$ ; константа  $l$ -удвоения  $g_{01} l_0 = 7,694$ .

B. M. Kovba

Х. 1979, N22

1949

CS<sub>2</sub>

11 Д522. Разностная полоса  $\nu_1 - \nu_2$  C<sup>12</sup>S<sup>32</sup>. Jol-  
ля K., Кауррепп J., Anttila R. The difference  
band  $\nu_1 - \nu_2$  of <sup>12</sup>C<sup>32</sup>S<sub>2</sub>. «J. Chem. Phys.», 1979, 70, № 4,  
2033—2034 (англ.)

спектр  
ИК-методом

Получены спектры ИК-поглощения паров сероугле-  
рода в области 240—280 см<sup>-1</sup> при давл. 8,5 мм рт. ст.  
с разрешением 0,01 см<sup>-1</sup>. Наблюденные линии отнесены  
к колебательно-вращательным переходам в разностной  
полосе  $\nu_1 - \nu_2$ . Разрешено значительное число линий  
ветви Q. Приведены частоты линий для ветвей P и R  
с J от 5 до 69 и Q от 10 до 86. Определены колеба-  
тельный частота и вращательные постоянные B и D в  
начальном и конечном состоянии, а также константа  
l-удвоения для состояния 01'0. Отмечается расхожде-  
ние с литературными данными. Библ. 6. М. Тонков

Ф.1949.111

*CS<sub>2</sub>*

90: 177469u The difference band  $\nu_1 - \nu_2$  of carbon-12 disulfide (sulfur-32). Jolma, K.; Kauppinen, J.; Anttila, R. (Dep. Phys., Univ. Oulu, Oulu, Finland). *J. Chem. Phys.* 1979, 70(4), 2033-4 (Eng). The difference band  $\nu_1 - \nu_2$  of  $^{12}\text{C}^{32}\text{S}_2$  around  $260\text{ cm}^{-1}$  was recorded at a resoln. of  $0.010\text{ cm}^{-1}$ . The  $Q(J)$  lines are well resolved from  $J = 10$  onward. The lines from the  $P$  and  $R$  branches were fitted to a 4th order polynomial of  $m$  and those from the  $Q$  branch to a 2nd order polynomial of  $J(J + 1)$ . Mol. consts. assocd. with the difference band are given.

$(\nu_1 - \nu_2)$

1979

C.A. 1979, 90, N22

отмечен 8158

16/93

CS<sub>2</sub>

24 Б139. Штарковская модуляция в системе  $\tilde{a}^3A_2 - X^1\Sigma_g^+$  молекулы CS<sub>2</sub>. Larzilliére M. Stark modulation in the  $\tilde{a}^3A_2 - X^1\Sigma_g^+$  system of CS<sub>2</sub>. «Chem. Phys.», 1979, 40, № 3, 337—343 (англ.)

Экспериментально изучены спектры со штарковской модуляцией в области 3400—3800 Å, отвечающие системе переходов  $\tilde{a}^3A_2 - X^1\Sigma_g^+$  молекулы <sup>12</sup>C<sup>32</sup>S<sub>2</sub>. Наиболее существенный из обнаруженных эффектов обусловлен квантовым вырождением пар вращательных уровней типа  $J_{c, \pm}$  и  $(J-1)_{\pm}, (J-1)$  с нечетными значениями  $J$  в колебательных состояниях

бательных состояниях 040; 140; 050; 060; 070 и С верхнего электронного состояния. Определен дипольный момент колебательных состояний; обнаружена его сильная зависимость от колебательных состояний. Высказано предположение, что колебательные состояния 080 и 090 возмущены неидентифицированным П-уровнем.

Б. И. Жилинский

Х. 1979/024

8-тическ 8158

1979

CS<sub>2</sub>

(Ji)

12 Д326. Штарковская модуляция в системе  $a^3A_2 \rightarrow \tilde{X}\Sigma_g^+$  молекулы CS<sub>2</sub>. Largillière M. Stark modulation in the  $a^3A_2 - \tilde{X}^1\Sigma_g^+$  system of CS<sub>2</sub>. «Chem. Phys.», 1979, 40, № 3, 337—343 (англ.)

Приведены результаты исследования влияния электрич. поля напряженностью 17 кв/см, модулированного с частотой 400 гц, на спектр поглощения газовой смеси CS<sub>2</sub>+SF<sub>6</sub> в области 340—380 нм. Установлено, что влиянию поля подвержены почти вырожденные пары вращательных уровней типа  $J_{0,j}$  и  $J-1, j-1$  колебательных состояний 040; 140; 050; 060; 070 и 080 молекулы CS<sub>2</sub>( $a^3A_2$ ). Определены значения дипольного момента молекулы CS<sub>2</sub>( $a^3A_2$ ), которые существенно отличаются для различных колебательных уровней этого состояния.

М. Т.

Ф.1949.112

$\text{CS}_2$

1979

Murray P., et al.

premod.  
cancer

Int. J. Mass Spectrum  
and Ion Phys., 1979,  
30(2), 165 - 174.

(see. NO; ")

1979

CS<sub>2</sub>

newsp  
projec

93: 83979v Emission spectra of carbon disulfide excited to second excited singlet state (<sup>1</sup>B<sub>2</sub>). Matsuzaki, Akiyoshi; Nakamura, Ryoji; Ito, Tomizo (Inst. Space Aeronaute. Sci., Tokyo Univ., Tokyo, Japan). *Koen Yoshishu - Bunshi Kozo Sogo Toronkai* 1979, 72-3 (Japan). Chem. Soc. Japan: Tokyo, Japan. Anal. of the fluorescence spectrum of CS<sub>2</sub> excited to its 2nd excited singlet state (<sup>1</sup>B<sub>2</sub>) using the 325.0-nm line of a He-Cd laser revealed a sharp band assignable to the <sup>1</sup>B<sub>2</sub> → <sup>1</sup>Σ<sub>g</sub><sup>+</sup> transition overlapped with the normally obsd. broad band.

CA 1980 93 n8

$CS_2$

Omura 87371

1979

Ohwada Ken.

car. nocei.  
paerei.

Chem. Phys. Lett., 1979,  
66, N1, 149-53.

car.  $CO_2$  - III

1979

12 Б1320. Измерения испускания света в  $\text{CS}_2$ ,  $\text{SO}_2$  и  $\text{NO}_2$ , нагретых в ударной волне. Saito Ko, Higashihaga Tetsuo, Nakamura Yasuro, Miga-kami Ichiro. Measurements of light emission from Shock-Heated  $\text{CS}_2$ ,  $\text{SO}_2$ , and  $\text{NO}_2$ . «J. Sci. Hiroshima Univ.», (1979, A43, № 2, 119—133 (англ.)

$\text{CS}_2$

$\text{SO}_2$

$\text{NO}_2$

$\text{S}_2$

спектр  
испускаем.

Исследована зависимость интенсивности испускания  $J$  от т-ры в видимой и УФ-областях в  $\text{CS}_2$  (I),  $\text{SO}_2$  (II),  $\text{NO}_2$  (III), нагретых до т-р  $2500—5000$ , ~~3000—8000~~ и  $1900—4500^\circ\text{K}$  соотв. в ударной волне. При нагревании смесей 1,7—10% I в Аг наблюдалась линейная зависимость  $\lg J$  от  $1/T$  ( $\lambda$  400—700, 330 и 300 нм) при т-ре до  $3500^\circ\text{K}$  (эффективная энергия активации  $E_{\text{эф}}$  составляла 57—65 ккал/моль при  $\lambda$  400—700 нм и 50 ккал/моль при 330 нм), при более высоких т-рах наблюдалось отклонение от линейности. В смесях 5% II в Аг ( $\lambda$  350 и 434 нм) линейная зависимость  $\lg J$  от  $1/T$  имела место до  $4000^\circ\text{K}$  ( $E_{\text{эф}}$  82 и 70 ккал/моль при 350 и 434 нм соотв.), с последующим отклонением от линей-

(+3) ⊗

Р. 1980 N12

ности при более высоких т-рах. В смесях 5% III в Ag аррениусовская зависимость имела место до 2400° К ( $E_{\text{эф}}=40$  ккал/моль при 600 нм). При более высоких т-рах наблюдалось резкое отклонение от линейности. Показано, что испускание связано с состояниями  $a^3A_2$ ,  $A^1B_1$  и  $A^2B_1$  для молекул I, II и III соотв. При более высоких т-рах на испускание влияет диссоциация возбужденных молекул. На примере смеси 2% I в Ag изучали испускание вблизи предела диссоциации. Показано, что т-рные зависимости при  $\lambda$  300 и 330 нм и при  $\lambda$  400 нм отличаются. При высоких т-рах не наблюдается отклонения от линейности зависимости  $\lg J$  от  $1/T$ . При 330 нм  $E_{\text{эф}}$  меняется при 3000° К от 50 до 74 ккал/моль. При 300 нм  $E_{\text{эф}}$  остается постоянной во всем интервале т-р, составляя 74 ккал/моль. Считают, что испускание света в I при 330 и 300 нм связано с переходом  $B^3\Sigma_u^- \rightarrow X^3\Sigma_g^-$  в молекуле  $S_2$ .

А. Шведчиков

$CS_2$

$(CS_2)_2$

ренто-  
спектрография

(+) 4

XIV-9094

1979

З Б1005. Фотоионизация мономеров и димеров  $CS_2$  в сверхзвуковом молекулярном пучке. Trott Wayne M., Blais Normand C., Walters Edward A. Photoionization of carbon disulfide monomers and dimers in a supersonic molecular beam. «J. Chem. Phys.», 1979, 71, № 4, 1692—1697 (англ.)

Аппаратура, включающая сверхзвуковой молек. пучек, монохроматор, источник вакуумного УФ- и масс-спектрометр, использовалась для определения эффективности фотоионизации  $CS_2$  и  $(CS_2)_2$  в диапазоне длин волн от 1006 до 1238 Å и 1007—1292 Å соотв. Пороговые энергии ионизации составляют 10,070 эВ для  $CS_2$  и 9,63 эВ для  $(CS_2)_2$ . Ионизация  $CS_2$  осуществляется удалением электрона с несвязывающей орбитали  $\pi_g$  одного из атомов серы. Структура, обнаруженная на кривой эффективности ионизации соотв-щая длинам волн 1100—1125 и 1010—1060 Å, хорошо коррелирует с сильными ридберговскими сериями III и IV в вакуумном абсорбционном спектре  $CS_2$ . Обсуждаются механизмы образования этих серий. Структура на кривой эффектив-

д. 1980. N3

ности фотоионизации  $(CS_2)_2$  выражена менее отчетливо. В области энергий 0—1 эВ структура приписывается возбуждению различных типов колебаний димера. Остальная структура может быть приписана процессам автоионизации, но она сильно отличается от соответствующей картины для  $CS_2$ . Наблюдаемые различия имеют два объяснения. Первое сводится к заключению, что первоначальный переход из основного состояния в возбужденные ридберговские состояния для димера существенно отличаются от подобных переходов для мономера и представляют собой последовательную пошаговую автоионизацию с ридберговского уровня. Альтернативное объяснение рассматривает форму ридберговских орбиталей в предположении малого возмущения этих орбиталей при образовании димера, т. е. димер имеет почти линейную или линейную форму.

Л. Ю. Русин

(н а  
е А

$CS_2^+$

XIV-9047

1979

ЗД169. Фотоионизация мономеров и димеров сероуглерода в сверхзвуковых молекулярных пучках. Photoionization of carbon disulfide monomers and dimers in a supersonic molecular beam. Trott Wayne M., Bias Normand C., Walters Edward A. «J. Chem. Phys.», 1979, 71, № 4, 1692—1697 (англ.)

Методом отбора проб с помощью молекулярного пучка измерены кривые фотоионизационной эффективности для  $CS_2^+$  и  $(CS_2^+)_2$ . Исследование мономеров проведено для длин волн 1005—1240 Å с оптич. разрешением 1,5 Å (энергетич. разрешение 12 мэв при 1200 Å), а димеры изучены в диапазоне 1000—1295 Å с энергетич. разрешением 30 мэв. Установлено, что величина потенциала ионизации  $CS_2$  (основное состояние  ${}^2\pi_{3/2}$ ) равна  $10.070 \pm 0.006$  эв. Обнаружена тонкая структура на кривой выхода Фотоионов  $CS_2^+$  в виде небольшого числа

(γ)

■

④  $(CS_2)_2$  (8)

Ф. 1980. № 3

ступенек в районе порога, которая связывается с переходами в  $^2\pi_{1/2}$  состояние иона, а также на несколько низколежащих колебательных состояний иона. На основе полученных данных найдено, что нижний предел энергии связи димера равен 11,3 ккал/моль. Обнаружено близкое соответствие атомно-ионных структур для  $\text{CS}_2^+$  и  $(\text{CS}_2^+)_2$  в области длии 1000—1060 Å, а в диапазоне 1100—1125 Å эти структуры сильно различаются. Это различие объясняется на основе геометрии димера  $(\text{CS}_2)_2$ .

А. П. Калинин

C<sub>5</sub>x

Dumaresq 7744

1979

Panam -  
- script,  
medical.  
gramog.

Teixeira-Dias F.J.C.;  
etal.

Spec Kochim. acta  
1949, A35, 127-130

Октябрь 7701

1979

CS<sub>2</sub>

9 Д499. Инфракрасные спектры высокого разрешения изотопических разновидностей дисульфида углерода: полоса  $2\nu_1 + \nu_3$ . Walrand Jacques, Blanquet Chislain, Courtoy Charles P. High resolution infrared spectra of isotopic carbon disulfide: the  $2\nu_1 + \nu_3$  band. «J. Mol. Spectrosc.», 1979, 74, № 1, 165—174 (англ.)

С разрешением 0,03 см<sup>-1</sup> исследованы ИК-спектры поглощения молекул C<sup>34</sup>S<sub>2</sub> и <sup>13</sup>C<sup>34</sup>S<sub>2</sub> вблизи 2800 см<sup>-1</sup>. Идентифицирована вращательная структура полос колебательных переходов 20°1—00°0, 21°1—01°0, 30°1—10°0 молекул C<sup>34</sup>S<sub>2</sub> и <sup>13</sup>C<sup>34</sup>S<sub>2</sub>, полосы 22°1—02°0 молекулы C<sup>34</sup>S<sub>2</sub> и полосы 20°1—00°0 молекулы <sup>12</sup>C<sup>32</sup>S<sup>34</sup>S. Определены значения частот центров этих полос и вращательной и центробежной постоянных. М. Р. Алиев

д.1979/19

C.S<sub>2</sub>

December 7701

1979

*U. S. calcif*

90: 112390s High resolution infrared spectr. of isotopic carbon disulfide: the  $\nu_1 + \nu_3$  band. Walrand, Jacques; Blanquet, Ghislain; Courtoy, Charles P. (Lab. Spectrosc. Mol., Fac. Univ. Notre-Dame Paix, Namur, Belg.). *J. Mol. Spectrosc.*, 1979, 74(1), 165-74 (Eng). The 20<sup>0</sup>1-00<sup>0</sup> bands of <sup>32</sup>CS<sup>34</sup>S and <sup>34</sup>CS<sup>32</sup>S were measured with a readdn. of 0.03 cm<sup>-1</sup>. The following "hot" bands assigned, with this transition were also measured and analyzed.: 21<sup>1</sup>1-01<sup>1</sup>0, 36 1-10<sup>0</sup>0 for both the

isotopic forms. For <sup>32</sup>CS<sup>34</sup>S<sub>2</sub>, the  $\Delta-\Delta$  transition 22<sup>2</sup>1-02<sup>2</sup>0 was also recorded. In addn.; the 20<sup>0</sup>1-00<sup>0</sup> bands of the isotopic species <sup>32</sup>CS<sup>34</sup>S were measured.

CA 1979, 99, v14

*CS<sub>2</sub>*

*4.17.*

1979

*Справочник УФОД*

16 Б258. Инфракрасные спектры высокого разрешения изотопного сероуглерода: полоса  $2\nu_1 + \nu_2$ . Walland Jacques, Blanquet Ghislain, Courtay Charles P. High resolution infrared spectra of isotopic carbon disulfide: The  $2\nu_1 + \nu_3$  band. «J. Mol. Spectrosc.», 1979, № 1, 165—174 (англ.)

С разрешением  $0,03\text{ см}^{-1}$  измерены спектры  $^{12}\text{C}^{34}\text{S}_2$  в области полосы  $2\nu_1 + \nu_2$  ( $2700$ — $2825\text{ см}^{-1}$ ). Наблюдены также «горячие» полосы и полосы изотопных модификаций:  $21^11$ — $01^10$  и  $30^11$ — $10^00$  для  $^{12}\text{C}^{34}\text{S}_2$  и  $^{13}\text{C}^{34}\text{S}_2$ ,  $22^21$ — $02^20$  ( $\Delta$ — $\Delta$ -переход) для  $^{12}\text{C}^{34}\text{S}_2$   $20^01$ — $00^00$  для  $^{12}\text{C}^{32}\text{S}^{34}\text{S}$ . Проанализирована вращательная структура полос и определены молек. постоянные для изотопных модификаций  $\text{CS}_2$  в верхних и нижних состояниях. Полученные данные для перехода  $20^01$ — $00^00$ , а также лит. значения для перехода  $20^01$ — $10^00$  использованы для расчета вращательных постоянных в состоянии  $10^00$  для  $^{12}\text{C}^{34}\text{S}_2$ :  $\nu_0 = 639,1293\text{ см}^{-1}$ ,  $B = (10256,07 \pm 0,89) \times 10^{-5}\text{ см}^{-1}$ ,  $D = (0,95 \pm 0,10) \times 10^{-8}\text{ см}^{-1}$  и для  $^{13}\text{C}^{34}\text{S}_2$ :  $\nu_0 = 638,6146\text{ см}^{-1}$ ,  $B = (10254 \pm 0,89) \times 10^{-5}\text{ см}^{-1}$ ,  $D = (1,01 \pm 0,12) \times 10^{-8}\text{ см}^{-1}$ .

С. Б. Осин

2.1979 N 16

*CS<sub>2</sub>*

XIV-9128

1979

✓ 92: 171815y High-resolution infrared spectra of carbon-12 disulfide (sulfur-34) and carbon-13 disulfide (sulfur-34). The  $2\nu_2^0 + \nu_3$  band. Walrand, Jacques; Blanquet, Ghislain; Courtois, Charles P. (Lab. Spectrosc. Mol., Fac. Univ. Notre-Dame de la Paix, B-5000 Namur, Belg.). *Ann. Soc. Sci. Bruxelles, Ser. 1* 1979 (Pub. 1980). 93(3), 211-25 (Fr). The  $2\nu_2^0 + \nu_3$  band of  $^{12}\text{C}^{34}\text{S}_2$  and  $^{13}\text{C}^{34}\text{S}_2$  was obsd. with a resoln. of  $\approx 0.04 \text{ cm}^{-1}$ . The following hot bands were also recorded for both mols.: 0311-0110 and 1201-1000.

(2e)

CA 1980 92 v20

C<sub>52</sub>

10 Б239. Инфракрасные спектры высокого разрешения полосы  $2v_2^0 + v_3$  сероуглерода  $^{12}\text{C}^{34}\text{S}_2$  и  $^{13}\text{C}^{34}\text{S}_2$ . Walrand Jacques, Blanquet Ghislain, Courtois Charles P. Spectres infrarouges à haute résolution du disulfure de carbone  $^{12}\text{C}^{34}\text{S}_2$  et  $^{13}\text{C}^{34}\text{S}_2$  la bande  $2v_2^0 + v_3$ . «Ann. Soc. sci. Bruxelles», 1979, Ser. 1; 93, № 3, 211—225 (франц.)

На диффракц. спектрометре в области частот от 2340 до 2190 см<sup>-1</sup> с разрешением около 0,04 см<sup>-1</sup> измерены ИК-спектры  $^{12}\text{C}^{34}\text{S}_2$  (I) и  $^{13}\text{C}^{34}\text{S}_2$  (II). Идентифицировано свыше 450 линий для колебательных переходов 02<sup>0</sup>1—00<sup>0</sup>0, 03<sup>1</sup>1—01<sup>1</sup>0, 12<sup>0</sup>1—10<sup>0</sup>0 образцов I и II. Из анализа спектров для I и II соотв. определены центры полос 02<sup>0</sup>1—00<sup>0</sup>0  $v_0 = 2313,0756(22)$  и 2238,0141(14), 03<sup>1</sup>1—01<sup>1</sup>0  $v_0 = 2315,2077(18)$  и 2240,7921(19), 12<sup>0</sup>1—10<sup>0</sup>0  $v_0 = 2293,3225(22)$  и 2218,3573(18). Вычислены вращательные постоянные и постоянные центробежного искажения для различных переходов. Величины частот переходов, вычисленные с учетом изотопич. замещения, хорошо согласуются с эксперим. значениями.

С. Н. Мурзин

д. 1980.11.10

*CS<sub>2</sub>*

1979

3 Б63. Расчеты методом ССП производных квадрупольного момента и поляризуемости для симметричного валентного колебания CS<sub>2</sub>. Williams J. H., Amos R. D. SCF calculations of the quadrupole moment and polarizability derivatives in the symmetric stretching mode of CS<sub>2</sub>. «Chem. Phys. Lett.», 1979, 66, № 2, 370—372 (англ.)

Неэмпирическим методом ССП МО ЛКАО в большом гауссовом базисе с поляризацией функциями на всех атомах рассчитаны тензоры квадрупольного момента и электронной поляризуемости молекулы CS<sub>2</sub> и их производные для полносимм. вал. кол. Для расчета использована конечная теория возмущений. Производные по нормальному колебанию вычислены путем численного

дифференцирования. Полученные результаты хорошо согласуются с данными расчетов мультиконфигурац. методом и экспериментом.

К. Я. Бурштейн

2.1980.№3

*CS<sub>2</sub>*

*1548*

2 Д157. Вычисление производных квадрупольного момента и поляризуемости по симметричной валентной координате для молекулы CS<sub>2</sub> методом ССП. SCF calculations of the quadrupole moment and polarizability derivatives in the symmetric stretching mode of CS<sub>2</sub>. Williams J. H., Amos R. D. «Chem. Phys. Lett.», 1979, 66, № 2, 370—372 (англ.)

Методом ССП МО ЛКАО с использованием ограниченного базиса гауссовых орбиталей выполнен расчет первых производных квадрупольного момента и поляризуемости молекулы CS<sub>2</sub> по симметричной валентной координате. Результаты расчета согласуются с эксперим. данными, полученными по ИК-спектру, наведенному давлением, и по спектру комбинационного рассеяния.

М. Р. Алиев

Р.1580.№2

$\text{CS}_2$

$\text{CSe}_2$

реко -  
диссоц.

Омск 10383 1980

7 Б1377. Распределение энергии в фотодиссоциации  $\text{CS}_2$  и  $\text{CSe}_2$  вакуумным ультрафиолетовым излучением.  
~~Ashfold Michael N. R., Quinton Alan M.,~~  
 Simons John P. Energy disposal in the vacuum ultraviolet photodissociation of  $\text{CS}_2$  and  $\text{CSe}_2$ . «J. Chem. Soc. Faraday Trans.», 1980, Part 2, 76, № 8, 905—914  
 (англ.)

При высоком разрешении (до 0,04 и 0,025 нм соотв. для  $\text{CS}_2$  и  $\text{CSe}_2$ ) зарегистрированы спектры флуоресценции (Фл) осколочных продуктов  $\text{CS}$  ( $A^1\Pi$ ) и  $\text{CSe}$  ( $A^1\Pi$ ), возникающих при фотодиссоциации соотв.  $\text{CS}_2$

(+)  
B

адн.  
э'

X. 1981 N 7

и  $\text{CSe}_2$  монохроматич. светом 147; 130,4; 129,5; 123,6; 121,6 нм. Измерения производили при Фл в практически бесстолкновительных условиях, так что наблюдаемые спектры Фл соответствуют колебательным и вращательным распределениям первично образованных фрагментов. Основная часть полосы Фл CS соответствует колебательным переходам  $\Delta v = \pm 2, \pm 1,0$  в системе  $A \rightarrow X$ , причем распределение заселенностей колебательных уровней CS ( $C^1\Pi$ ) не может быть аппроксимировано функцией Пуассона, как считалось ранее. Вращательные распределения в (0,0)-полосе системы CS ( $A \rightarrow X$ ) аппроксимируются одной или несколькими функциями Больцмана с различными т-рами. С уменьшением длины волны фотолизующего света от 130,4 до 121,6 нм [избыточная энергия процесса фотодиссоциации  $\text{CS}_2 + h\nu \rightarrow \text{CS}(A^1\Pi) + \text{S}(3^3P_j)$  при этом возрастает от 1900 до  $7430 \text{ см}^{-1}$ ], доля  $f_v$  избыточной энергии, переходящей в энергию колебательного возбуждения CS ( $A^1\Pi$ ), увеличивается от 15 до 30%; для  $\text{CSe}_2$  при 149,4 и 147,0 нм  $f_v = 29$  и 24% соотв. Обсуждаются возможности теор. интерпретации полученных вращательных и колебательных распределений фотофрагментов.

В. Е. Скурат

C5<sub>a</sub>

Lommel 9691

1980

Bartell L.S.

299606

Acrididae

Kreuzberg

J. Mol. Street, 1980,  
63, 259-71

1980

*CS<sub>2</sub>*

*спектр*  
*Ji.*

10 Д320. Спектр магнитного кругового дихроизма сероуглерода. The magnetic circular dichroism spectrum of carbon disulfide. Barth Günter, Linder Robert E., Bunnenberg Edward, Djegassi Carl, Seamans Lloyd, Moscowitz Albert. «J. Chem. Phys.», 1980, 72, № 3, 1423—1427 (англ.)

Получен и проанализирован спектр магнитного кругового дихроизма паров сероуглерода в области 300—380 нм. Показано, что спиновая компонента  $B_2$  состояния  $^3A_2$  лежит выше компонент  $A_1$  и  $B_1$  и что две последние разделены на  $26 \text{ см}^{-1}$ . Библ. 16. О. В. С.

φ 1980 n 10

1980

CS<sub>2</sub>

18 Б271. Спектр магнитного кругового дихроизма дисульфида углерода. Barth Günter, Linder Robert E., Binnenberg Edward, Djerasi Carl, Seamans Lloyd, Moscowitz Albert. The magnetic circular dichroism spectrum of carbon disulfide. «J. Chem. Phys.», 1980, 72, № 3, 1423—1427 (англ.)

Экспериментально изучен спектр магнитного кругового дихроизма газ. дисульфида углерода в области 300—

380 нм с разрешением 0,1 нм. Спектр состоит из большого числа перекрывающихся полос. Идентифицированы системы синглетных и триплетных полос. Триплетные полосы представляют собой суперпозицию линий, соответствующих вращательным *P*- и *R*-ветвям, причем форма линии определяется магнитооптич. членом А, к-рый для *P*-ветви отрицателен, а для *R*-ветви положителен.

Б. И. Жилинский

Х 1980 № 18

*CS<sub>2</sub>*

*13; 4, n.*

1980

11 Б257. Полоса  $\nu_3$  сероуглерода  $^{12}\text{C}^{34}\text{S}_2$  и  $^{13}\text{C}^{34}\text{S}_2$ . Blanquet C., Walgand J., Courtoy C. R. La bande  $\nu_3$  du disulfure de carbone  $^{12}\text{C}^{34}\text{S}_2$  et  $^{13}\text{C}^{34}\text{S}_2$ . «Ann. soc. sci. Bruxelles», 1980 (1981), ser. 1, 94, № 2—3, 129—139 (франц.; рез. англ.)

С разрешением  $0,05 \text{ см}^{-1}$  измерены ИК-спектры молекул  $^{12}\text{C}^{34}\text{S}_2$  и  $^{13}\text{C}^{34}\text{S}_2$  в области основных полос  $\nu_3$ . Проведен анализ вращательной структуры переходов  $00^01 - 00^00$  и  $01^11 - 01^10$  обеих изотопных молекул и получены след. молек. постоянные для  $^{12}\text{C}^{34}\text{S}_2$  ( $\text{см}^{-1}$ ):  $\nu_0 = 1528,3748 \pm 0,0024$ ,  $B'' = (10271,17 \pm 0,19) \times 10^{-5}$ ,  $\Delta B = (-67,188 \pm 0,032) \times 10^{-5}$ ,  $D'' = (0,99 \pm 0,017) \times 10^{-8}$ ,  $\Delta D = (-0,018 \pm 0,003) \times 10^{-8}$  для перехода  $00^01 - 00^00$ ,  $\nu_0 = 1521,9618 \pm 0,058$ ,  $B'' = (10294,02 \pm 0,36) \times 10^{-5}$ ,  $\Delta B = (-67,001 \pm 0,085) \times 10^{-5}$ ,  $D'' = (1,00 \pm 0,03) \times 10^{-8}$ ,  $\Delta D = (-0,017 \pm 0,009) \times 10^{-8}$  для перехода  $01^11 - 01^10$ , и для  $^{13}\text{C}^{34}\text{S}_2$  ( $\text{см}^{-1}$ ):  $\nu_0 = 1478,0943 \pm 0,0019$ ,  $B'' = (10272,07 \pm 0,25) \times 10^{-5}$ ,  $\Delta B = (-64,485 \pm 0,027) \times 10^{-5}$ ,  $D'' = (1,01 \pm 0,02) \times 10^{-8}$ ,  $\Delta D = (-0,002 \pm 0,003) \times 10^{-8}$  для перехода  $00^01 - 00^00$  и  $\nu_0 = 1472,1190 \pm 0,032$ ,  $B'' = (10293,55 \pm 0,40) \times 10^{-5}$ ,  $\Delta B = (-64,288 \pm 0,052) \times 10^{-5}$ ,  $D'' = (1,05 \pm 0,004) \times 10^{-8}$ ,  $\Delta D = (0,002 \pm 0,004) \times 10^{-8}$  для перехода  $01^11 - 01^10$ .

С. Б. Осин

*1981 N 11*

1980

$\text{CS}_2$

( $\nu_1$ )

94: 147836b The  $\nu$  band of carbon disulfide  $^{12}\text{C}^{34}\text{S}_2$  and  $^{13}\text{C}^{34}\text{S}_2$ . Blanquet, Ghislain; Walrand, Jacques; Courtois, Charles P. (Lab. Spectrosc. Mol., Fac. Univ. Notre-Dame de la Paix, B-5000 Namur, Belg.). *Ann. Soc. Sci. Bruxelles, Ser. I* 1980, 94(2-3), 129-39 (Fr). The  $\nu_3$  fundamental of  $\text{CS}_2$  in the gas-phase IR spectrum was measured with a resoln. of  $0.05 \text{ cm}^{-1}$ . The transitions  $00^01-00^00$  and  $01^1-01^10$  of  $^{12}\text{C}^{34}\text{S}_2$  and  $^{13}\text{C}^{34}\text{S}_2$  were assigned and analyzed and the vibrational frequencies and rotational consts. detd.

C.A.1981.04.118

*CS<sub>2</sub>*

*N<sub>2</sub>O*

*Фотоиониз.*

1980

3 Б156. Ветвление в электронной автоионизации  
 $\text{CS}_2$  и  $\text{N}_2\text{O}$ . Eland J. H. D. Branching in electronic autoionization of  $\text{CS}_2$  and  $\text{N}_2\text{O}$ . «Mol. Phys.», 1980, 40, № 4, 917—931 (англ.)

Методом фотоэлектронной спектроскопии с варьированием длины волны ( $\lambda$ ) возбуждающего излучения исследована автоионизация молекул  $\text{CS}_2$  и  $\text{N}_2\text{O}$ . Для возбуждения использовали монохроматизированное излучение от гелиевого импульсного разрядного источника (континуум Гопфильда). В ФЭС сероуглерода наблюдалась полосы, отнесенные к иону  $\text{CS}_2^+$  в состояниях  $\tilde{B}$ ,  $Z$ ,  $\tilde{A}$ ,  $\tilde{X}$ . Приведены относит. коэф. ветвления (КВ) для состояний  $\tilde{A}/\tilde{X} \text{CS}_2^+$  при photoионизации в области ридберговской серии сходящейся к состоянию  $\tilde{B}$ , КВ для состояний  $\tilde{A}/\tilde{X}$ ,  $\tilde{B}/\tilde{X}$  и  $Z/\tilde{X}$  — область ридберговской серии, сходящейся к состоянию  $\tilde{C}$ , и КВ для состоя-

*ст.*

(+) *Д*

X. 1981 № 3

ний  $A/X$ ,  $B/X$ ,  $C/\bar{X}$ ,  $Z/\bar{X}$  в более коротковолновой области. Аналогичного рода данные получены для молекулы  $\text{N}_2\text{O}$ . Рассмотрены наиболее вероятные процессы ветвления при электронной автоионизации  $\text{N}_2\text{O}$  (остов  $\text{N}_2\text{O}^+$ ,  $\tilde{\text{C}}^2\Sigma^+$ , ридберговские электроны  $d\pi$ ,  $d\sigma$ ,  $p\pi$ ,  $p\sigma$ ,  $s\sigma$ ) и  $\text{CS}_2$  (остов  $\text{CS}_2^+$ ,  $B^2\Sigma_u^+$  ридберговские электроны  $d\pi_g$ ,  $d\sigma_g$ ,  $s\sigma_g$ ; остав  $\text{CS}_2^+ \text{C}^2\Sigma_g^+$  ридберговские электроны  $s\sigma\sigma_g/d\pi_g$ ,  $p\pi_u$ ,  $p\sigma_u$ ). В ряде случаев наблюдали узко-специфич. ветвление в электронной автоионизации. Существования флуоресцентной автоионизации не обнаружено. Полученные данные по  $\text{CS}_2$  сопоставляются с результатами исследований фотоионизации молекул  $\text{CO}_2$ ,  $\text{COS}$  и  $\text{CSe}_2$ .

В. М. Ковба

ix  
 $D =$

1980

$CS_2$

$N_2O$

Фотоэл.  
спектр



ф. 1980/111

11 Д259. Фотоэлектронная спектроскопия с фиксированной энергией фотоэлектронов. Fixed energy photoelectron spectroscopy. Eland John H. D. «J. Chem. Phys.», 1980, 72, № 4, 2878—2880 (англ.)

Описана разновидность метода фотоэлектронной спектроскопии, в котором сканируется длина волны ионизирующего излучения, а детектируются фотоэлектроны с фиксированной ненулевой кинетич. энергией. Отмечены преимущества предложенного метода — постоянство энергетич. разрешения и пропускания анализатора в широком спектральном диапазоне, возможность подавления как колебательной автоионизации, так и электронной автоионизации. Преимущества метода продемонстрированы на примере исследования  $CS_2$  и  $N_2O$ .

Ю. В. Чижов

*CS<sub>2</sub>*

*запись 9552*

*1980*

7 Д344. О фотоэлектронном спектре молекулы CS<sub>2</sub>.  
On the photoelectron spectrum of CS<sub>2</sub>. Hubin-Franskin M.-J., Delwiche J., Natalis P., Caragase G., Roy D. «J. Electron. Spectrosc. and Relat. Phenom.», 1980, 18, № 4, 295–308 (англ.).

С энергетич. разрешением, не превышающим 17 мэв получены HeI (58,4 нм), NeI (73,58/74,37 нм), и ArI (104,8/106,7 нм)-фотоэлектронные спектры газообразных молекул CS<sub>2</sub>. Установлено, что образование молекулярного иона в состояниях  $\tilde{X}^2\Pi_g$  и  $\tilde{B}^2\Sigma_w^+$  сопровождается возбуждением колебательной моды  $v_2$ . Получены уточненные значения постоянной спин-орбитального расщепления для состояния  $\tilde{A}^2\Pi_w$ : 186 см<sup>-1</sup> и порога образования иона CS<sub>2</sub><sup>+</sup> в состоянии  $\tilde{A}^2\Pi_{w3/2}$  – 12,689 эв. Отмечено, что принятное ранее значение этого потенциала ионизации было занижено (соответствовало «горячей» полосе). Библ. 25.

М. Тимошенко

*9. 1980. № 7*

*БД - XIV-9650*

~~October 9, 1980~~

1980

*CS<sub>2</sub>*

*Spurious  
check*

92: 155585t On the photoelectron spectrum of carbon disulfide. Bubin-Franksin, M. J.; Delwiche, J.; Natafis, P.; Caprace, G.; Roy, D. *Inst. Chim., Univ. Liege, B-4000 Liege, Belg.*. *J. Electron Spectrosc. Relat. Phenom.*, 1980, 18(4), 295-308 (Eng.). High-resoln. photoelectron spectra of CS<sub>2</sub> were obtained by photoionization with the He I (58.4 nm), Ne I (73.58-74.37 nm) and Ar I (104.8-106.7 nm) resonance lines. The resoln. of ~17 meV was further improved by deconvolution of the exptl. data. The formation of the  $X^2\Pi_g$  and  $B^2\Sigma_u^+$  states is accompanied by a weak  $v_2$  excitation. The spin-orbit splitting of the  $\tilde{A}^2\Pi_u$  state is completely resolved, and a value of 186 cm<sup>-1</sup> is reported. The value of 12.689 eV was confirmed for the ionization threshold of the  $\tilde{A}^2\Pi_{g,3/2}$  state, and the small peak obsd. at lower energy is due to a hot band.

*BB-A/HV-96/20*

C.A.1980.92 118

*CS<sub>2</sub>*

*Ферми  
спектр*

14 Б117. О фотоэлектронном спектре CS<sub>2</sub>. Hubin-Franskin M.-J., Delwiche J., Natalis P., Саргасе G., Roy D. On the photoelectron spectrum of CS<sub>2</sub>. «J. Electron. Spectrosc. and Relat. Phenom.», 1980, 18, № 4, 295—308 (англ.)

С высоким разрешением ( $\sim 17$  мэВ) измерены фотоэлектронные спектры (ФЭС) CS<sub>2</sub>, возбуждаемые излучением He-I, Ne-I и Ar-I. При обработке эксперим. данных использовалась процедура разложения эксперим. контура, основанная на использовании одного из вариантов метода отношения, что позволило улучшить разрешение. В ФЭС наблюдались переходы CS<sub>2</sub> ( $\tilde{X}$ )  $\rightarrow$  CS<sub>2</sub><sup>+</sup> ( $\tilde{X}^2\Pi_g$ ,  $\tilde{\Lambda}^2\Pi_u$ ,  $\tilde{B}^2\Sigma_u^+$ ,  $\tilde{C}^2\Sigma_g^+$ ) с разрешенной колебательной структурой (в основном прогрессии по  $v'_1$  и (или)  $2v'_2$ , находящихся в состоянии резонанса Ферми). Наиболее развитая структура наблюдалась в случае перехода CS<sub>2</sub> ( $\tilde{X}$ )  $\rightarrow$  CS<sub>2</sub><sup>+</sup> ( $\tilde{X}$ ): состояние  $^2\Pi_{g3/2}$  — энергия ионизации (ЭИ) = 10,074 эВ,  $v'_1 = 676$ ,  $v'_2 = 306$ ,  $v'_3 = 1161$  ( $v'_i$  в см<sup>-1</sup>);  $^2\Pi_{g1/2}$  — ЭИ = 10,129 эВ,  $v'_1 = 676$ ,  $v'_2 = 323$ ,  $v'_3 = 1137$ ; величина

*X 1980 n14*

*1980*

*ВФ - ХIV - 9630*

спин-орбитального расщепления  $444 \text{ см}^{-1}$ . В случае перехода  $\text{CS}_2(\tilde{X}) \rightarrow \text{CS}_2^+(\tilde{A})$  наблюдалась только прогрессия по  $v_1 (2v_\alpha)$ :  ${}^2\Pi_{u3/2} - \text{ЭИ} = 12,689 \text{ эВ}$ ,  $v'_1 = 582$ ,  ${}^2\Pi_{u1/2} - v'_1 = 586$ , спин-орбитальное расщепление  $186 \text{ см}^{-1}$ . В переходах  $\text{CS}_2(X) \rightarrow \text{CS}_2^+(\tilde{B})$  и  $\text{CS}_2(\tilde{X}) \rightarrow \text{CS}_2^+(\tilde{C})$  выделены прогрессии по  $v'_1$ ,  $v'_2$  и  $v'_1$ ,  $v'_3$  соотв.:  $\tilde{B} - \text{ЭИ} = 14,474 \text{ эВ}$ ,  $v'_1 = 605$ ,  $v'_2 = 363$ ,  $\tilde{C} - \text{ЭИ} = 16,183 \text{ эВ}$ ,  $v'_1 = 671$ ,  $v'_3 = 1686$ . Найденные значения ЭИ и  $v'_i$  сопоставлены с данными, полученными ранее из спектров фотоионизации, оптич. спектров и методом электронного удара. В ФЭС, возбуждаемых излучением He-I и Ne-I, наблюдалась две сателлитные полосы, интерпретированные как переходы  $\text{CS}_2\tilde{X} \rightarrow \text{CS}_2^+({}^2\Pi_u)$  со значениями ЭИ  $13,854$  и  $\sim 16,7 \text{ эВ}$ . В обеих полосах обнаружена колебательная структура, хорошо разрешенная в первой полосе ( $v_1 (2v_2) = 566$ ) и значительно хуже разрешенная во 2-й полосе (колебательный интервал  $411 \text{ см}^{-1}$ ). В. М. Ковба

$\text{CS}_2$

1980

Grimm F.A., et al

gortoer.  
crektp.

J. Chem. Phys., 1980, F2,  
N 5, 3041-48.

● (see N2) III

$C_5_2$

[Lommel 9552] 1980

Hribin - Franski et al.

*Acetazolus,*

Pugdejn.

muscau

Jat. J. Mass. Spectrom.  
Ion. Phys., 1980, 33  
311-314

*CS<sub>2</sub>*

ommited 10401

1980

93: 57362u High-resolution infrared spectrum of carbon disulfide in the region of the bending fundamental  $\nu_2$ . Jolma, K.; Kauppinen, J. (Dep. Phys., Univ. Oulu, SF-90570 Oulu, 57 Finland). *J. Mol. Spectrosc.* 1980, 82(1), 214-19 (Eng). The IR spectrum of CS<sub>2</sub> was measured in the region of the bending fundamental  $\nu_2$  band with high resoln. and accuracy. The main purpose of the work was to produce calibration lines around 400 cm<sup>-1</sup>, but, in addn., the anal. of the bands obsd. led to the detn. of several mol. consts. comparable to other investigations at higher wavenos. In addn. to the fundamental  $\nu_2$ , several other bands are discernible.

*$\nu_2$*

CA 1980 93 n6

$C_{S_2}^1$

Omnium 16282

1980

qromonuz

Verkitachalam T.V.,  
Krishnamachari S.L.N.F.,

Indian J Phys., 1980,  
B54, N4-5, 282-285.

$\text{CS}_2$

1980

Wielden D. G. et al  
Chem. Phys., 1980, 53,  
47.

A study of spin and symmetry  
forbidden transition in  $\text{CS}_2$  by  
high resolution energy-loss  
spectroscopy.

$CS_2$

Lommereu 11341

1981

Kaeppinen J.; Golmak.

W.N.

J.

J. Mol. Spectrosc.,  
1981, 85, 314-321.

$(CS_2)_m$

$m \leq 5$

фотоиониз.

9 Б823. Изучение фотоионизации сероуглерода, его димеров и кластеров в молекулярных пучках. Опо У., Линн С. Н., Прест Г. Ф., Гресс М. Е., Нг С. В. Molecular beam photoionization study of carbon disulfide, carbon disulfide dimer and clusters. «J. Chem. Phys.», 1980, 73, № 6, 2523—2533 (англ.)

Описан новый фотоионизац. масс-спектрометр с мол. пучком и приведены результаты исследования фотоионизации дисульфида углерода, димеров дисульфида углерода и кластеров  $(CS_2)_m$  ( $m < 5$ ). Данная аппаратура по сравнению с прототипами имеет в десять раз большее спектральное разрешение и на три порядка большую чувствительность. Установка включает в себя разрядный источник света, детектор вакуумного ультрафиолетового излучения, монохроматор, источник примесного сверхзвукового пучка  $CS_2$  в  $\text{Ar}$ , квадрупольный масс-спектрометр. В автоматизированной системе управления установки использован микропроцессор M6800. Предусмотрена связь с региональным вычислительным центром. Результаты измерений представлены в виде спектров эффективности фотоионизации (ЭФИ) в диапазоне 1210—1232 Å (вблизи порога) и 1075—1130 Å с разрешением 0,14 Å для  $CS_2^+$  и спектров ЭФИ обра-

Х. 1981 № 9

зования ионов  $(CS_2)_3^+$ ,  $(CS_2)_4^+$ ,  $(CS_2)_5^+$  в диапазоне 970—1400 Å. Для  $CS_2^+$  разрешены девять автоионизаций, соответствующих серии Ридберга ( $n=16 \div 24$ ). Отмечается, что величина первого потенциала ионизации (ПИ) для  $CS_2$ , приведенная в работе («J. Chem. Phys.», 1960, 32, 1205) является слишком высокой. ПИ для состояний  $X^2\Pi_{3/2}$  и  $^2\Pi_{1/2}^2$  составляют  $10,0685 \pm 0,0020$  и  $10,1230 \pm 0,0020$  эВ соответственно, что находится в хорошем согласии с лит. данными по фотоэлектронной спектроскопии. ПИ для  $(CS_2)_3^+$ ,  $(CS_2)_4^+$  и  $(CS_2)_5^+$  составляют  $9,22 \pm 0,02$ ,  $9,1 \pm 0,02$  и  $9,04 \pm 0,02$  эВ соответственно. Энергия связи  $CS_2^+ \cdot CS_2$ , составляет  $17,5 \div 1$  ккал/моль. Отмечается, что применение молекулярно-пучкового метода для понижения вращательной температуры исследуемых газов в сочетании с фотоионизацией при высоком разрешении обеспечивает прямое и точное определение ПИ.

В. М. Акимов

$C_2S_2$

1980

Potts A.W., et al  
*J. Phys. B* 1980, 13(13)  
2545-56

cell. II.

cell.  $CO_2 - \bar{w}$

*CS<sub>2</sub>*

*отмечена 10049*

*1980*

З Б174. Регистрация  $^3A_2$  состояния CS<sub>2</sub> при многофотонной ионизации. Rianda Ronald, Moll David J., Кирретт и Агоп. Detection of the  $^3A_2$  state of CS<sub>2</sub> by multiphoton ionization. «Chem. Phys. Lett.», 1980, 73, № 3, 469—472 (англ.)

*многофотон.  
спектроскоп.*

Обсуждается применение многофотонной спектроскопии для изучения сильно запрещенных синглет-триплетных переходов. В случае CS<sub>2</sub> для перехода в  $^3A_2$  состояние сила осциллятора  $f < 5 \times 10^{-7}$  в изучаемой области (370 нм) спектра. Эксперименты проводили с помощью лазера на красителе DL-200 с накачкой азотным UV-400 лазером. Мощность варьировали от 30 до 5 кВт при 20 Гц. Наблюдаемый резонансно-усиленный спектр многофотонной ионизации CS<sub>2</sub> в области 360—375 нм сравнивается с оптическим спектром, описанным в литературе. Обсуждаются преимущества метода.

Л. В. Серебренников

*X. 1981 N 3*

139-XIV-9565 1980

CS<sub>2</sub>

18 Б272. Теоретический анализ спектра магнитного кругового дихроизма дисульфида углерода. Seamans Lloyd, Moscowitz Albert, Linder Robert E., Barth Günter, Bünnenberg Edward, Djerrassi Carl. Theoretical analysis of the magnetic circular dichroism spectrum of carbon disulfide. «J. Chem. Phys.», 1980, 72, № 3, 1428—1434 (англ.)

(M, n)

Проведен теор. анализ экспериментально полученного (см. пред. реферат) спектра кругового магнитного дихроизма дисульфида углерода. Обработка данных проведена совместно с ранее изученными спектрами магнитного вращения и спектрами поглощения в той же области (300—380 нм). Показано, что наблюдаемая R-система соответствует переходам на спиновую компоненту типа  $B_2$  сильно расщепленного триплетного состояния  $^3A_2$ . Две др. спиновые компоненты  $A_1$  и  $B_1$  невырождены и лежат ниже  $B_2$  на 10 и 36 см<sup>-1</sup>, однако относит. порядок следования этих двух уровней не установлен.

Б. И. Жилинский

Х 1980 № 18

C52

BP-XIV-9565

1980

спектр  
Ji.

10 Д319. Теоретический анализ спектра магнитного кругового дихроизма сероуглерода. Theoretical analysis of the magnetic circular dichroism spectrum of carbon disulfide. Seamans Lloyd, Moscowitz Albert, Linder Robert E., Barth Günter, Binnenberg Edward, Djerassi Carl. «J. Chem. Phys.», 1980, 72, № 3, 1428—1434 (англ.)

С привлечением данных спектроскопии магнитного кругового дихроизма проанализировано мультиплетное расщепление состояния  $^3A_2$  сероуглерода. Показано, что компоненты  $A_1$  и  $B_1$  являются невырожденными и лежат ниже компонента  $B_2$ . Библ. 27. О. В. С.

90 1980 n10

1980

*CS* *$\omega_{(ne)}$* 

94: 73891s On the equality of vibrational infrared and Raman frequencies. An experimental examinations. Stojkovic, Stojan R.; Ribnikar, Slobodan V. (Fac. Sci., Belgrade Univ., YU-11001 Belgrade, Yugoslavia). *Glas. Hem. Drus. Beograd* 1980, 45(10), 417-23 (Eng). Frequencies of band max. of 14 vibrational bands of liq.  $\text{CS}_2$ ,  $\text{C}_6\text{H}_6$ ,  $\text{CH}_2\text{Cl}_2$ ,  $\text{CHCl}_3$ , and  $\text{CCl}_4$  were remeasured in both IR and Raman spectra. In 9 cases, the band max. coincide within the exptl. errors. In 3 cases, the recorded differences are only apparent and occur because of differing band widths in the 2 types of spectra. In only 2 cases were real differences established. These are the  $\text{CCl}_4$  bands of  $\nu_3$  and  $2\nu_3$ . In the 1st case no convincing explanation was found for the  $3 \text{ cm}^{-1}$  higher Raman frequency. The overtone  $2\nu_3$  shows a  $13\text{-cm}^{-1}$  lower frequency in the Raman and can be accounted for by the splitting of the upper level and different selection rules for IR and Raman transitions. Such differences can be expected in many cases where higher vibrational levels of degenerate vibrations are involved.

*H.K. Paauw  
Chemop, Vi*

(f4)

□

P.A. 1981.941110

*C.S<sub>2</sub>*

*1980*

2 Д483. Инфракрасный спектр высокого разрешения молекулы  $\text{CS}_2$  в области частот деформационного колебания  $v_2$ . High-resolution infrared spectrum of  $\text{CS}_2$  in the region of the bending fundamental  $v_2$ . Tolma K., Каурринен J. «J. Mol. Spectrosc.», 1980, 82, № 1, 214—219 (англ.).

На фурье-спектрометре с разрешением  $0,01 \text{ см}^{-1}$  измерен ИК-спектр поглощения молекулы  $\text{CS}_2$  в области  $375—425 \text{ см}^{-1}$ . Идентифицирована вращательная структура полосы  $v_2$  молекул  $^{12}\text{C}^{32}\text{S}_2$ ,  $^{13}\text{C}^{32}\text{S}_2$  и  $^{32}\text{S}^{12}\text{C}^{34}\text{S}$  в естественном содержании  $\text{CS}_2$ , а также ряда «горячих» полос, расположенных вблизи  $v_2$ . Определены значения вращательной и центробежной постоянных и постоянной  $l$ -удвоения.

М. Р. Алиев

*оп. 1981.12*

1980

*CS<sub>2</sub>*

6 Б235. Инфракрасный спектр высокого разрешения CS<sub>2</sub> в области полосы деформационного колебания ν<sub>2</sub>. Тотма К., Кауприен И. High-resolution infrared spectrum of CS<sub>2</sub> in the region of the bending fundamental ν<sub>2</sub>. «J. Mol. Spectrosc.», 1980, 82, № 1, 214—219 (англ.)

На фурье-спектрометре в области частот 360—440 см<sup>-1</sup> с разрешением 0,010 см<sup>-1</sup> измерены ИК-спектры поглощения изотопич. образцов, <sup>12</sup>C<sup>32</sup>S<sub>2</sub> (I), <sup>32</sup>S<sup>12</sup>C<sup>24</sup>S (II) и <sup>13</sup>C<sup>32</sup>S<sub>2</sub> (III), при их естественном содержании. Большая часть линий отнесена к основной полосе ν<sub>2</sub> 01<sup>1</sup>0—00<sup>0</sup>0, часть — к шести горячим полосам I и одной горячей полосе II. Выполнен колебательно-вращательный анализ полос с использованием полиномиального разложения четвертой степени для частот линий при учете удвоения -типа. Для всех полос определены молек. постоянные. Частоты ν<sub>0</sub> основной полосы 01<sup>1</sup>0—00<sup>0</sup>0 I, найденные из данных о частотах P- и R-ветвях с одной стороны и Q-ветви с другой соотв. равны: ν<sub>0</sub>=395,9875(2) и 395,9881(9) см<sup>-1</sup>.

С. Н. Мурзин

2. 1981. N 6

1980

*CS<sub>2</sub>*

Б156. Спектр комбинационного рассеяния второго порядка сероуглерода в конденсированной фазе. Utpa-pathy S., Kesavasamy K., Krishnamurtty N. Second order Raman spectrum of carbon disulphide in the condensed phase. «J. Raman Spectrosc.», 1980, 9, № 3, 144—149 (англ.)

*Синхр к.р.**J<sub>i</sub>*

Группой симметрии крист. CS<sub>2</sub> при  $T < 162\text{ K}$  является пространственная группа  $D_{2h}^{18}$  с двумя молекулами в примитивной ячейке. Внутренние колебания изолированной молекул CS<sub>2</sub> расщепляются в спектре КР кристалла благодаря статич. и динамич. эффектам поля. Спектр КР CS<sub>2</sub> при 79 K и 18 K наряду с линиями  $\nu_1$ ,  $\nu_2$ ,  $\nu_3$  и  $2\nu_1$  сопровождается широким спектром 2-го порядка. Интерпретация спектра 2-го порядка проведена на основе динамики крист. решетки, развитой Борном. Рассчитан фононный спектр CS<sub>2</sub> для всех дозволенных точек зоны Бриллюэна, используя приближение жесткой молекулы. Резюме

*X.1981/1/1*

CS<sub>2</sub>

1980

Ommelk 9555

92: 188701f Excitation spectrum of the near-ultraviolet bands of carbon disulfide. Vasudev, R.; Brand, J. C. D. (Dep. Chem., Univ. Western Ontario, London, ON Can. N6A 5B7). *Can. J. Chem.* 1980, 58(5), 454-7 (Eng). An excitation spectrum of the triplet-singlet band system of CS<sub>2</sub> vapor was measured in the range 365-378 nm using a tunable laser source. Overall intensity is relatively insensitive to pressure in the range (150 mtorr-340 torr) tested in these observations. The results indicate that collisions with ground state mols. of CS<sub>2</sub> are efficient in promoting intersystem crossing to the ground state, and that the spontaneous emission obsd. is primarily resonance emission from the state populated by the radiation.

(circular)

II

C. H. 1980. 92 122

$\text{CS}_2$

Оннисс 9555

1980

спектр  
возбужд.

9 Д757. Спектр возбуждения  $\text{CS}_2$  в близкой УФ-области. Excitation spectrum of the near-ultraviolet bands of  $\text{CS}_2$ . Vasudev R., Brand J. C. D. «Can. J. Chem.», 1980, 58, № 5, 454—457 (англ.; рез. франц.)

С использованием перестраиваемого лазера на кратителе исследован спектр возбуждения (365—378 нм) триплет-синглетной полосы  $\tilde{a}-\tilde{X}$  молекулы  $\text{CS}_2$ . Обнаружено, что интегр. интенсивность люминесценции не чувствительна к давлению в диапазоне 0,15—340 мм рт. ст. Сделано заключение, что в результате столкновений  $\text{CS}_2(a)$  с  $\text{CS}_2(\tilde{X})$  происходит быстрая интеркомбинационная конверсия в основное состояние, а также, что наблюдаемое в эксперименте излучение является резонансным излучением из состояний, заселяемых непосредственно при лазерном возбуждении.

В. С. Иванов

Ф 1980 № 9

*C.S<sub>2</sub>*

стмисл 9555

1980

19 Б179. Спектр возбуждения полос CS<sub>2</sub> в ближней ультрафиолетовой области. Vassiliev R., Brand J. C. D. Excitation spectrum of the near-ultraviolet bands of CS<sub>2</sub>. «Can. J. Chem.», 1980, 58, № 5, 454—457 (англ.; рез. франц.)

С помощью импульсного перестраиваемого лазера (365—378 нм) измерен спектр возбуждения триплет-синглетной системы полос  $\tilde{\alpha} - x$  CS<sub>2</sub> ( $p=0,15$ —340 мм) с развитой колебательной структурой ( $v_1'$ ,  $v_2'$ ).

*спектр  
возбужд.*

X. 1980 N 19

Приведены положение ~60 полос, их относит. интенсивности (с поправкой на изменение мощности лазера с длиной волны) и их предв. отнесение. Полученные результаты указывают на существование сильной конкуренции между быстрым самотушением молекул  $CS_2^*$  при столкновениях и процессом излучения. В. М. Ковба

CS<sub>2</sub>

Отмск 10690 1980

5 Д441. Исследование запрещенных по спину и по симметрии переходов в CS<sub>2</sub> методом спектроскопии энергетических потерь с высоким разрешением. A study of spin and symmetry forbidden transitions in CS<sub>2</sub> by high resolution energy-loss spectroscopy. Wilden David G., Comer John. «Chem. Phys.», 1980, 53, № 1—2, 77—84 (англ.)

Спектры энергетич. потерь электронов в CS<sub>2</sub> исследованы в области 6—17 эв с аппаратурным разрешением ≈0,02—0,03 эв. Получены зависимости интенсивности полос от угла рассеяния и энергии удара, которые использованы для выделения и идентификации электрон-

ных переходов, запрещенных правилами отбора для симметрии и спина. Впервые обнаружены ридберговские ns-серии электрических квадрупольных переходов, сходящиеся к первому потенциалу ионизации (ПИ), три ридберговских серии, сходящиеся к третьему ПИ, а также два тройплетных состояния валентного типа с энергией возбуждения 6,9—7,4 и 12,4—12,7 эв. Библ. 29.

А. В. Н.

спектр  
энергетич.  
потерь  
электронов

Ф. 1981 N 5

Омск 10690 1980

CS<sub>2</sub>

γ; E<sub>i</sub>

8 Б116. Изучение методом спектроскопии потерь энергии электронов высокого разрешения переходов в CS<sub>2</sub>, запрещенных дипольными правилами отбора по спину и симметрии. Wilden D. G., Comer J. A study of spin and symmetry forbidden transitions in CS<sub>2</sub> by high resolution energy-loss spectroscopy. «Chem. Phys.», 1980, № 1—2, 77—84 (англ.)

С высоким разрешением (22—30) мэВ измерены спектры потерь энергии электронов (СПЭЭ) для CS<sub>2</sub> в области 16—17 эВ. Спектры получены при использовании режима фиксированной энергии регистрируемых электронов  $E_p$  ( $E_p = 10, 20$  и  $100$  эВ), при этом сканирование проводилось путем изменения энергии перв. пучка. Угол рассеяния электронов на молекулах ( $\theta$ ) варьировался в пределах от  $0$  до  $60^\circ$ . Анализ зависимостей интенсивностей пиков в полученных СПЭЭ от  $E_p$  и  $\theta$  позволил идентифицировать и провести отнесение ряда переходов, запрещенных дипольными правилами отбора по спину и симметрии. Впервые обнаружена последовательность электронных квадрупольных переходов, отнесенных к  $ns$  ридберговской серии (РС), сходящейся к 1-му потенциальному ионизации (ПИ) CS<sub>2</sub> (10,08 эВ). В области потерь энергии 10—15 эВ также впервые

Х.1981 N 8

найдены три РС, сходящиеся к 3-му ПИ  $CS_2$  (14,47 эВ). В области 4-го ПИ (16,19 эВ) исследований молекулы отмечены изменения формы пиков двух РС, ранее изученных оптич. методами, при варьировании  $E_p$ . Кроме того, в полученных СПЭЭ обнаружен целый ряд отдельных особенностей, соотв-щих переходам типа синглет—триплет и между состояниями одинаковой четности, и определены их энергии возбуждения. В частности, предположено, что полосы в областях 6,9—7,4 и 12,4—12,7 эВ обусловлены возбуждением неизвестных ранее валентных триплетных состояний  $CS_2$ . Для оптически разрешенных переходов данные, полученные на основе измеренных СПЭЭ, подтверждают справедливость (в большинстве случаев) интерпретаций РС, предложенных ранее др. авторами исходя лишь из оптич. спектра поглощения для молекулы  $CS_2$ . Однако найдено, что особенности в области 7—7,6 эВ и одна из РС, сходящаяся к ПИ 14,47 эВ в действительности обусловлены дипольными переходами, хотя в оптич. спектрах в 1-м случае интенсивность пиков мала, а во 2-м случае рассчитанное для серии значение квантового дефекта 1,6 соответствует, как показано, переходам  $\sigma_u \rightarrow nd$ , а не  $\sigma_u \rightarrow pr$ , как предполагалось.

О. А. Басченко

*CS<sub>2</sub>*

*36510*

*фото -  
диссоц.*

*on*

*1980*  
12 Д 198. Распределение энергии осколков, образуемых при фотодиссоциации  $\text{CS}_2$  при 193 нм. Energy distribution of the fragments produced by photodissociation of  $\text{CS}_2$  at 193 nm. Yang S. C., Freedman A., Kawasaki M., Bergson R. «J. Chem. Phys.», 1980, 72, № 7, 4058—4062 (англ.)

Времяпролетным методом исследованы распределения поступательной  $P(E_t)$  и вращательно-колебательной  $P_{nv}$  энергии осколков CS и S, образуемых при фотодиссоциации молекулярного пучка  $\text{CS}_2$  импульсным лазерным излучением с  $\lambda=193$  нм. Регистрация осколков производилась с помощью квадрупольного масс-спектрометра в направлении, перпендикулярном к молекулярному и световому пучкам. Полученное распределение  $P(E_t)$  при  $E_t \leq 20$  ккал/моль относится в основном к процессу образования синглетного  $S(^1D)$ -состояния с  $0 < v \leq 5$ , а при  $20 < E_t \leq 40$  ккал/моль — к образованию триплетного  $S(^3P)$  состояния с  $4 < v \leq 13$ . Осколки CS вращательно возбуждены со средней энергией ~3,5 ккал/моль. При  $v \leq 6$  отношения интенсивностей образования атомов S в триплетном и синглетном состояниях составляет  $(0,2 \pm 0,1)/(0,8 \pm 0,1) = 0,25 \pm 0,14$ .

И. Флакс

*Ф 1980  
N 12*

*CS<sub>2</sub>*

*Dm. 36510*

*1980*

З Б1293. Энергетическое распределение осколков, возникающих при фотодиссоциации CS<sub>2</sub> светом 193 нм. Yang S. C., Freedman A., Kawasaki M., Bergsohn R. Energy distribution of the fragments produced by photodissociation of CS<sub>2</sub> at 193 nm. «J. Chem. Phys.», 1980, 72, № 7, 4058—4062 (англ.)

*фото -  
диссоциация*

Времяпролетным методом с регистрацией квадрупольным масс-спектрометром измеряли распределения по поступательным энергиям радикалов CS-продуктов фотодиссоциации CS<sub>2</sub> в молек. пучке светом 193 нм импульсного лазера на эксимерах ArF\*. Методом лазерной флуоресценции измеряли распределение CS по вращательно-колебательным энергетич. состояниям при фотолизе CS<sub>2</sub> при давл. 10 мкм лазером на ArF\*. Верхнее возбужденное состояние S<sub>3</sub> является предиссоциативным, продукты фотодиссоциации — CS(X<sup>1</sup>Σ) и S(<sup>1</sup>D). Кроме того, имеется триплетное состояние CS<sub>2</sub>, диссо-

*X. 1981 N 3*

цирующее на  $\text{CS}(X^1\Sigma)$  и  $\text{S}({}^3P)$ . Фрагменты CS вращательно возбуждены, причем средняя энергия возбуждения составляет  $\sim 3,5$  ккал/моль. В обоих случаях диссоциации  $\text{CS}_2$  (с образованием S в состояниях  ${}^1D$  и  ${}^3P$ ) обнаружена сильная инверсия заселенности колебательных уровней. Обнаружены колебательно-возбужденные фрагменты CS с  $v \leq 7$ . В процессах диссоциации, дающих фрагменты CS с  $v \leq 6$ ,  $80 \pm 10\%$  атомов S возникает в состоянии  ${}^1D$  и  $20 \pm 10\%$  атомов — в состоянии  ${}^3P$ .

Б. Е. Скурат

на  
чове

$\text{CS}_2$

XIV-9126

1980

( $\delta_0^0$ ) 93: 101770b Bond dissociation energies in the carbon disulfide molecule from mass spectrometric electron impact studies. Zmbov, Kiro F.; Miletic, Miodrag; Veljkovic, Miomir (Lab. Phys. Chem., Boris Kidric Inst. Nucl. Sci., YU-11001 Belgrade, Yugoslavia). *Glas. Hem. Drus. Beograd* 1980, 45(3), 23-8 (Eng). The dissociative ionization of  $\text{CS}_2$  under electron impact was studied by a mass spectrometer. The appearance potentials of  $\text{CS}^+$  and  $\text{S}^+$  fragment ions were measured and interpreted in terms of possible fragmentation mechanisms. The results were used to detn. the (SC-S) and (C-S) bond dissociation energies.



C.A. 1980, 93 n10

*CS<sub>2</sub>*

XIV-9126

1980

- 19 Б113. Определение энергии разрыва связей в молекуле CS<sub>2</sub> масс-спектрометрическим методом электронного удара. Zmbov Kiro F., Miletic Miodrag, Veljkovic Miomir. Bond dissociation energies in the CS<sub>2</sub> molecule from mass spectrometric electron impact studies. «Глас. Хем. друшт. Београд», 1980, 45, № 3, 23—28 (англ.; рез. сербскохорв.)

Измерены кривые эффективности ионизации (КЭИ) электронным ударом молекул CS<sub>2</sub> с образованием S<sup>+</sup>, CS<sup>+</sup> и CS<sub>2</sub><sup>+</sup>. Ионизирующие электроны монохроматизировались трохоидальным монохроматором и имели разброс по энергиям 0,06 эВ. Из КЭИ определены Пт появления ионов (эВ) CS<sub>2</sub><sup>+</sup> 10,05±0,08, CS<sup>+</sup> 14,10 и S<sup>+</sup> 14,80. Интерпретированы изломы на КЭИ, соотв-щие порогам процессов образования возбужденных продуктов. На основании полученных Пт появления найдено, что энергия разрыва связи SC—S равна 428,4±7,7 кДж и C—S 715,1±7,7 кДж.

Е. Николаев

*Эл. удар,  
М. монохром.  
свдн.*

X. 1980 N 19

*CS<sub>2</sub>*

*Омск 12988*

*1981*

9 Б183. УФ-исследования возбуждения CS<sub>2</sub> электронным ударом. Ajello J. M., Srivastava S. K. UV studies of electron impact excitation of CS<sub>2</sub>. «J. Chem. Phys.», 1981, 75, № 9, 4454—4463 (англ.)

В области 110—510 нм измерены спектры испускания при возбуждении молекулы CS<sub>2</sub> электронным ударом с энергией до 125 эВ. В области 110—210 нм наблюдали ряд атомных мультиплетов. Рассчитаны факторы Франка-Кондона и относит. интенсивности полос  $v = -0 - 4 - v'' = 0 - 5$  ( $\Delta v = 0, \pm 1, \pm 2$ ) системы  $A^1\Pi - X^1\Sigma^+$ . CS. В. М. Ковба

*спектр  
вероятн.  
переходов*

*X. 1982, 19, N 9.*

*CS<sub>2</sub>*

Омск 12988 1981

4 Д667. Исследование УФ-излучения при возбуждении CS<sub>2</sub> электронным ударом. UV studies of electron impact excitation of CS<sub>2</sub>. Ajello J. M., Srivastava S. K. «J. Chem. Phys.», 1981, 75, № 9, 4454—4463 (англ.)

В области 110—510 нм исследованы спектры флуоресценции (ФЛ) при возбуждении паров CS<sub>2</sub> электронным ударом. Определены сечения возбуждения оптич. переходов (при  $E_{\text{вл}} = 100$  эВ);  $\text{CS}_2^+ (B^2\Sigma_u^+ \rightarrow \bar{X}^2\Pi_g)$  в области 275—290 нм,  $\text{CS}_2^+ (A^2\Pi_u \rightarrow \bar{X}^2\Pi_g)$  в области 430—510 нм,  $\text{CS} (A^1\Pi \rightarrow X^1\Sigma^+)$  в области 240—275 нм, CI, CII, SI, SII, SIII в области 114—140 нм. Определены сечения возбуждения оптич. переходов в CS<sub>2</sub><sup>+</sup> и CS в зависимости от энергии электронов (0—125 эВ). Проведено сравнение спектров ФЛ CS<sub>2</sub><sup>+</sup> и CS при фотовозбуждении и при электронном ударе. Библ. 28.

Ю. В. Чижов

1982, 18, N 4.

*CS<sub>2</sub><sup>+</sup>, CS'*

$\text{CS}_2$

Omnuck 12988

1981

195: 194696m UV studies of electron impact excitation of carbon disulfide. Ajello, J. M.; Srivastava, S. K. (Jet Propul Lab., California Inst. Technol., Pasadena, CA 91109 USA). *J. Chem. Phys.* 1981, 75(9), 4454-63 (Eng). First measurements are reported of emission cross sections of  $\text{CS}_2$  by electron impact over the wavelength interval 110 to 510 nm. Abs. emission cross sections are obtained at 100 eV for all spectral features obsd. in the interval. The important electronic transitions listed in decreasing order of their emission cross sections at 100 eV are the ionization transitions  $\text{CS}_2^+(\tilde{B}^2\text{E}, + \rightarrow \tilde{X}^2\text{II}_g)$  in the middle UV,  $\text{CS}_2^+(\tilde{A}^2\text{II}_u \rightarrow \tilde{X}^2\text{II}_g)$  in the visible, the dissociative excitation transition  $\text{CS}(A^1\text{II} \rightarrow X^1\text{E}^+)$  in the middle UV, and individual C and S multiplets in the vacuum UV. Emission cross sections as a function of electron energy (0-125 eV) are reported for several of the important electronic transitions.

nonresonant

resonant

Упрочнение

нуу түркмп-

ызы

C.A. 1981, 95, N22.

Отмск 11812

1981

CS<sub>2</sub>

12 Д777. Возбуждаемая лазером флуоресценция CS<sub>2</sub>. Laser excited fluorescence of CS<sub>2</sub>. Bergnath Peter F., Dulick Michael, Field Robert W., Hardwick J. L. «J. Mol. Spectrosc.», 1981, 86, № 2, 275—285 (англ.)

Исследованы спектры резонансной флуоресценции молекул CS<sub>2</sub>, возбуждаемой УФ-линиями Ar<sup>+</sup>- и Kr<sup>+</sup>-лазеров. Показано, что эти линии возбуждают одиночные вращательные уровни с K=0 и 1 в полосах R-системы Клемана. В спектрах флуоресценции в каждом случае наблюдаются длинные прогрессии по деформационному колебанию v<sub>2</sub>'' основного состояния. Идентифицированы высокие колебательные уровни молекулы CS<sub>2</sub> вплоть до (1,28, 0°). Показано, что матричные элементы взаимодействия для членов полинад во многих случаях больше расстояниями между ними: например <0,21°, 0/H/1,19°, 0>Э—204 см<sup>-1</sup>. Сделано заключение, что, несмотря на кажущуюся простоту спектров, гармонич. базис не может быть использован для их описания даже в нулевом приближении. Библ. 21.

В. С. Иванов

Ф. 1981, 18, № 12

*CS<sub>2</sub>*

*Омск 11812*

*1981*

21 Б175. Флуоресценция CS<sub>2</sub> возбуждаемая лазером. Bernath P. F., Dulick M., Field R. W., Hardwick J. L. Laser Excited fluorescence of CS<sub>2</sub>. «J. Mol. Spectrosc.», 1981, 86, № 2, 275—285 (англ.)

Измерены спектры флуоресценции паров сероуглерода, возбуждаемые от различных УФ-линий Ar<sup>+</sup> и Kr<sup>+</sup> лазеров. Наблюдались длинные прогрессии полос, связанных с деф. кол. молекулы в основном электронном состоянии (наиболее высоколежащий уровень, наблюдавшийся экспериментально — 1,28°, 0). Для каждой линии приведены волновые числа полос в спектре флуоресценции и обсуждено отнесение возбуждаемого перехода. В результате совместной обработки всех эксперим. данных найдены колебательные молек. постоянные основного состояния CS<sub>2</sub>.

*В. М. Ковба*

*X. 21. 1981*

CS<sub>2</sub> OTTECK 128151 1981

Bohm et al., Gleiter R.

y Theor. chim. acta, 1981,  
59(2), 153-179.

$CS_2$

1981

Butler J. E.

~~gogurcayu~~

J. Photochem., 1981, 17,  
N1-2, 54.

~~peracipaw,~~  
~~Kongdai~~.  
~~coemoldeciu~~.

(crys.  $CS_2$ ;  $\bar{m}$ ).

*CS<sub>2</sub>*

1981

1 Б149. Абсолютные дипольные силы осцилляторов для фотопоглощения в фотоионизации дисульфида углерода. Cagnovale F., White M. G., Brion C. E. Absolute dipole oscillator strengths for photoabsorption and photoionization of carbon disulphide. «J. Electron Spectrosc. and Relat. Phenom.», 1981, 24, № 1, 63—76 (англ.)

*сечения  
фотопоглощ.  
и фотопо-  
ионизации*

С использованием ( $e$ ,  $2e$ ) спектроскопии проведены измерения сечений (абс. дипольных сил осцилляторов) фотопоглощения, а также полных и парциальных сечений фотопионизации молекулы  $CS_2$ . Измерения проводились при фиксированном значении угла ( $54,7^\circ$ ) вылета выбитых электронов относительно направления первичного пучка (магич. угол). Спектры фотопоглощения и фотопионизации, имитируемые измерениями сечений ( $e$ ,  $2e$ )-рассеяния при различных условиях проведения экспериментов, исследовались в области энергий связи

X. 1982, 19 АБ, N1.

5—40 эВ. Обнаружено сильное поглощение молекулы  $\text{CS}_2$  в области энергий выше 20 эВ. Усиление поглощения связано с возбужденными состояниями молекулы, распадающимися в результате процесса автоионизации. В спектрах фотоионизации при значениях энергий потерь выше 20 эВ наблюдается интенсивная протяженная сателлитная структура, связанная с корреляц. эффектами. Энергии и интенсивности сателлитных структур в спектре энергий связи сопоставлены с данными расчетов спектров ионизации  $\text{CS}_2$  методом функций Грина. С использованием полученных эксперим. данных определены абс. парциальные сечения ионизации для состояний  $X^2\Pi_g$ ,  $A^2\Pi_u$ ,  $B^2\Sigma_u^+$  и  $C^2\Sigma_g^+$  иона  $\text{CS}_2^+$ .

И. А. Тополь



*С2*

*Моск 12931*

*1981*

9 Б182. Молекулярные спектры испускания разряда низкого давления в парах дисульфида углерода. Cossart Daniel. Molecular emission spectra from low pressure discharges through carbon disulfide vapour. «J. chim. phys. et phys.-chim. biol.», 1981, 78, № 9, 711—716 (англ.; рез. фр.)

Измерены спектры испускания паров дисульфида углерода при возбуждении в 5 разных разрядах низкого давления. Показано, что в разных разрядах образуются:  $\text{CS}_2$ ,  $\text{CS}_2^+$ ,  $\text{CS}$ ,  $\text{CS}^+$  в разных электронных состояниях. Проанализирована диаграмма энергетических уровней указанных молекул и ионов и обсуждены возможные механизмы возбуждения, диссоциации и ионизации.

С. Б. Осин

(43)

X. 1982, 19, N9.

*CS<sub>2</sub>*

*Омск 12931*

*1981*

4 Д663. Молекулярные эмиссионные спектры разрядов низкого давления в парах сероуглерода. Molecular emission spectra from low pressure discharges through carbon disulfide vapour. Cossart Daniel. «J. chim. phys. et phys.-chim. biol.», 1981, 78, № 9, 711—716 (англ.; рез. фр.)

В диапазоне 250—430 нм исследованы эмиссионные спектры *CS<sub>2</sub>*, возбуждаемого в положит. столбе тлеющего разряда, пучком электронов линейного ускорителя, сверхвысокочастотным разрядом, разрядом в полом катоде и разрядом в поперечном магн. поле. На основе анализа спектров оценены диапазоны энергий возбуждающих электронов в каждом типе разряда. Рассмотрено соотнесение наблюдавших спектральных полос с переходами в нейтральных и ионизированных молекулярных частицах. Ряд полос соотнесен с неизвестными ранее электронными переходами в радикалах *CS*. Библ. 31.

*С. Литке*

*95. 1982, 18, N 4.*

$CS_2$

Lorraine 12143

1981.

$\delta$  *raciborskii*

Cox T.J., et al.

Puccia  
checklist,  
unpublished.

dim (unepi.  
ciliata)

Mol. Phys., 1981, 43  
(2), 307 - 19.

1981

CS<sub>2</sub>

спектр  
флуоресц.

11 Д675. Электронное тушение флуоресценции паров CS<sub>2</sub>, возбуждаемой излучением  $\lambda=3371 \text{ \AA}$ . Electronic quenching of CS<sub>2</sub> vapour excited at 3371 Å. Dueñas Fañanás J. A., Cabello A.—European Conference on the Dynamics of Excited States, Pisa, 14—16th Apr., 1980.—«Nuovo cim.», 1981, B63, № 1, 140—144 (англ.; рез. итал., рус.)

Исследовано самотушение флуоресценции паров CS<sub>2</sub>, возбуждаемой излучением N<sub>2</sub>-лазера (3371 Å). Флуоресценцию регистрировали через интерференционные фильтры с максимумами пропускания 4480, 5540 или 5860 Å. Давление паров CS<sub>2</sub> изменяли в пределах 10<sup>-2</sup>—1 мм рт. ст. Установлено, что при низких давлениях затухание флуоресценции является двухэкспоненциальным при всех использованных светофильтрах. При давлении несколько десятых мм рт. ст. в затухании наблюдается лишь одна компонента. Во всем ис-

φ. 1981, 18, NII.

следованном диапазоне давлений обе компоненты флуоресценции показывают штерн-фольмеровское поведение. Определены константы скорости тушения обеих компонент. Короткоживущая флуоресценция тушится в 3 раза более эффективно, чем долгоживущая.

В. С. Иванов

C<sub>5</sub><sub>2</sub>

Lommel 12842 | 1981

Hilderbrandt R. L.  
et al.

Molecular  
Cmpy.

J. Mol. Struct.,  
1981, 85, 25-36

*CS<sub>2</sub>*

18 Б287. Инфракрасный спектр высокого разрешения  $^{13}\text{CS}_2$  между 250 и 430 см $^{-1}$ . Каиринен J.,  
Jolma K. High resolution infrared spectrum of  $^{13}\text{CS}_2$  between 250 and 430 cm $^{-1}$ . «J. Mol. Spectrosc.», 1981,  
85, № 2, 314—321 (англ.)

Исследован ИК-спектр высокого разрешения  $^{13}\text{CS}_2$  между 250 и 430 см $^{-1}$ , измеренный с помощью фурье-спектрометра с разрешением 0,01 см $^{-1}$ . Численная обработка спектра проведена по известным полиномиальным ф-лам для колебательно-вращательных уровней энергии линейной молекулы. Изучены  $01^10 \leftarrow 00^00$ ,  $02^20 \leftarrow -01^10$ ,  $02^00 \leftarrow 01^10$ ,  $03^30 \leftarrow 02^20$ ,  $03^10 \leftarrow 02^00$ ,  $03^10 \leftarrow 0,2^20$ ,  $11^10 \leftarrow 10^00$ ,  $10^00 \leftarrow 01^10$   $^{13}\text{CS}_2$  и полоса  $01^10 \leftarrow 00^00$   $^{32}\text{S}^{13}\text{C}-^{34}\text{S}$ . Для каждой полосы даны наблюденное максимальное значение  $J$  (квантового числа полного углового момента), число измеренных линий и станд. отклонение частот для всей полосы. Определены вращательные постоянные  $B$  и  $D$ , колебательные уровни энергии для верхнего и нижнего состояний наблюденных переходов и постоянная  $I$ -удвоения для П-состояний  $01^10$ ,  $11^10$ ,  $03^11$ . Полученные результаты сравнены с имеющимися лит. данными.

В. М. Михайлов

1981

*М.Н.*

*и.к. спектр.*

*Х 1981 N 18*

1981

C<sub>5</sub>S<sub>2</sub>

94: 74125g High resolution infrared spectrum of carbon-13 disulfide between 250 and 430 cm<sup>-1</sup>. Kauppinen, J.; Jolma, K. (Dep. Phys., Univ. Oulu, 90570 Oulu, Finland). *J. Mol. Spectrosc.* 1981, 85(2), 314-21 (Eng). The high resoln. IR spectrum of <sup>13</sup>CS<sub>2</sub> between 250 and 430 cm<sup>-1</sup> was studied with a Fourier transform spectrometer at a resoln. of ~ 0.010 cm<sup>-1</sup>. The following bands were analyzed: the bending fundamental 01<sup>1</sup>0 ← 0000 of <sup>13</sup>C<sup>32</sup>S<sub>2</sub> and the assocd. hot bands 02<sup>2</sup>0 ← 01<sup>1</sup>0, 02<sup>0</sup> ← 01<sup>1</sup>0, 03<sup>3</sup>0 ← 02<sup>2</sup>0, 03<sup>1</sup>0 ← 02<sup>0</sup>, 03<sup>1</sup>0 ← 02<sup>2</sup>0, 11<sup>1</sup>0 ← 10<sup>0</sup>, the difference band 10<sup>0</sup> ← 01<sup>1</sup>0 of <sup>13</sup>C<sup>32</sup>S<sub>2</sub>, and the bending fundamental 01<sup>1</sup>0 ← 0000 of <sup>32</sup>S<sup>13</sup>C<sup>34</sup>S. Polynomial fits were used in the analyses. The rotational consts. B and D together with the vibrational term values were derived for the states involved. The l-type doubling const. q was obtained for the Π-states 01<sup>1</sup>0, 11<sup>1</sup>0, and 03<sup>1</sup>0 of <sup>13</sup>C<sup>32</sup>S<sub>2</sub>.

M, N.

C. H. 1981. 04, N10

1981

CS<sub>2</sub>

9 Д478. ИК-спектр высокого разрешения  $^{13}\text{CS}_2$  в области 250—430 см<sup>-1</sup>. High resolution infrared spectrum of  $^{13}\text{CS}_2$  between 250 and 430 cm<sup>-1</sup>. Каурринен J., Joima K. «J. Mol. Spectrosc.», 1981, 85, № 2, 314—321 (англ.)

Получен ИК-спектр паров  $^{13}\text{CS}_2$  при давлении 2,6 мм рт. ст. в слое 3 м в области 250—430 см<sup>-1</sup> с разрешением 0,01 см<sup>-1</sup>. Приведены частоты и отнесение линий к колебательно-вращательным переходам полосы  $\nu_2$  и 15 сопутствующим ей полосам горячих переходов молекулы  $^{13}\text{C}^{32}\text{S}_2$  и полосы  $\nu_2$  молекулы  $^{32}\text{S}^{13}\text{C}^{34}\text{S}$ . Разрешены компоненты  $l$ -удвоения. Определены вращательные постоянные  $B$  и  $D$  в основном и возбужденных колебательных состояниях и колебательные частоты и константы  $l$ -удвоения. Рассчитаны энергии колебательных уровней 01<sup>1</sup>0, 02<sup>0</sup>0, 03<sup>1</sup>0, 03<sup>3</sup>0, 10<sup>0</sup>0 и 11<sup>1</sup>0 молекулы  $^{13}\text{C}^{32}\text{S}_2$ .

4, 17.

ф. 1981 № 9

$\text{CS}_2$

1981

Zacy et al.

поверхности Mol. Phys., 1981, 43,  
 номенклатура N1, 47-63.

(cнr. OCS; III)

*CS<sub>2</sub>*

*Омск 12393 1981*

ЗД78. Ангармоническое силовое поле дисульфида углерода. The anharmonic force field of carbon disulfide. Lacy M., Whiffen D. H. «Mol. Phys.», 1981, 43, № 6, 1205—1217 (англ.)

По известным эксперим. данным для колебательно-вращательных переходов в молекуле CS<sub>2</sub> определены параметры ангармонического силового поля. Нахождение параметров модельного гамильтониана проведено итерационным методом, причем колебательно-вращательная задача решена с помощью метода матричной диагонализации, а не теории возмущений. Найденная потенц. поверхность в интервале энергий 0—5500 см<sup>-1</sup> получена с точностью ~1%. Проведено сравнение двух различных типов координат при записи модельного гамильтониана в виде степенного разложения. Полученное силовое поле сравнено с ранее найденными. Показано, что удачный выбор координат позволяет уменьшить число параметров разложения.

Е. А. Ж.

*Ф. 1982, 18, № 3.*

*CS<sub>2</sub>*

Отмск 12393

1981

18 Б168. Ангармоническое силовое поле сероуглерода. Lacy M., Whiffen D. H. The anharmonic force field of carbon disulphide. «Mol. Phys.», 1981, 43, № 6, 1205—1217 (англ.)

Определено ангармонич. силовое поле  $CS_2$ , используя метод диагонализации матриц. Это силовое поле дает меньшую систематич. ошибку, чем поле, найденное на основе теории возмущений, и описывает потенциальную поверхность в области  $0—5500\text{ см}^{-1}$  с ошибкой менее 1%. Найденное силовое поле дает возможность вычисления вращательных параметров  $q$  и  $D$  с более высокой точностью, чем ранее. Разложение в ряд по координатам  $\rho$ , вместо обычно используемых координат  $D$  позволило вычислить с более высокой точностью и частоты более высоких энергетич. уровней; эти координаты особенно удобны, когда используют сокращенное силовое поле, причем достигается хорошее согласие частот и величин  $B$  с эксперим. значениями. Предложенный метод расчета годится только для молекул, в к-рых невелика ангармоничность колебаний.

*СИЛ. ПОСТ.*

*и. А.*

*X. 1982,  
19, № 8*

E. Разумова

$CS_2$

1981

Lacy et al.

not energy.  
steepness.  
Mol. Phys., 1981, 43, N 1,  
47 - 63.

●  
(cer. OCS; II)

*CS<sub>2</sub>*

Отиск 12434

1981

5 Б180. Спектры флуоресценции с отдельных вибровибрационных уровней состояния  ${}^1B_2$  CS<sub>2</sub> охлажденного в сверхзвуковой открытой струе. Mikami Naohiko, Kasahara Hiroshi, Ito Mitsuo. SVL fluorescence spectra from the  ${}^1B_2$  state of CS<sub>2</sub> cooled in a supersonic free jet. «Chem. Phys. Lett.», 1981, 83, № 3, 488—492 (англ.)

Измерены спектры флуоресценции с ряда отдельных вибровибрационных уровней состояния  ${}^1B_2$  молекулы CS<sub>2</sub> (нижняя компонента состояния  ${}^1\Delta_u$  линейной молекулы), охлажденной в сверхзвуковой открытой струе. Большинство полос в спектре возбуждения соответствует полосам, наблюдаемым в спектре поглощения газообразного CS<sub>2</sub>, отсутствуют или малонитенсивны лишь горячие полосы, что связано с низкой т-рой струи. Спектры флуоресценции измеряли для трех возбуждаемых переходов: 0—0  $\Sigma$  ( $30900 \text{ см}^{-1}$ ), 1—0  $\Sigma$  ( $31352 \text{ см}^{-1}$ ), 2—0  $\Sigma$  ( $31794 \text{ см}^{-1}$ ). Общие особенности спектров флуоресценции следующие. Спект-

*m.n., p.i.,*

X, 1982, 19, N5.

ры наблюдаются в широком диапазоне от области возбуждения до  $\lambda \geq 600$  нм, причем, никакого явного континуума нет. Спектр можно разделить на две части, обозначенные как  $M$  и  $L$  системы. Система  $M$  состоит из короткой прогрессии (прогрессий) с интервалом  $\sim 800$  см $^{-1}$  ( $2v''_2$ ). Система  $L$  лежит в длинноволновой части спектра начиная с  $\sim 28000$  см $^{-1}$ , т. е. на  $\sim 3000$  см $^{-1}$  ниже области возбуждения и имеет очень сложный характер. Система  $L$  состоит из нескольких серий прогрессий с интервалом  $\sim 1450$  см $^{-1}$  ( $v''_1 + 2v''_2$ ). В. М. Ковба

В. М. Ковба

кто<sup>р</sup> то

$\text{CS}_2$

Omnick 12434

1981

95: 228461y SVL fluorescence spectra from the  ${}^1\text{B}_2$  state of carbon disulfide cooled in a supersonic free jet. Mikami, Naohiko; Kasahara, Hiroshi; Ito, Mitsuo (Fac. Sci., Tohoku Univ., Sendai, Japan 980). *Chem. Phys. Lett.* 1981, 83(3), 488-92 (Eng). The single vibronic level (SVL) fluorescence spectra from the  ${}^1\text{B}_2$  state of  $\text{CS}_2$  cooled in a supersonic free jet were obsd. The transitions to the highly excited vibrational levels in the ground state were detected. The nature of the emitting states is discussed in terms of the strong coupling with low-lying triplet state(s).

check

physRevJ

C. A. 1981, 95, N26.

$\text{CS}_2^1$

Отмеч 12.02.1981

З Д734. Спектры флуоресценции с отдельных колебательных уровней состояния  ${}^1B_2$  молекул  $\text{CS}_2$ , охлажденных в сверхзвуковой струе. SVL fluorescence spectra from the  ${}^1B_2$  state of  $\text{CS}_2$  cooled in a supersonic free jet. Mikami Naohiko, Kasahara Hiroshi, Ito Mitsu. «Chem. Phys. Lett.», 1981, 83, № 3, 488—492 (англ.).

В области  $15\ 000$ — $33\ 000$  см $^{-1}$  получены спектры флуоресценции молекул  $\text{CS}_2$ , охлажденных в сверхзвуковой струе. Возбуждение молекул  $\text{CS}_2$  на определенные колебательные уровни состояния  ${}^1B_2$  осуществлялось импульсным перестраиваемым лазером на кристалле. Идентифицирован ряд линий с участием высоколежащих колебательных уровней основного состояния молекулы  $\text{CS}_2$ . Анализ структуры полос спектра флуоресценции позволили авторам высказать предположение о сильном взаимном возмущении низколежащего триплетного состояния и состояния  ${}^1B_2$ .

Ф. 1982, 18, № 3

C5<sub>2</sub>

Commerce 12563 | 1981

Okada K.

CHN. RUST.

26

*Spectrochlamys acta*

1981, A37, 381-84

$\text{CS}_2$

[Jammes 11471.]

1981

Ono Y., et al.

romo-  
noruzensus J. Chem. Phys., 1981,  
74 (2), 1125 - 32

*CS<sub>2</sub>*

*1981*

11 Д677. Константы столкновительного тушения и времена жизни флуоресценции газообразного дисульфида углерода. Collisional quenching constants and collision-free lifetimes of fluorescence of gaseous carbon disulfide. Ogita Hideo, Morita Hiroshi, Nagakura Saburo. «Chem. Phys. Lett.», 1981, 81, № 1, 33—36 (англ.)

В области 290—340 нм получены разрешенные во времени спектры флуоресценции газообразных молекул CS<sub>2</sub>. Возбуждение молекул осуществлялось N<sub>2</sub>-лазером (в состояние <sup>1</sup>A<sub>2</sub>) и импульсным перестраиваемым лазером на красителе (в состояние <sup>1</sup>B<sub>2</sub>). В диапазоне 0,01—0,06 мм рт. ст. получены зависимости констант тушения возбужденных молекул CS<sub>2</sub> от давления, а также времена жизни, характеризующие быструю и медленную компоненты их излучательного распада. Показано, что медленная компонента обусловлена испусканием с большого числа уровней, заселяемых при колебательной релаксации молекул CS<sub>2</sub>.

Резюме

*Флуоресценция  
CS<sub>2</sub>*

*Ф. 1981, 18, III.*

1981

 $\text{CS}_2$ 

(флуоресценция)

22 Б175. Влияние магнитного поля на флуоресценцию  $\text{CS}_2$  возбуждаемого в состояния  ${}^1\text{A}_2$  и  ${}^1\text{B}_2$ . Orita Hideo, Morita Hiroshi, Nagakura Saburo. Magnetic field effect on the fluorescence of  $\text{CS}_2$  excited to the  ${}^1\text{A}_2$  and  ${}^1\text{B}_2$  states. «Chem. Phys. Lett.», 1981, 81, № 1, 29—32 (англ.)

Исследовано влияние магнитного поля (до 13 кГс) на флуоресценцию  $\text{CS}_2$  ( $p_{\text{CS}_2} = 10^{-3}$  — ~0,6 мм) из состояний  ${}^1\text{A}_2$  и  ${}^1\text{B}_2$ , возбуждаемую  $\text{N}_2$ -лазером и перестраиваемым лазером на красителе с удвоением частоты. Анализ кривой флуоресцентного распада из состояния  ${}^1\text{A}_2$  ( $\lambda \approx 380$  нм) в отсутствие и при наличии магнитного поля показал в обоих случаях наличие двух компонент с временами жизни ( $\tau$ ) 2,8 мксек (I) и 14,5 мксек (II). Наличие магнитного поля не влияло на интенсивность II. Для I найдено, что предэкспоненциальный множитель  $A(H)$  уменьшается с ростом напряженности поля ( $A(H)/A(0) \sim 0,5$  при 13 кГс) и не зависит от давления исследуемого газа ( $10^{-3}$  —  $7,2 \times$

x.1981/н22, 19А5

$\times 10^{-2}$  м.м). При измерении интенсивности флуоресценции из состояния  ${}^1B_2$  ( $v'_2=0-4$ ) использовалась комбинация УФ-фильтра с ограниченной полосой пропускания и интерференционного фильтра. Кривые флуоресцентного распада измерялись при  $\lambda \approx 370$  нм ( $\lambda_{\text{возб.}} = 323,5$  нм,  $v'_2=2$ ). Как и в случае флуоресценции из состояния  ${}^1A_2$  выделены две компоненты распада — быстрая ( $\tau_1=3,1$  мксек) и медленная ( $\tau_{II}=13,4$  мксек) (при  $P=9,15 \cdot 10^{-3}$  мм).  $\tau_1$  и  $\tau_{II}$ , а также предэкспоненциальный множитель II не зависят от магнитного поля, в то время как предэкспоненциальный множитель I уменьшается до  $A(H)/A(O) \sim 0,7$  при 6,1 кГс.  $\tau$  и  $A(H)$  не зависят от давления. Это указывает на то, что влияние магнитного поля на флуоресценцию  $\text{CS}_2$  из состояний  ${}^1A_2$  и  ${}^1B_2$  носит чисто внутримолек. характер.

В. М. Ковба

C<sub>5</sub><sub>2</sub>

Lommel 12128 1981

Person W. B., et al.

ICb. 100%

каори

каориам.

СВ-Б.

J. Phys. Chem., 1981,  
85, 1998 - 2007

part i)

$\text{CS}_2$

1981

Person W.B. et al.

Ref. desk.  
person

J. Phys. Chem. 1981,  
85 (14), 1998 - 2007.

( $\text{m} \cdot \text{CO}_2$ ;  $\text{m}^3$ )

$\text{CS}_2$

Омск 11516 1981

11 Д113. Молекулярные постоянные  $\text{CS}_2$  в возбужденных состояниях. Molecular constants of  $\text{CS}_2$  in the excited state. Ramasamy R., Кагирраппап Т. А.; Venkateswarlu K. «Z. phys. Chem.» (DDR), 1981, 262, № 2, 230—234 (англ.)

В приближениях обобщенного валентного силового поля и силового поля Юри-Брэдли рассчитаны силовые постоянные молекулы  $\text{CS}_2$  в возбужденном состоянии  $\tilde{a}$ . Рассчитаны также среднеквадратичные амплитуды колебаний, постоянные центробежного искажения и кориолисовы коэф. связи. В. И. Барановский

СИА · ЛОСМ,  
ll · 1 ·

Ф. 1981, 18, NII.

*CS<sub>2</sub>*

*Омск 11516*

*1981*

20 Б180. Молекулярные постоянные CS<sub>2</sub> в возбужденном состоянии. Ramasamy R., Катиррапан Т. А., Venkateswarlu K. Molecular constants of CS<sub>2</sub> in the excited state. «Z. phys. Chem». (DDR), 1981, 262, № 2, 230—234 (англ.)

Выполнен расчет частот и форм нормальных колебаний с обобщенным валентно-силовым полем и силовым полем Юри—Бредли, рассчитаны силовые постоянные молекулы CS<sub>2</sub> в возбужденном состоянии  $\tilde{a}$ . Вычислены среднеквадратичные амплитуды колебаний, постоянные кориолисова взаимодействия и постоянные центробежного искажения. Результаты расчета сопоставляются с соответствующими данными для основного электронного состояния молекулы.

В. М. Ковба

X. 20. 1981

$\text{CS}_2$

Omnueck 11516

1981

94: 182756x Molecular constants of carbon disulfide in the excited state. Ramasamy, R.; Karuppannan, T. A.; Venkateswarlu, K. (Dep. Phys., PSG Auton. Coll. Arts Sci., Coimbatore, 641014 India). *Z. Phys. Chem. (Leipzig)* 1981, 262(2), 230-4 (Eng). The normal coordinate anal. of the  $\text{CS}_2$  mol. in its excited state was carried out for the 1st time and some of the important mol. consts. were evaluated. These consts. were compared with those corresponding to the ground state of the mol.

M, N2 .

C.A. 1981, 94, N22

CS<sub>2</sub>

enrkmp,  
cerenne  
gromo-  
monuz -  
yuu

1981

Tabche - Fouhaile A.

Thèse doct. sci. phys.  
Univ. Paris, Sud, 1981,  
1981, 210 p., ill.

(cer. O<sub>2</sub><sup>+</sup>; III)

CS<sub>2</sub>

[Ommeck 13650]

1982

Carrooale F., Hitchcock,  
et al. A. P.

romo-

40meza- Chem. Phys., 1982, 66  
yus.

N3, 249-259.

*CS<sub>2</sub>*

Отмск 14912 1982

2 Б137. Угловая зависимость фотоэлектронных спектров CS<sub>2</sub> и COS, измеренная для энергий фотонов от 21 до 70 эВ. Angle resolved photoelectron spectroscopy of CS<sub>2</sub> and COS measured as a function of photon energy from 21 to 70 eV. Carlson Thomas A., Krause Manfred O., Grimm Frederick A. «J. Chem. Phys.», 1982, 77, № 4, 1701—1709 (англ.)

Фотоэлектр.

спектр



С использованием синхротронного излучения в качестве источника возбуждения измерены фотоэлектронные спектры с угловым разрешением (ФЭСУР) молекул CS<sub>2</sub> и COS. Энергия возбуждающего излучения варьировалась в пределах 21—70 эВ для CS<sub>2</sub> и 21—40 эВ для COS. В результате измерения ФЭСУР определены энергетич. зависимости парц. сечений фотоионизации (ПСФ) и параметра асимметрии β для первых 5 полос ФЭС CS<sub>2</sub> и первых 4 полос ФЭС COS. Эксперим. данные интерпретированы с использованием данных расчетов

X. 1983, 19, № 2

ПСФ и  $\beta$  в рамках обобщенного  $X_\alpha$ -метода рассеянных волн (на случай непрерывного спектра). В ПСФ и зависимости  $\beta(E)$  для  $2\pi_g$ -МО в  $CS_2$  и  $3\pi$ -МО в  $COS$  наблюдается куперовский минимум. Аналогичные особенности ПСФ хорошо переданы в теор. расчетах. Детальное сопоставление эксперим. и теор. данных показало, что метод рассеянных волн позволяет правильно описать эксперим. результаты для ПСФ и  $\beta$  верхних МО, а также область куперовского минимума в энергетич. зависимости ПСФ и  $\beta$ . Согласие теории и эксперимента ухудшается при описании фотоионизации глубоких валентных МО и резонансов формы. 5-й пик в ФЭС  $CS_2$  отнесен к сателлиту конфигурац. взаимодействия, генетически связанному с ионизацией МО  $2\pi_u$ .

И. А. Тополь

*CS<sub>2</sub>*

1982

2 Д615. Разрешенная по углу фотоэлектронная спектроскопия молекул CS<sub>2</sub> и COS в области энергий фотонов 21—70 эВ. Angle resolved photoelectron spectroscopy of CS<sub>2</sub> and COS measured as a function of photon energy from 21 to 70 eV. Carlson Thomas A., Krause Manfred O., Grimm Frederick A. «J. Chem. Phys.», 1982, 77, № 4, 1701—1709 (англ.)

*спектр*



92. 1983, 18, № 2

С использованием синхротронного излучения в области 21—70 эВ получены спектральные зависимости парциальных сечений фотоионизации и параметров анизотропии угловых распределений фотоэлектронов для первых пяти полос фотоэлектронных спектров  $\text{CS}_2$  и в области 21—40 эВ, для первых четырех полос спектра COS. Эксперим. результаты сопоставлены с данными теоретич. расчетов. Показано, что фотоионизация орбиталей  $2\pi_g(\text{CS}_2)$  и  $3\pi(\text{COS})$  характеризуется наличием куперовского минимума, а пятая полоса в фотоэлектронном спектре  $\text{CS}_2$  является сателлитом полосы, соответствующей ионизации с орбитали  $2\pi_u$ . Библ. 20. М. Т.

CS<sub>2</sub>

1982

7 Д562. Выходы фотодиссоциации CS<sub>2</sub> в области 1060—1520 Å. Photodissociation yields of CS<sub>2</sub> at 1060—1520 Å. Day R. L., Suto Masako, Lee L. C. «J. Phys. B: Atom. and Mol. Phys.», 1982, 15, № 3, 4403—4409 (англ.)

В области 1060—1520 Å с помощью синхротронного излучения измерены сечения поглощения и выход флуоресценции ( $\lambda_{\Phi} = 1900—3000$  и  $1900—8000$  Å) молекулы CS<sub>2</sub>. В спектре поглощения при  $\lambda > 1200$  Å зарегистрированы ридберговские переходы, а в более коротковолн. области — сильная полоса ( $\sigma_a = 2,1 \cdot 10^{-16}$  см<sup>2</sup>) при 1117 Å на фоне плавного континуума. Рассмотрены возможные процессы фотодиссоциации CS<sub>2</sub>. Установлено, что флуоресценция с  $\lambda_{\Phi} = 1900—3000$  Å появляется при возбуждении излучением с  $\lambda < 1335$  Å и обусловлена в основном переходом CS(A<sup>1</sup>P → X<sup>1</sup>Σ<sup>+</sup>). Флуоресценция с  $\lambda_{\Phi} = 1900—8000$  Å появляется при

спектр

оп. 1983, 18, № 7

$\lambda < 1490 \text{ \AA}$  и наряду с переходом  $\text{CS}(A^1\Pi \rightarrow X^1\Sigma^+)$  вклад в нее, вероятно, дают переходы  $\text{S}(^1S_0 \rightarrow ^3P_1)$ ,  $\text{CS}(d^3\Delta, a'^3\Sigma^+ \text{ и } a^3\Pi \rightarrow X^1\Sigma^+)$ . Максим. выход флуоресценции с  $\lambda_{\Phi} = 1900 - 3000$  и  $1900 - 8000 \text{ \AA}$  наблюдается при  $\lambda = 1235 \text{ \AA}$  и равен 7,5 и 13% соответственно. Отмечена перспективность использования криптоновой лампы ( $\lambda = 1236 \text{ \AA}$ ) в качестве источника излучения при определении конц-ии  $\text{CS}_2$  в атмосфере. Библ. 27. А. В. Н.

$\text{CS}_2$

1982

Gershikov A. G.

репринтъ<sup>ы</sup> Zh. Strukt. Khim.  
издательства 1982, 23(6), 143-7.

(cell.  $\text{CO}_2$ ;  $\bar{\pi}$ )

от. 14934

1982

CS<sub>2</sub>

—5 Д614. Спектры флуоресценции и рекомбинационного излучения молекул S<sub>2</sub>, образующихся при УФ-лазерном фотолизе CS<sub>2</sub> в Ar-матрице при температуре 15 K. Fluorescence and recombination—emission spectra from S<sub>2</sub> formed by ultraviolet laser photolysis of CS<sub>2</sub> in an argon matrix at 15 K. Hamaguchi Ніго-о, Tasumi Mitsuо. «Chem. Phys. Lett.», 1982, 91, № 5, 406—408 (англ.)

В области 20 000—28 000 см<sup>-1</sup> получены спектры испускания молекул CS<sub>2</sub>, изолированных в Ar-матрице при т-ре 15 K. Спектры возбуждались 2-й гармоникой Ar<sup>+</sup>-лазера ( $\lambda=257,3$  нм). Конц-ия молекул CS<sub>2</sub> в матрице составляла 0,2—1 %. Структура спектров отнесена к переходам в системах  $B^3\Sigma_u^- \rightarrow X^3\Sigma_g^-$  и  $B''^3\Pi_u \rightarrow X^3\Sigma_g^-$  молекул S<sub>2</sub>, образующихся в результате рекомбинации атомов S — продуктов реакции  $CS_2 + h\nu(257,3 \text{ нм}) \rightarrow CS + S$ . Установлено, что состояние  $B''^3\Pi_u$  лежит ниже состояния  $B^3\Sigma_u^-$  на 524 см<sup>-1</sup>.

М. Т.

90, 1983, 18, N 5 S<sub>2</sub>(спектр, Si)

(+)

Сероуглерод

1982

ЗД515. Индуцированные взаимодействиями спектры жидкостей. Interaction-induced spectra in liquids. Maden P. A. «Raman Spectrosc.: Linear and Nonlinear. Proc. 8 Int. Conf., Bordeaux, 6-11 Sept., 1982». Chichester e. a., 1982, 307—315 (англ.; рез. фр.)

Описаны современные представления об индуцированных взаимодействиями молекул спектрах рассеяния и ИК-поглощения жидкостей. В качестве примера рассмотрен сероуглерод, для которого обсуждаются изотропные и анизотропные компоненты полос  $\nu_2$  и  $\nu_3$  комб. рас., полоса ИК-поглощения  $\nu_1$ , спектр в длинноволн. ИК-области, крылья разрешенной полосы комб. рас.  $\nu_1$  и анизотропного рэлеевского рассеяния. Описаны механизмы возникновения этих спектров, природа индуцированного дипольного момента, вклады различных диполей в интенсивность рассеяния. Отмечено совпа-

Vi, №. 1.

90. 1983, 18, N3

дение контуров полос изотропного и анизотропного комб. рас. одного и того же колебания; асимптотики полос длинноволн. ИК-поглощения и индуцированного комб. рас.; компонент рэлеевского рассеяния и полосы  $\nu_1$  комб. рас., связанных с механизмом диполь—индуцированный диполь. Обсуждается влияние различного типа флюктуаций на форму полос.

М. В. Т.

*CS<sub>2</sub>*

[Ommeck 13892] 1982

96: 207781h Fluorescence spectrum from the  $^1B_2$  state of carbon disulfide. Matsuzaki, A.; Nakamura, Y.; Itoh, T. (Inst. Space Astron. Sci., Tokyo, Japan 153). *Chem. Phys. Lett.* 1982, 87(4), 389-91 (Eng). The emission spectrum of gaseous CS<sub>2</sub> from the 2nd excited singlet state,  $^1B_2(0,0,0)$ , was studied. A sharp band assigned to the fluorescence from the  $^1B_2$  state was obsd. in addn. to the well-known broad band emission. The undispersed emission showed a nonexponential decay.

*CHEKMP  
PNMOPCIS.,*

P. A. 1982, 96, N 24.

Список 13892

1982

С32

16 Б159. Спектр флуоресценции из состояния  ${}^1B_2$  дисульфида углерода. Matsuzaki A., Nakamigawa Y., Itoh T. Fluorescence spectrum from the  ${}^1B_2$  state of carbon disulfide. «Chem. Phys. Lett.», 1982, 87, № 4, 389—391 (англ.)

Измерены возбуждаемые He—Cd-лазером (325,0 нм, 10 мВт) спектры флуоресценции дисульфида углерода  $CS_2$ , в газовой фазе, связанные с переходами из 2-го возбужденного синглетного состояния  ${}^1B_2$ . Кроме известной ранее широкой полосы испускания в спектре зарегистрирована дискретная система полос в области 325—380 нм, образующая по меньшей мере две прогрессии. Проведен анализ колебательной структуры этой системы. Наблюдаемые полосы отнесены к переходам из состояния  ${}^1B_2(0, 0^\circ, 0)$  на уровни  $2v_2''n$  и  $v_1''+2v_2''n$  ( $n=0—5$ ) основного состояния  $CS_2$ . Изучена кривая распада флуоресценции из состояния  ${}^1B_2$ . Выделено две компоненты флуоресценции с временами жизни 4 и 20 мкс. Показано, что испусканиеносит неэкспоненциальный характер. Обсуждены процессы дезактивации в низших возбужденных состояниях  $CS_2$ ,  $NO_2$  и  $SO_2$ .

С. Б. Осин

X.1982, 19, N 16.

~~13~~  
Отмск 13892 1982

$CS_2$

спектр  
флуоресц.

8 Д743. Спектр флуоресценции из состояния  $Cs_2(^1B_2)$ . Fluorescence spectrum from the  $^1B_2$  state of carbon disulfide. Matsuzaki A., Nakamura Y., Itoh T. «Chem. Phys. Lett.», 1982, 87, № 4, 389—391 (англ.)

Исследованы спектры флуоресценции молекул  $CS_2$ , возбуждаемые излучением Не—Cd-лазера (325,0 нм) или второй гармоникой перестраиваемого лазера на красителе. Наряду с хорошо известной широкой полосой  $^1B_2 - ^1\Sigma_g^+$  зарегистрированы резкие полосы, приписанные этому же переходу. Установлено, что кинетика затухания недиспергированной флуоресценции не является одноэкспоненциальной.

В. С. Иванов

Ф. 1982, 18, N 8.

С8<sub>2</sub>

Омск 13776 | 1982

щелочев-  
кость  
(экспери-  
мент и  
кв. ме.  
трації)

Nagashima M., Kona-  
ka S., Kinura M.,

Bull. Chem. Soc. Jap.  
1982, 55, N1, 28-32

*CS<sub>2</sub>*

Оttieck 14920 1982

12 Д386. Многофотонная ионизация и механизмы развала CS<sub>2</sub>. Multiphoton ionization and fragmentation mechanisms of CS<sub>2</sub>. Seaver Mark, Hudgens Jeffrey W., De Согро J. J. «Chem. Phys.», 1982, 70, № 1—2, 63—68 (англ.)

Многофотонная ионизация и развал CS<sub>2</sub> (I) при облучении молекулярного пучка I лазерными импульсами с длиной волны 193 (A) и 266 (Б) нм исследовались по ионному сигналу на масс-спектрометре, снимаемому в зависимости от интенсивности света и давления I. В случае A поглощение одного фотона приводило к образованию CS<sub>2</sub> ( $\tilde{\Lambda}^1\tilde{B}_2$ ) с последующей предиссоциацией на нейтральные фрагменты CS и S. Эти фрагменты ионизовались в лазерном поле и вступали во вторичные реакции, давая ионы CS<sub>2</sub><sup>+</sup> и S<sub>2</sub><sup>+</sup>. В случае Б прямая ионизация и развал I происходили с сильно возбужденных электронных состояний, образовавшихся при поглощении по крайней мере четырех фотонов. Обсуждаются возможные элементарные реакции с участием I и продуктов.

А. П. Зуев

*Многофотон.*

*Иониза-  
ция*

9. 1982, 18,  
N 12

$\text{CS}_2$

Омск 13097

1982

11 Б147. Индуцируемая лазером флуоресценции состояния  $\tilde{R}^{es}B_2\text{CS}_2$ , возбуждаемая в области 3547 Å. Vassudev R. Laser-induced fluorescence of the  $\tilde{R}^{es}B_2$  state of  $\text{CS}_2$  excited at 3547 Å. «Chem. Phys.», 1982, 64, № 2, 167—173 (англ.)

Измерены спектры резонансной флуоресценции молекул  $\text{CS}_2$ , возбуждаемые третьей гармоникой Ne—ИАГ-лазера ( $\lambda_{возб}=3547$  Å;  $\Delta\nu \approx 2$  см<sup>-1</sup>). Показано, что излучение лазера накачивает линии  $R$  (62) перехода 0,8,0—0,1,0 и  $R$  (58, 59) перехода 0,10,0—0,2<sup>2</sup>,0 системы  $\tilde{R}^{es} B_2 - X^1\Sigma_g^+ \text{CS}_2$ . Наблюдано и идентифицировано большое число переходов на различные колебательные уровни основного электронного состояния. С. Б. Осин

резонанс. флуоресц., спектр,  
М.Л.

Х. 1982, 19, N 11.

1983

CS<sub>2</sub>

1 Л152. ИК-спектры высокого разрешения полосы  $\nu_3 - \nu_1$  сероуглерода  $^{12}\text{C}^{32}\text{S}_2$  и  $^{12}\text{C}^{34}\text{S}_2$ . Spectres infrarouges à haute résolution du disulfure de carbone  $^{12}\text{C}^{32}\text{S}_2$  et  $^{12}\text{C}^{34}\text{S}_2$  la bande  $\nu_3 - \nu_1$ . Baeten Edith, Blanquet et Ghislain, Walrand Jacques, Courtois C. P. «Ann. Soc. sci. Bruxelles.», 1983, 97, № 4, 229—241 (фр.; рез. англ.)

С помощью двойного дифракционного спектрометра с разрешением  $0,07\text{ см}^{-1}$  исследованы спектры поглощения в области перехода с возбужденного колебательно-го состояния  $\nu_3 - \nu_1$  ( $860\text{ см}^{-1}$ ) молекул CS<sub>2</sub> в газовой фазе. Исследованы образцы, обогащенные изотопами  $^{32}\text{S}$  и  $^{34}\text{S}$ . Измерено положение  $>200$  линий колебательно-вращательной структуры. Определены вращательные параметры молекул CS<sub>2</sub>, воспроизводящие наблюдаемый спектр со средним отклонением не хуже  $0,004\text{ см}^{-1}$ .

К. Э. М.

сф. 1985, 18, № 1

*CS<sub>2</sub>*

1983

. 24 Б1255. Инфракрасные спектры высокого разрешения полосы  $\nu_3 - \nu_1$  сероуглерода  $^{12}\text{C}^{32}\text{S}_2$  и  $^{12}\text{C}^{34}\text{S}_2$ . Spectres infrarouges à haute résolution du disulfure de carbone  $^{12}\text{C}^{32}\text{S}_2$  et  $^{12}\text{C}^{34}\text{S}_2$ . La bande  $\nu_3 - \nu_1$ . Baeten E., Blanquet G., Walrand J., Courtois C. P. «Ann. Soc. sci. Bruxelles», 1983, 97, № 4, 229—241 (фр.; рез. англ.).

Измерены ИК-спектры поглощения высокого разрешения ( $0,07 \text{ см}^{-1}$ ) полосы  $\nu_3 - \nu_1$  изотопных молекул  $^{12}\text{C}^{32}\text{S}_2$  и  $^{12}\text{C}^{34}\text{S}_2$ . Из анализа ТС полос (83 и 98 компонент, соотв.) определены молек. постоянные (данные для изотопа  $^{34}\text{S}$  в скобках): переход  $00^1 - 10^0$ ,  $\nu_0 = 877,356 \pm 0,0004 \text{ см}^{-1}$  ( $889,235 \pm 0,003$ ),  $B''(10^{-5} \text{ см}^{-1}) = 10896,15 \pm 0,25$  ( $10254,79 \pm 0,32$ ),  $\Delta B = -55,85 \pm 0,005$  ( $-51,99 \pm 0,03$ ),  $D''(10^{-3} \cdot \text{см}^{-1}) = 1,045 \pm 0,024$  ( $0,981 \pm 0,021$ ),  $\Delta D = -0,040 \pm 0,004$  ( $-0,007 \pm 0,002$ ). Для  $^{12}\text{C}^{34}\text{S}_2$  выполнен также анализ ТС (61 компонента) горячей полосы  $(\nu_2^1 + \nu_3) - (\nu_1 + \nu_2^1)$ ,  $\nu^0 = 878,431 \text{ см}^{-1}$ .

Б. В. Рассадин

X. 1984, 19, № 24

$\text{CS}_2$

1984

102: 86752f Tunable diode laser spectra of the  $\nu_3 - \nu_1$  region of carbon disulfide. Baeten, Edith; Blanquet, Ghislain; Walrand, Jacques; Courtoy, C. P. (Lab. Spectrosc. Mol., Fac. Univ. Notre-Dame de la Paix, 5000 Namur, Belg.). *Can. J. Phys.* 1984, 62(12), 1286-92 (Eng). The 850 to 900  $\text{cm}^{-1}$  region of  $\text{CS}_2$  was investigated with a tunable diode laser spectrometer having Doppler-limited resoln. and a waveno. accuracy of  $10^{-3} \text{ cm}^{-1}$ . More than 2250 lines were detected and attributed to 8 transitions of  $^{12}\text{C}^{32}\text{S}_2$ ,  $^{12}\text{C}^{32}\text{S}^{33}\text{S}$ , or  $^{12}\text{C}^{32}\text{S}^{34}\text{S}$ .

$\nu_3 - \nu_1$ ,  
laser boss.  
check my

C.A.1985, 102, N10

*CS<sub>2</sub>*

1983

Л381. Многофотонная ионизация паров CS<sub>2</sub>. Multistep ionization of CS<sub>2</sub> vapour. Bieniak B., Ernst K. «Appl. Phys.», 1983, B31, № 3, 153—155 (англ.)

Изучена многофотонная ионизация паров CS<sub>2</sub> в замкнутой кювете под действием излучения N<sub>2</sub>-лазера (337 нм) при плотности мощности излучения 10<sup>7</sup> Вт·см<sup>-2</sup>. Получены зависимости фототока от давления и интенсивности лазерного излучения. Эксперим. результаты проанализированы на основе формализма кинетич. ур-ний. Установлено, что ионизация осуществляется в результате 3-фотонного поглощения. Получена оценка для времени ион-электронной рекомбинации (100 мкс).

В. А. Елохин

*Многофотонная  
ионизация*

cf. 1984, 18, n1

*CS<sub>2</sub>*

*1983*

**22 Б1503.** Многоступенчатая ионизация паров CS<sub>2</sub>.  
Multistep ionization of CS<sub>2</sub> vapour. Bieniak B.,  
Ernst K. «Appl. Phys.», 1983, B31, № 3, 153—155  
(англ.)

При помощи ионизац. камеры, заполненной парами CS<sub>2</sub> при давл. 15—150 Торр, изучали процесс многоступенчатой фотоионизации (МФИ) CS<sub>2</sub> под действием сфокусированного излучения 337 нм импульсного лазера на N<sub>2</sub> (ширина импульса 6 нс, пиковая мощность ~200 кВт, частота следования импульсов 30 Гц, плотность потока энергии в фокусном пятне  $W$  до 10<sup>7</sup> Вт/см<sup>2</sup>). В опытах измеряли величину фототока  $J$  в зависимости от давл. паров CS<sub>2</sub>, интенсивности  $I$  лазерного луча (ее изменяли при помощи нейтр. стеклянных фильтров) напряженности электрич. поля (расстояние между плоскопараллельными электродами 3,5 мм, напряжение 10—1000 В). Показано, что при  $W < 10^6$  Вт/см<sup>2</sup> зависимость  $J$  от  $I$  имеет вид  $J \sim I^n$ , где  $n \approx 3$ , что указывает на процесс трехфотонной иони-

*многоступенчатая  
ионизация*

*X. 1983, 19, N 22.*

зации  $CS_2$  (Пт ионизации  $CS_2$  равен 10,1 эВ, энергия фотона света 337 нм равна 3,7 эВ). При более высоких значениях  $W$  зависимость  $J$  от  $I$  обнаруживает тенденцию к насыщению ( $n=3,1-3,3$ ), что указывает на наличие резонансного процесса (однофотонное поглощение света с возбуждением  $^1A_2$ -компоненты состояния  $^1\Delta_u$  или двухфотонное поглощение с возбуждением высоких колебательных уровней  $\tilde{C}$ -состояния молекулы  $CS_2$ ). Зависимость  $J$  от давл. паров  $CS_2$  линейна при давл. ниже 50 Торр и становится квадратичной при более высоких давл. Предположен, что эффект связан с ионизацией под действием вторичных электронов, ускоренных электрич. полем. Этот вывод подтвержден опытами по включению электрич. поля через различные промежутки времени (до 350 мкс) после лазерного импульса. Показано, что вклад этого процесса в  $\sim 100$  раз превышает вклад от чистой фотоионизации.

В. Е. Скурат

р.о.  
опро  
...  
...

*CS<sub>2</sub>*

1983

99: 79554j Multistep ionization of carbon disulfide vapor.  
Bieniak, B.; Ernst, K. (Inst. Exp. Phys., Warsaw Univ., PL-00681  
Warsaw, Pol.). *Appl. Phys., [Part] B* 1983, B31(3), 153-5 (Eng).  
A multistep ionization process was obsd. in CS<sub>2</sub> vapor irradiated by a  
337-nm N<sub>2</sub> laser. A model is described in which optical as well as  
collisional excitation are involved in the ionization process.

*Multistep  
ionization  
of CS<sub>2</sub> vapor*

c.a. 1983, 99, N/10

$CS_2$

Om. 16879

1983

Chen E.C.M., Wentworth  
W.E.

Ae; J. Phys. Chem., 1983,  
87, N 1, 45-49.

$CS_2$

1983

Donovan R.J., Fotakis C.,  
et al.

checkmp Can. J. Chem., 1983,  
61, N.S; 1023-1026

• (Cer. C.S.; III)

*CS<sub>2</sub>*

Он. 16966

1983

12 Д499. Высшие электронно-возбужденные состояния дисульфида углерода. Исследования методом электронного удара. Higher electronic excited states of carbon disulfide. An electron impact investigation. Doering J. P., McDiarmid Ruth. «J. Phys. Chem.», 1983, 87, № 10, 1822—1829 (англ.)

В области 6—12 эВ получены спектры энергетич. потерь электронов при рассеянии на газообразном дисульфиде углерода. Энергия и угол падения первичных электронов варьировались в диапазонах 28—100 эВ и 0°—10° соответственно. В спектрах идентифицированы переходы с участием состояний  $ns(\Pi_g)$  и  $pr_\sigma(\Pi_u)$  ридберговской серии, сходящейся к первому потенциальному ионизации, а также валентные переходы в состояния  $(2\pi_g)^{-1}$   $(7\sigma_g)_g^1\Pi_g$  и  $(2\pi_u)^{-1}$   $(7\sigma_g)^1\Pi_u$ . Библ. 35.

М. Т.

φ. 1983, 19, N/2

*CS<sub>2</sub>*

07. 16966 1983

22 Б113. Высоковозбужденные электронные состояния сероуглерода. Изучение методом электронного удара. Higher electronic excited states of carbon disulfide. An electron impact investigation. Doering J. P., McDiarmid R. «J. Phys. Chem.», 1983, 87, № 10, 1822—1829 (англ.).

Для молекул  $CS_2$  в газовой фазе измерены спектры потерь энергии электронов в области 5,7—11 эВ при изменении энергии возбуждения  $E$  от 28 до 100 эВ и угла рассеяния  $\theta$  от  $0^\circ$  до  $13^\circ$ . Разрешение по энергии составляло 15 мэВ. Интерпретация полученных спектров проведена на основе анализа колебательной структуры и изменений относит. интенсивностей линий при варьировании  $E$  и  $\theta$  и после детального сопоставления с лит. данными. В спектрах идентифицированы особенности, соотв-щие возбуждению:  $ns$  ( $\Pi_g$ ),  $pr\sigma$  ( $\Pi_u$ ), и, вероятно, 5 и брл ( $\Pi_u$ ) ридберговских состояний, сходящихся к первому потенциальному ионизации, а также переходов в валентные  $(2\pi_g)^{-1}(7\sigma_g)^1\Pi_g$  и  $(2\pi_u)^{-1}(7\sigma_g)^1\Pi_u$  состояния. Показано, что соотнесение рид-

*Высоковозбужденные  
электронные  
состояния*

*X.1983, 19, N 22*

берговских состояний с синглетными и триплетными состояниями справедливо только при  $n < 6$  (в случае  $(\Lambda, \Sigma)$  схемы связывания). При  $n \geq 6$  определяющим является  $(\Omega, \underline{w})$  тип связи.

О. А. Басченко

ациис  
"ЛОГ"

*CS<sub>2</sub>*

1983

8 Б4370. Эффект лазерного снега в парах CS<sub>2</sub>.  
Laser snow effect in CS<sub>2</sub> vapour. Ernst Krzysztof.  
«Adv. Laser Spectrosc. Proc. NATO Adv. Study Inst.,  
San Miniato, 26 July—7 Aug., 1981». New York; Lon-  
don, 1983, 331—337 (англ.)

По интенсивности рассеяния излучения Не—Не-лазе-  
ра исследовано образование т. наз. лазерного снега  
(ЛС) (т. е. частиц с размерами ~1 мкм) при облу-  
чении паров CS<sub>2</sub> светом 337 нм лазера на N<sub>2</sub> или све-  
том 351 и 357 нм лазера на Kr<sup>+</sup>. Процесс образования  
частиц ЛС является цепным. Предложен, след. ме-  
ханизм их образования CS<sub>2</sub>+hv→CS<sub>2</sub>\*; CS<sub>2</sub>\*+CS<sub>2</sub>→  
→2CS<sub>2</sub>; CS<sub>2</sub>\*+CS<sub>2</sub>→2CS+S<sub>2</sub>; nCS→(CS)<sub>n</sub>. Этот про-  
цесс возможен при условии, что длина волны возбуж-  
дающего света совпадает с линиями поглощения CS<sub>2</sub>,  
принадлежащими к одной из двух перекрывающихся  
полос поглощения при 290—380 и при 330—430 нм.  
Образование ЛС связано и с Фл возбужденных моле-  
“ер”

*x. 1984, 19, № 8*

кул  $\text{CS}_2^*$ . Фиолетовые линии 407, 413 и 415 нм лазера на  $\text{Kr}^+$ , к-рые в принципе могут совпадать с одной из линий в полосе поглощения 330—430 нм, не возбуждают Фл и не дают ЛС. Это показывает, что для образования частиц ЛС требуются электронновозбужденные молекулы  $\text{CS}_2^*$ . В условиях эксперимента прямая фотодиссоциация  $\text{CS}_2$  невозможна по энергетич. причинам: минимальная энергия фотона, требуемая для процесса  $\text{CS}_2 + h\nu \rightarrow \text{CS} + \text{S}$ , составляет 4,46 эВ ( $\sim 230$  нм). Аэрозольные частицы образуют коричневый осадок на дне кюветы. Масс-спектральный анализ осадка обнаруживает присутствие  $\text{CS}$ ,  $(\text{CS})_2$  и различных форм серы ( $\text{S}_2, \dots, \text{S}_8$ ), что согласуется с предложеной моделью образования ЛС. Изучение кинетики процесса показывает, что частицы ЛС образуются при давл.  $\text{CS}_2$  выше нек-рого порогового значения, к-рое зависит от интенсивности лазерного пучка и от геометрии эксперимента. Показано, что осаждение частиц обнаруживает осцилляции с периодом  $\sim 6$ —10 мин, причем период увеличивается с повышением давл., а положения максимумов и их амплитуды зависят от давл.  $\text{CS}_2$ . Эффект связан с ростом в системе только крупных частиц. Лишь после их осаждения, к-рое происходит периодически, начинается зародышеобразование и рост малых частиц. Данная модель возникновения осцилляций. Размеры осаждающихся частиц также обнаруживают осцилляции во времени около среднего значения 1 мкм. Указано, что эффект ЛС может быть использован практически для визуализации конвективных движений в газовых средах.

Б. Е. Скурат

*CS<sub>2</sub>*

*Om. 18371 1983*

5 Л259. Прямые измерения УФ-спектра поглощения при переходах  ${}^1\Sigma_g^+ \rightarrow {}^1B_2({}^1\Sigma_u^+)$  в охлажденном истечением из сопла CS<sub>2</sub>. The direct ultraviolet absorption spectrum of the  ${}^1\Sigma_g^+ \rightarrow {}^1B_2({}^1\Sigma_u^+)$  transition of jet-cooled CS<sub>2</sub>. Hemley R. J., Leopold D. G., Roebber J. L., Vaida V. «J. Chem. Phys.», 1983, 79, № 11, 5219—5227 (англ.)

*III.*  
В области 47 750—53 200 см<sup>-1</sup> измерены спектры поглощения CS<sub>2</sub> [переход  ${}^1\Sigma_g^+ \rightarrow {}^1B_2({}^1\Sigma_u^+)$ ], охлажденного сверхзвуковым истечением из сопла в смеси с буферным газом. Регулировкой состава и давления последнего достигались различные колебательные т-ры CS<sub>2</sub>

*о. 1984, 18, № 5*

( $\leqslant 300$  K) при глубоком ( $< 10$  K) вращательном охлаждении молекул, что облегчило точное определение частот и относит интенсивностей переходов с нулевого и возбужденных колебательных уровней основного состояния. Исходя из качеств. анализа спектра в средней части диапазона ( $49\ 000$ — $51\ 000$  см $^{-1}$ ) сделан вывод о том, что его ровибронная структура в большей степени соответствует квазилинейной возбужденной молекуле, нежели симметричному волчку. Существенное усложнение структуры спектра с ростом энергии возбуждения предположительно связано с усилением ангармоничности состояний CS<sub>2</sub>.

С. В. Литке

*CS<sub>2</sub>*

Om. 18371 1983

9 Б1130. Прямой ультрафиолетовый спектр поглощения в области перехода  ${}^1\Sigma_g^+ \rightarrow {}^1B_2({}^1\Sigma_u^+)$  охлажденного в струе CS<sub>2</sub>. The direct ultraviolet absorption spectrum of the  ${}^1\Sigma_g^+ \rightarrow {}^1B_2({}^1\Sigma_u^+)$  transition of jet-cooled CS<sub>2</sub>. Hemley R. J., Leopold D. G., Roebber J. L., Vaida V. «J. Chem. Phys.», 1983, 79, № 11, 5219—5227 (англ.)

В области 47 750—53 200 см<sup>-1</sup> с разрешением ~0,2 Å измерены спектры поглощения молекул CS<sub>2</sub>, переохлажденных в сверхзвуковой струе. Путем подбора состава газа-носителя получены спектры CS<sub>2</sub> в области перехода  ${}^1\Sigma_g^+ \rightarrow {}^1B_2({}^1\Sigma_u^+)$  с низкой вращательной (<10 K) и высокой колебательной (~300 K) т-рой (CS<sub>2</sub>: Ar = 1 : 10) и с низкой вращательной и низкой колебательной т-рами (CS<sub>2</sub>: C<sub>4</sub>H<sub>10</sub>: Ar = 1 : 2 : 10). В спектрах наблюдалась структура из кластеров полос, разделенных интервалом ~400 см<sup>-1</sup>. Эта прогрессия отнесена к переходу из основного состояния CS<sub>2</sub> с линейной конфигурацией на возбужденное  ${}^1B_2$  с угловой конфигура-

*Di, M.N.*

*X.1984, 19, N 9*

цией. Идентифицированы переходы на уровни  $(v_1', v_2')$ ,  $(v_1'+1, v_2'-1)$ ,  $(v_1'-1, v_2'+1)$ ,  $(v_2'+2, v_1'-2)$  и т. д. из основного и первых возбужденных колебательных уровней нижнего состояния. Установлено, что в возбужденном состоянии симм. вал. и деф. колебания имеют близкую частоту. Наблюдаемые нерегулярности структуры в области ниже  $49\ 000\ \text{см}^{-1}$  объяснены сильным взаимодействием этих колебаний. В области франк-кондоновского максимума выделено две более регулярные подсерии с интервалами  $392$  и  $426\ \text{см}^{-1}$ , в каждую из к-рых вносят вклад деф. и вал. кол. в возбужденном состоянии. Указано, что вращательная структура полос в области  $49\ 000$ — $51\ 000\ \text{см}^{-1}$  плохо описывается моделью почти симм. волчка и соответствует линейной или квазилинейной молекуле. В области  $51\ 000\ \text{см}^{-1}$  вибронная структура усложняется, что объясняется увеличением ангармонич. взаимодействия между  $v_1'$  и  $v_2'$ . Отмечено, что для более детального анализа необходимо изотопозамещение по  $^{13}\text{C}$  и  $^{34}\text{S}$ .

С. Б. Осин

Титс

*CS<sub>2</sub>*

Om. 18371

1983

100: 14744r The direct ultraviolet absorption spectrum of the  $\Sigma_g^+ \rightarrow ^1B_2(^1\Sigma_u^+)$  transition of jet-cooled carbon disulfide. Hemley, R. J.; Leopold, D. G.; Roebber, J. L.; Vaida, V. (Dep. Chem., Harvard Univ., Cambridge, MA 02138 USA). *J. Chem. Phys.* 1983, 79(11), 5219-27 (Eng). The absorption spectrum of the linear  $\rightarrow$  bent  $\Sigma_g^+ \rightarrow ^1B_2(^1\Sigma_u^+)$  transition of jet-cooled CS<sub>2</sub> is reported at 47,750-53,200 cm<sup>-1</sup>. Adjustment of diluent gas compn. enables the prepn. of rotationally cold (<10 K)/vibrationally hot (~300 K) and rotationally cold/vibrationally cold samples. The collapse of rotational envelopes on cooling facilitates the accurate detns. of frequencies and relative absorption intensities of transitions both from the zero point level and from excited vibrational levels of the ground electronic state. At 49,000-51,000 cm<sup>-1</sup>, in the region of the Franck-Condon max., a simple vibronic pattern emerges involving 2 upper state vibrational modes contg. both stretching and bending contributions. In this region of the spectrum, the upper state rotational structure diverges from that of a nearly sym. top and approaches that of the linear or quasilinear mol. At higher energies, the vibronic structure grows in complexity, suggesting increased anharmonic mixing of these nearly degenerate modes.

$(X^1S_0 \rightarrow ^1B_2^+)$

E.A. 1984, 100, N 2

*CS<sub>2</sub>*

*Om. 16493*

*1983*

13 Б84. Исследование CS<sub>2</sub> в области энергий потерь 3—10 эВ с помощью спектроскопии энергетических потерь электронов. Study of CS<sub>2</sub> in the 3—10 eV energy range by electron energy loss spectroscopy. Hubin-Franskin M.-J., Delwiche J., Poulin A., Leclegc B., Roy P., Roy D. «J. Chem. Phys.», 1983, 78, № 3, 1200—1212 (англ.)

С помощью спектров энергетич. потерь электронов (СЭПЭ) исследован спектр возбужденных состояний молекулы CS<sub>2</sub> в газовой фазе в области энергий возбуждений 3—10 эВ. Измерения СЭПЭ проводились при различных энергиях перв. пучка электронов (1—100 эВ выше порога возбуждения) и углах рассеяния 4—90°. Высокая разрешающая способность, достигнутая при измерениях СЭПЭ (~25 мэВ), позволила провести детальный анализ колебательных прогрессий и ридберговских серий в СЭПЭ. Определение симметрии и типа возбужденных состояний проводилось на основании исследованной энергетич. и угловой зависимости дифференц. сечений возбуждения исследованных электронных

*спектр*

*X. 1983, 19, N/3*

переходов в  $CS_2$ . СЭПЭ в области энергий потерь 6—10 эВ, измеренный при энергии перв. пучка электронов 60 эВ, позволил провести реинтерпретацию и новую классификацию состояний в данной области энергий. Состояния в области энергии возбуждений 6—10 эВ отнесены к 10 ридберговским сериям, сходящимся к основному состоянию  $x^2\Pi_g$  иона  $CS_2^+$ . Переходы с энергиями 6,749 и 6,827 эВ отнесены к запрещенному по симметрии и оптически разрешенному, соотв., переходам в состояния  $^1\Pi_g$  и  $^1\Pi_u$ . Исследования СЭПЭ при малых энергиях перв. электронного пучка и больших углах рассеяния позволили определить ранее неизвестные электронные состояния с энергиями возбуждения в области 3—4 эВ. В области прогрессии с энергией ~6,6 эВ обнаружено новое триплетное состояние, в то время как предположительный триплетный характер ряда состояний  $CS_2$ , изученных ранее, в данных исследованиях не подтвердился.

И. А. Тополь.

ЛН  
К-Р

*CS<sub>2</sub>*

*On. 16493*

*1983*

1983: 116407r Study of carbon disulfide in the 3-10 eV energy range by electron energy loss spectroscopy. Hubin-Franskin, M. J.; Delwiche, J.; Poulin, A.; Leclerc, B.; Roy, P.; Roy, D. (Dep. Phys., Univ. Laval, Quebec, PQ Can. G1K 7P4). *J. Chem. Phys.* 1983, 78(3), 1200-12 (Eng). Electron impact energy loss spectra were obtained in CS<sub>2</sub> in the energy loss range of 3-10 eV with high and medium energy resoln. Measurements were performed at various incident electron energies (~10-100 eV) and scattering angles (4°-90°). The high energy resoln. (~25 meV) has made possible the detailed anal. of the vibrational progressions and Rydberg series, and some identifications are supported by the plots of the differential cross sections of the studied transitions. New bands are evidenced in the region of the low-lying states 3-5 eV and classifications are proposed. The features appearing between 6.5 and 10 eV are classified into 10 Rydberg series converging to the X<sup>2</sup>Π<sub>g</sub> ground state of CS<sub>2</sub><sup>+</sup>, and assignments are proposed for most of them. New triplet features are also evidenced around 6.6 eV, while the triplet character proposed by F. R. Greening and G. W. King (1976) for some transitions is not confirmed.

*Puglisi.  
COCMODHEU*

*C.A.1983, 98, N 14*

*CS<sub>2</sub>*

Ом. 16493 1983

8 Д537. Исследование CS<sub>2</sub> в области энергий 3—10 эВ с помощью спектроскопии энергетических потерь электронов. Study of CS<sub>2</sub> in the 3—10 eV energy range by electron energy loss spectroscopy. Hubin-Franskin M.-J., Delwiche J., Poulin A., Leclerc B., Roy P., Roy D. «J. Chem. Phys.», 1983, 78, № 3, 1200—1212 (англ.)

*спектр, ф. 1*

С помощью спектроскопии неупругого рассеяния электронов исследованы спектры возбуждения молекулы CS<sub>2</sub> в области энергий 3—10 эВ. Измерения проводились с аппаратурным разрешением ~25 и 90 мэВ при различных начальных энергиях электронов в интервале 10—100 эВ и углах рассеяния 4—90°. Выполнен анализ ридберговских серий и колебательной структуры спектров. Обнаружен ряд новых электронных переходов, в том числе не наблюдавшаяся ранее триплетная структура в области 6,6 эВ. Уточнена идентификация ридберговских серий, сходящихся к ионному состоянию X<sup>2</sup>P<sub>g</sub>. Библ. 41.

А. В. Н.

90, 1983, 18, N 8

CS<sub>2</sub>

Омск 16486

1983

Kovae B.,

фотоэкспр. J. Chem. Phys., 1983,  
секунд. 78, NY, 1684-1692.

*CS<sub>2</sub>*

1983

Левинский А. А.,  
Птицынцов В. Н.

поверхности  
помехи.  
Гиреев. Ханчан борок.  
Гиреев, 1983, 17,  
N4, 328-330.



(сст. CO<sub>2</sub>; III)

1983

CS<sub>2</sub>

1 Л216. Индуцированные взаимодействиями спектры жидкого CS<sub>2</sub>. Исследование методом численного моделирования. The interaction induced spectra of liquid CS<sub>2</sub>. A computer simulation study. Madden P. A. Tilidesley D. J. «Mol. Phys.», 1983, 49, № 1, 193—219 (англ.)

Рассчитаны индуцированные межмолекулярными взаимодействиями спектры жидкого CS<sub>2</sub> в области запрещенных правилами отбора полос: вращательной и  $\nu_1$  в ИК-поглощении и  $\nu_3$  в комб. рас. Получены выражения для индуцированного дипольного момента и поляризуемости при двух- и трехчастичных взаимодействиях, определены интегр. интенсивности полос и методом численного моделирования рассчитаны временные корреляционные ф-ции дипольного момента и поляризуемости. Вычислены контуры полос для разных т-р в интервале 191—294 К. Рассчитанные данные хорошо согласуются с экспериментальными, исключение составляет

СПСКМР

окт. 1984, 18, N 1

форма далеких крыльев полос, что связано с несовершенством модели. Проведенные расчеты подтверждают важность роли трансляционного движения в формировании полос и определяющую роль бинарных взаимодействий в интенсивности полос. Библ. 29. М. В. Т.



*CS<sub>2</sub>*

1983

99: 221433q Infrared bands of carbon disulfide, ammonia, and water vapor in selected spectral regions. Manheim, Jon Richard (Ohio State Univ., Columbus, OH USA). 1983. 259 pp. (Eng). Avail. Univ. Microfilms Int., Order No. DA8318398. From *Diss. Abstr. Int. B* 1983, 44(4), 1165.

(checkmp)

① NH<sub>3</sub>, H<sub>2</sub>O

c.A. 1983, 99, N 26

*CS<sub>2</sub>*

1983

16 Б150. Кластерное разложение волновой функции.  
Спектр ионизации внешних и внутренних валентных  
уровней CS<sub>2</sub> и COS. Cluster expansion of the wavefunc-  
tion. Outer- and inner-valence ionization spectra of CS<sub>2</sub>  
and COS. Nakatsuji Hiroshi. «Chem. Phys.», 1983,  
76, № 2, 283—293 (англ.)

В рамках методов симметризованных кластеров (СК) и конфигурац. взаимодействия с учетом СК (СК KB) рассчитаны спектры фотоионизации внешних и внутренних электронных оболочек молекул CO<sub>2</sub>, CS<sub>2</sub> и COS. Исследована зависимость теор. фотоэлектронных спектров (ФЭС) от расширения базиса сгруппированных гауссовых функций (ГФ) за счет поляризац. d-ГФ на каждом из атомов. Хорошее соответствие между теор. и эксперим. ФЭС как для внешней, так и внутренней области было достигнуто при учете в методе СК KB 3- и 4-электронных возбужденных конфигураций. В COS

*спектр*

~~✓~~

+2

X. 1983, 19, N/16

не удалось воспроизвести в расчете правильного порядка следования энергий ионизации Mo  $2\pi$  и  $9\sigma$ . Расчеты относят интенсивностей ФЭС показали, что во внешней валентной области ФЭС относят интенсивности пиков составляют более, чем 0,8, и одночастичная картина ионизации является оправданной. Для ионизации внутренних валентных MO происходит сильное смешивание конфигураций, соотв. одноэлектронной ионизации, и мультипольных возбуждений (МВ) в процессе ионизации, что приводит к стиранию отличий между основными и сателлитными пиками ФЭС. На основании данных расчетов проведено систематич. отнесение структур ФЭС и анализ подобия и отличия ФЭС 3 исследованных молекул. Показано, что процесс МВ приводит к возбуждениям электрона на сильно разрыхляющую MO, и геометрия соотв. состояний может сильно отличаться от геометрии основного состояния молекулы. Как следствие, изменение геометрии вызывает уширение ФЭС во внутренней валентной области.

И. А. Тополь

инат

*CS<sub>2</sub>*

*Om. 16467*

*1983*

8 Д548. Ударно-индукционные изменения в электронных спектрах жидкого CS<sub>2</sub>. Shock-induced changes in the electronic spectra of liquid CS<sub>2</sub>. Ogilvie Kenda M., Duvall George E. «J. Chem. Phys.», 1983, 78, № 3, 1077—1087 (англ.)

Описана эксперим. методика, позволяющая получать разрешенные во времени спектры пропускания и отражения тонких пленок жидкого CS<sub>2</sub>, подвергающихся последовательным ударным возмущениям. Полученные авторами спектры пропускания в ближней УФ- и видимой областях демонстрируют сдвиг красных краев полос спектра поглощения при увеличении давления. Так, при давл. 55 кбар ослабление проходящего света на-

*Электрон.  
спектрн.*

*9.1983, 18, N8*

блюдается в интервале длин волн 250—410 нм, а при больших длинах волн оно отсутствует. При давл. 120 кбар свет ослабляется во всей видимой области.  
Библ. 21.

М. Т.

CS<sub>2</sub>

1983

Ohwada Ken.

Paezem  
cer. hoem.

Spectrochim. acta, 1983,  
A39, N2, 181-187.

(ca. CO<sub>2</sub>; III')

CS<sub>2</sub>

Lm. 16388

1983

Ovaska M., Kivinen A.,  
UK-crekimp,  
no. 1983-  
1983  
mom  
g. coll. Street.,  
1983, 98, N1-2,  
19-26.

1983

CS<sub>2</sub>) 1 Д153. Исследование неэмпирическим методом корреляции электронов остова и валентных электронов. An ab initio study of core-valence correlation. Part ridge Harry, Bauschlicher Charles W., Jr., Walch Stephen P., Liu Bowen. «J. Chem. Phys.», 1983, 79, № 4, 1866—1873 (англ.)

В расчетах двухатомных молекул щелочных металлов ранее были получены завышенные значения для длин связей. Так, после учета релятив. эффектов у молекулы CS<sub>2</sub> длина связи оказалась на 0,5  $a_0$  больше эксперим. значения (Walch S. P. et al. «Chem. Phys. Lett.», 1982, 92, 54). Показано, что результаты расчета длин связей, потенциалов ионизации и электронного сродства значительно улучшаются, если учитывается взаимодействие состояний остова и валентной оболочки. Т. обр. удается получить наиболее удовлетворительные величины для длин связей и энергий связей у рассматриваемых молекул.

Ю. Дмитриев

гр. 1984, 18, №

*CS<sub>2</sub>*

1983

2 Б1135. Влияние магнитного поля на дискретную и непрерывную флуоресценцию CS<sub>2</sub>. The effect of a magnetic field on discrete and continuum CS<sub>2</sub> fluorescence. Silvers S. J., McKeever M. R., Chawla G. K. «Chem. Phys.», 1983, 80, № 1—2, 177—182 (англ.)

При воздействии магнитного поля (0—18 кГс) исследованы св-ва флуоресценции ( $\Phi$ ), возбуждаемой азотным лазером, паров CS<sub>2</sub> (I) при давл. 5—400 мТорр. Спектр  $\Phi$  I представляет дискретные полосы, наложенные на непрерывный спектр. Полосы  $\Phi$  являются последовательностями электронно-колебательных переходов с возбужденного уровня  $T^1A_2$ , а появление континуума  $\Phi$  вызвано процессами столкновительной и возможно внутримолек. релаксации. Магнитное поле величиной 18 кГс тушит 75% дискретной  $\Phi$ , не воздействуя на ее время жизни. Тушение дискретной  $\Phi$  объясняется зеемановской расстройкой линий возбуждения и поглощения. Непрерывная  $\Phi$  частично тушится в поле 18 кГс: при давл. 1340 мТорр тушится 20%  $\Phi$ . С понижением давл. I процент тушения непрерывной  $\Phi$  I уменьшается. При давл. 25 мТорр тушения непрерывной  $\Phi$  не наблюдается.

Н. Н. Морозов

*спектр*

X. 1984, 19,  
N 2

*CS<sub>2</sub>*

1983

4 Л387. Действие магнитного поля на дискретную и непрерывную флуоресценцию CS<sub>2</sub>. The effect of a magnetic field on discrete and continuum CS<sub>2</sub> fluorescence. Silvers Stuart J., McKeever Mark R., Chawla Gunjit K. «Chem. Phys.», 1983, 80, № 1—2, 177—182 (англ.)

Спектр флуоресценции паров CS<sub>2</sub> при возбуждении излучением азотного лазера состоит из дискретных полос, наложенных на континуум. Эти два вида флуоресценции различаются временем высвечивания. Исследовано влияние магн. поля напряженностью до 18 кГс на интенсивность и время флуоресценции. Обнаружено значительное тушение дискретной флуоресценции магн. полем, которое объясняется зеемановским сдвигом уровней. Непрерывная флуоресценция также тушится магн. полем, однако эффективность этого процесса уменьшается с уменьшением давления пара и тушение прекращается при 20 м·м рт. ст. Природа тушения непрерывного спектра флуоресценции окончательно не выяснена.

Е. П. Смирнов

*флуоресц.*

*оф. 1984, 18, № 4*

*CS<sub>2</sub>*

1983

20 Б185. КР- и ИК-спектры твердого углероддиселенида. Raman and infrared spectra of solid carbon diselenide. Torrie B. H., Andrews B., Andersson A., Powell B. M. «J. Raman Spectrosc.», 1983, 14, № 2, 96—98 (англ.) .

При т-рах 20—205 К измерены КР- и ИК-спектры в области 30—1800 см<sup>-1</sup> поликрист. CSe<sub>2</sub> (I). Поскольку возбуждение спектра КР излучением с  $\lambda$  480,0 нм вызывало разложение образца, использовали  $\lambda$  514,5 и 632,8 нм. Сложный контур полосы  $\nu_1$  в области 360—370 см<sup>-1</sup> в спектре КР I разделен на 5 компонент с учетом относительного содержания изотопов <sup>76,79,80,82</sup>Se. Отмечено сходство ИК- и КР-спектров I в НЧ-области со спектрами CS<sub>2</sub> (II), что объясняется однотипной центросимм. орторомбич. структурой I и II (пространственная группа  $C_{2h}^{18}$ ; Z=2, позиционная симметрия  $C_{2h}$ ). В области частот внутренних колебаний 300—1625 см<sup>-1</sup> в спектре КР I проявляется только

*X. 1983, 19, № 20*

активное в КР колебание  $\nu_1$  и обертоны  $2\nu_2$ , тогда как в спектре КР II наблюдался ряд составных частот, в том числе запрещенных в КР, активизированных за счет наличия разных изотопов S. Хотя изотопич. состав I разнообразнее, чем II, тем не менее спектры I лучше соответствовали простым теоретико-групповым предсказаниям, сделанным на основе структуры типа II. На основании монотонного убывания с ростом т-ры от 20 до 205 K частот колебаний решетки I в интервалах 63—55 и 55—45  $\text{см}^{-1}$  сделан вывод об отсутствии фазовых переходов в I в изученном интервале температур.

А. Н. Курский



$CS_2$

paorem  
сспектр  
уорнзарен

1983

Von Nissen W.

Mol. Tors: Geom. and Elec-  
tron. Street. Proc. NATO  
Adv. Study Inst. Isle of  
Kos. Sept. 30-Oct. 10,  
1980. New York; London,  
1983, 355-406.

(c.u.  $CS'$ ; III)

*CS<sub>2</sub>*

1983

[Om. 16684 ]

98: 152097y Study of sulfur-containing molecules in the EUV region. III. Photoexcitation of carbon disulfide. Wu, C. Y. Robert; Judge, D. L. (Space Sci. Cent., Univ. South. California, Los Angeles, CA 90089 USA). *J. Chem. Phys.* 1983, 78(5), 2180-3 (Eng). By using synchrotron radiation as a continuum background, the absorption cross section of CS<sub>2</sub> was measured using a double ionization chamber. The cross sections range from 4 to a max. value of 65 Mb in the 175-760 Å region. Two new Rydberg series *X* and *XI* were identified and apparently converge to the *D* II<sub>u</sub> state of CS<sub>2</sub><sup>+</sup> at 16.943 eV.

Puglisi.  
Reykjavík

C. A. 1983, 98, N18.

$\text{CS}_2$

Om. 16684

1983

10 Д503. Исследования серусодержащих молекул в дальней УФ-области. Ч. III. Фотовозбуждение молекул  $\text{CS}_2$ . Study of sulfur-containing molecules in the EUV region. III. Photoexcitation of  $\text{CS}_2$ . Wu C. Y. Robert, Judge D. L. «J. Chem. Phys.», 1983, 78, № 5, 2180—2183 (англ.)

С использованием синхротронного излучения и двойной ионизационной камеры в области 17,5—76,0 нм получена спектральная зависимость сечения фотопоглощения молекул  $\text{CS}_2$ . В спектрах идентифицированы две ридберговские серии X и XI, сходящиеся к состоянию  $D^2\Pi_u$  иона  $\text{CS}_2^+$ , энергия которого равна 16,943 эВ. Ч. II. см. «J. Chem. Phys.», 1982, 76, 4301. Библ. 28.

М. Т.

(H) ~~17~~

ср. 1983, 18, N 10



$\text{CS}_2^+ (\Xi)$

*CS<sub>2</sub>*

Он. 16684 1983

16 Б1322. Изучение серусодержащих молекул в крайней УФ-области. III. Фотовозбуждение CS<sub>2</sub>. Study of sulfur-containing molecules in the EUV region. III. photoexcitation of CS<sub>2</sub>. Wu Robert C. Y., Judge D. L. «J. Chem. Phys.», 1983, 78, № 5, 2180—2183 (англ.)

С использованием синхронного излучения в области длин волн 175—760 Å (энергии фотонов 70—16 эВ) при разрешении ~1 Å зарегистрирован спектр поглощения CS<sub>2</sub>. При помощи двойной ионизационной камеры измерены абс. сечения поглощения света, к-рые варьируются от 4 Мбарн при 175 Å до максим. значения 65 Мбарн при 760 Å. Отождествлены две новые ридберговские серии X и XI, обусловленные переходами из состояний *ndπ* (или *prπ*) и *ndσ* (или *prσ*) и сходящиеся к D<sup>2</sup>Π<sub>u</sub>-состоянию иона CS<sub>2</sub><sup>+</sup> при 16,943 эВ (731,7 Å). В. Е. Скурат

X.1983, 19, N 16

$C_2^1$

1984

101: 140110q High-resolution infrared spectra of the  $\nu_3 - \nu_1$  band of carbon sulfides ( $^{12}\text{C}^{32}\text{S}_2$ ) and ( $^{12}\text{C}^{34}\text{S}_2$ ). Baeten, Edith; Blanquet, Ghislain; Walrand, Jacques; Courtoy, C. P. (Lab. Spectrosc. Mol., Fac. Univ. Notre-Dame, B-5000 Namur, Belg.).

*Ann. Soc. Sci. Bruxelles, Ser. I* 1983 (Pub. 1984). 97(4), 229-41 (Fr). The  $\nu_3 - \nu_1$  band of  $^{12}\text{C}^{32}\text{S}_2$  and  $^{12}\text{C}^{34}\text{S}_2$  was analyzed by using a dual-grating IR spectrometer. For  $^{12}\text{C}^{34}\text{S}_2$  the band was obsd. with a resoln. of  $\sim 0.07 \text{ cm}^{-1}$ . The  $(\nu_2^1 + \nu_3) - (\nu_1 + \nu_2^1)$  hot band was also obsd. for  $^{12}\text{C}^{32}\text{S}_2$ . Rotational consts. for both isotopic mols. are given.

UK Creeper  
freckles jay-  
bluebird

c.A.1984, 101, N 16

*CS<sub>2</sub>*

DM. 21184

1984

10 Л154. Спектры молекул CS<sub>2</sub> в области ν<sub>3</sub>—ν<sub>1</sub> при возбуждении перестраиваемым по частоте диодным лазером. Tunable diode laser spectra of the ν<sub>3</sub>—ν<sub>1</sub> region of CS<sub>2</sub>. Baeten Edith, Blanquet Ghislain, Walrand Jacques, Courtoy C. R. «Can. J. Phys.», 1984, 62, № 12, 1286—1292 (англ.; рез. фр.)

Получены ИК-спектры (900—850 см<sup>-1</sup>) молекул CS<sub>2</sub> в газовой фазе при давл. 5·10<sup>-4</sup> мм рт. ст. при возбуждении перестраиваемым по частоте диодным лазером со спектральным разрешением 5·10<sup>-4</sup> см<sup>-1</sup>. Проведен анализ вращательных компонент ИК-полос колебаний этих молекул. Точность определения положения полос в спектре составляла 10<sup>-3</sup> см<sup>-1</sup>. Наблюдаемые более 2250 линий приписаны 8 переходам в молекулах <sup>12</sup>C·<sup>32</sup>S<sub>2</sub>, <sup>12</sup>C<sup>32</sup>S<sup>33</sup>S и <sup>12</sup>C<sup>32</sup>S<sup>34</sup>S. Рассчитаны значения вращательных постоянных изученных молекул. Частота центра ИК-полосы ν<sub>3</sub>—ν<sub>1</sub> молекул <sup>12</sup>C<sup>32</sup>S<sub>2</sub> равна 877,3562 ± 0,0006 см<sup>-1</sup>. Обсуждены возможные условия для регистрации ИК-спектра высокого разрешения молекул CS<sub>2</sub> в области частоты колебания ν<sub>3</sub>. И. В. А.

*m.n., vij*

*ср. 1985, 18, NJO*

CS<sub>1</sub>  
CS<sub>2</sub>

(Om. 20126)

1984

Carter S., Murrell J.N.

Phi-ure  
nomers.  
freeprue,  
 $(X_2g^+)$

Croatica Chemica  
acta, 1984, 57 (3)  
355 - 365.

CS<sub>2</sub>

1984

Chir S., Person W. B.

pacem  
ces.  
nocei.

Z. Phys. Chem., 1984,  
88, N3, 553 - 559.

(ces. CO<sup>+</sup>; III)

1984

CS<sub>2</sub>

10 Л188. ИК-полосы изотопического сероуглерода.  
Infrared bands of isotopic carbon disulfide. D' Cunha  
Romola, Seliskar Carl J., Manheim J.R., Rao  
Nagahari K. «J. Phys. Chem.», 1984, 88, № 3, 401—  
404 (англ.)

Получены ИК-спектры (2900—2000 см<sup>-1</sup>) молекул  
сероуглерода (**I**) и их изотопич. аналогов (<sup>32</sup>S, <sup>34</sup>S,  
~~<sup>33</sup>S и <sup>35</sup>S~~ и <sup>13</sup>C) в газовой фазе при давл. 1—10 мм рт. ст.  
со спектральным разрешением 0,01 см<sup>-1</sup>. Проведен ана-  
лиз вращательной структуры ИК-полос колебаний **I**.  
Идентифицированы компоненты вращательной структу-  
ры ИК-полос, соответствующих вращательным перехо-  
дам типа  $02^{\circ}1 \leftarrow 00^{\circ}0$  и  $03^{\circ}1 \leftarrow 01^{\circ}0$ . Вычислены значе-  
ния частот составных колебаний  $\nu_1 + \nu_3$  в спектрах **I**.  
Рассчитаны значения вращательных постоянных и моле-  
кулярных постоянных **I** в колебательно-возбужденных  
состояниях. Отмечено удовлетворительное согласие дан-  
ных расчета и наблюдаемых значений частот полос в  
колебательно-вращательных спектрах **I** и их изотопи-  
чески-замещенных аналогов в газовой фазе. Библ. 12.

И. В. А.

И. М. П., геометр  
структур

сф. 1984, 18, N 10

*CS<sub>2</sub>*

*1984*

23 Б1287. Инфракрасные полосы изотопов дисульфида углерода. Infrared bands of isotopic carbon disulfide. D'Cunha Romola, Seliskar Sag J., Mapheim J. R., Rao K. Nagahagi. «J. Phys. Chem.», 1984, № 3, 401—404 (англ.)

ИК-спектры смеси изотопов дисульфида углерода исследованы в области 3—5 мкм (2000—2900 см<sup>-1</sup>) на фурье-спектрометре с разрешением 0,01 см<sup>-1</sup>. Спектры записаны при комн. т-ре и давл. 1—10 Торр, эффективная длина оптич. пути составляла 50 см. Спектральные линии калибровались относительно линий CO. В области 2300—2350 см<sup>-1</sup> найдены две новые полосы <sup>12</sup>C<sup>32</sup>S<sup>34</sup>S. Они отнесены к Σ—Σ-переходу 02<sup>1</sup> ← 00<sup>0</sup> и П—П-переходу 03<sup>1</sup> ← 01<sup>0</sup>. Σ—Σ-полоса интенсивная и хорошо отделена от др. полос, в П—П-полосе наблюдена для  $J > 13$  структура *l*-удвоения. Обработка спектров проводилась МНК по программе Заре («J. Mol. Spectrosc.», 1973, 46, 37), составленной в приближении изолированной полосы. В результате обработки спект-

*спектр, № 1*

*X. 1984, 19, № 23*

ров впервые наблюденных полос  $2\nu_2$ ,  $3\nu_2 - \nu_2$   $^{12}\text{C}^{32}\text{S}^{34}\text{S}$  и полос  $\nu_1 + \nu_3$  остальных изотопов  $^{12}\text{C}^{32}\text{S}^{34}\text{S}$ ,  $^{12}\text{C}^{32}\text{S}^{33}\text{S}$ ,  $^{12}\text{C}^{32}\text{S}_2$ , и  $^{13}\text{C}^{32}\text{S}_2$  определены центры полос  $\nu_0$ , эффективные вращательная  $B_v$  и центробежная  $D_v$  постоянные для возбужденных колебательных состояний, включенных в анализ спектров. Из анализа ТС в спектре  $^{12}\text{C}^{32}\text{S}^{34}\text{S}$  определена постоянная  $l$ -удвоения  $q$ , к-рая составляет величину  $7,778 \cdot 10^{-5} \text{ см}^{-1}$  для  $01^10$ -уровня и  $13,71 \cdot 10^{-5} \text{ см}^{-1}$  для  $03^11$ -уровня. Эти величины для  $q$   $^{12}\text{C}^{32}\text{S}^{34}\text{S}$  оказались сравнимыми с соотв. величинами для  $^{12}\text{C}^{32}\text{S}_2$   $7,695 \cdot 10^{-5} \text{ см}^{-1}$  и  $14,44 \cdot 10^{-5} \text{ см}^{-1}$ , определенными ранее. Для исследованных ранее полос, спектроскопич. постоянные определенные в этой работе согласуются в пределах эксперим. ошибок с известными величинами.

В. М. Михайлов

*CS<sub>2</sub>*

1984

' 100: 76564r Infrared bands of isotopic carbon disulfide. D'Cunha, Romola; Seliskar, Carl J.; Manheim, J. R.; Rao, K. Narahari (Dep. Phys., Ohio State Univ., Columbus, OH 43210 USA). *J. Phys. Chem.* 1984, 88(3), 401-4 (Eng). A study of the IR spectra of isotopically enriched CS<sub>2</sub> in the region 3-5  $\mu\text{m}$  obtained at 0.01-cm<sup>-1</sup> resoln. led to the identification and interpretation of 2 new band systems of <sup>12</sup>C<sup>32</sup>S<sup>34</sup>S, 0201  $\leftarrow$  0000 and 0311  $\leftarrow$  0110. For the ( $\nu_1 + \nu_3$ ) bands of <sup>12</sup>C<sup>32</sup>S<sup>34</sup>S, <sup>12</sup>C<sup>32</sup>S<sup>33</sup>S, <sup>12</sup>C<sup>32</sup>S<sub>2</sub>, and <sup>13</sup>C<sup>32</sup>S<sub>2</sub> which also appeared in the spectra recorded, improved mol. consts. were obtained for the levels involved.

UK CNEKMS,  
WYOMING JOURNAL

C.A. 1984, 100, N 10

$\text{CS}_2$

Он. 20022

1984

З Л238. УФ-спектры высоко колебательно-возбужденных молекул  $\text{CS}_2$ . Ultraviolet spectra of vibrationally highly excited  $\text{CS}_2$  molecules. Dove J. E., Hippel H., Plach J., Troe J. «J. Chem. Phys.», 1984, 81, № 3, 1209—1214 (англ.)

При помощи лазерного возбуждения на длинах волн 308 и 351 нм получены высоко колебательно возбужденные молекулы  $\text{CS}_2$  с энергиями вплотную к диссоциативному порогу основного электронного состояния. Проведено сравнение полученных УФ-спектров с УФ-спектрами молекул  $\text{CS}_2$ , возбуждаемых термически в ударных волнах при т-рах до 4000° К. Библ. 39.

А. В. Головин

спектр

• ф. 1985, 18, № 3

$\text{CS}_2^1$

On. 20 022

1984

З Б4452. Ультрафиолетовые спектры молекул  $\text{CS}_2$  при сильном колебательном возбуждении. Ultraviolet spectra of vibrationally highly excited  $\text{CS}_2$  molecules. Dove J. E., Hippel H., Plach J., Тгое J. «J. Chem. Phys.», 1984, 81, № 3, 1209—1214 (англ.)

В области 190—500 нм измерен коэф. УФ-поглощения  $\text{CS}_2$  (0,01—1% в Ar), возбужденного до энергий, близких к пределу диссоциации основного состояния, лазером (308 и 351 нм) и ударной волной (т-ра 800—4000 К). Установлено соответствие УФ-спектров поглощения  $\text{CS}_2$  при любом (оптич. или термич.) способе возбуждения, количественно объясняемое зависимостью коэф. поглощения не от функции распределения, а только от средней энергии возбуждения.

Л. Ю. Мельников

УФ спектр

X. 1985, 19, N3

$Cs_2$

1984

101: 100559m Study of interband absorption of ferromagnetic substances based on ellipsometric measurements. Drozd, P. I.; Poperenko, L. V.; Shaikevich, I. A. (USSR). *Magnit. Svoistva Kristal. i Amorf. Materialov, Irkutsk* 1983, 147-9 (Russ). From Ref. Zh., Fiz. (A-D) 1984, Abstr. No. 6N1066. Title only translated.

конк упрочн  
броне дисс.  
МГУДА

c.A.1984, 101, n12

1984

CS<sub>2</sub>

18 Б4252. Лазерно-возбужденная электронная флуоресценция. Самотушение и тушение паров CS<sub>2</sub>. Laser-excited electronic fluorescence: self-quenching and quenching of CS<sub>2</sub> vapour. Dueñas J. A., Cabello A. «Nuovo cim.», 1984, D3, № 3, 578—588 (англ.; рез. ит., рус.)

Методом лазерно-индуцированной флуоресценции (Фл) (импульсный лазер на N<sub>2</sub>, свет 3371 Å, длительность импульса 10 нс, энергия 2 мДж) изучено тушение электронно-возбужденных состояний CS<sub>2</sub> (давл. 0,01—1 Торр). Константа скорости тушения короткоживущей Фл при 4480 Å (свет 4480 и 5860 Å выделяли с помощью интерференц. фильтров с полушириной полосы пропускания ~80 Å)  $k_s = 5,5 \cdot 10^{-10}$ , а долгоживущий  $k_e = 1,6 \cdot 10^{-10}$  см<sup>3</sup>/(молекула·с). Для Фл при 5860 Å время жизни короткоживущей компоненты  $\tau$  не зависит от давл., CS<sub>2</sub>, а  $k_e = 1,0 \cdot 10^{-10}$  см<sup>3</sup>/(молекула·с). Отмечается, что интенсивность Фл при 5860 Å нарастает значительно дольше, чем при 4480 Å. Для тушения Фл CS<sub>2</sub> при 5860 Å молекулами CO<sub>2</sub>  $k_e =$

X. 1984, 19, N 18

$=0,81 \cdot 10^{-10}$ ,  $k_s = 2,7 \cdot 10^{-10}$  см<sup>3</sup>/(молекула·с), а при 4480 Å  $k_e = 0,94 \cdot 10^{-10}$ ,  $k_s = 3,88 \cdot 10^{-10}$  см<sup>3</sup>/(молекула·с). Тушение Фл при 4480 Å молекулами CH<sub>3</sub>CN происходит с  $k_s = 7,61 \cdot 10^{-10}$  см<sup>3</sup>/(молекула·с). При давл. CH<sub>3</sub>CN  $\geq 0,1$  Торр тушение Фл при 4880 и 5860 Å не подчиняется зависимости Штерна — Фольмера: время жизни Фл достигает постоянного значения, не изменяющегося с ростом давл. CH<sub>3</sub>CN. Считается, что свечение CS<sub>2</sub> происходит из состояний <sup>1</sup>A<sub>2</sub> и <sup>3</sup>A<sub>2</sub>. Независимость τ от давл. (при давл.  $< 0,1$  Торр) показывает, что Фл при 4480 Å происходит из состояния <sup>1</sup>A<sub>2</sub> после колебательной релаксации, эффективно протекающей даже при давл.  $< 0,01$  Торр. Две компоненты излучения при 5860 Å из состояния <sup>3</sup>A<sub>2</sub> обусловлены двумя путями образования <sup>3</sup>A<sub>2</sub> из <sup>1</sup>A<sub>2</sub> и существованием процессов колебат. релаксации в триплетном состоянии.

Ю. И. Дорофеев

нп.  
туш

*CS<sub>2</sub>*

1984

12 Л332. Индуцированная лазером электронная флуоресценция. Самотушение и тушение паров CS<sub>2</sub>. Laser-excited electronic fluorescence. Self-quenching and quenching of CS<sub>2</sub> vapour. Dueñas J. A., Cabello A. «Nuovo cim.», 1984, D 3, № 3, 578—588 (англ.; рез. ит., рус.)

В области 448—586 нм получены спектры индуцированных азотным лазером ( $\lambda=337,1$  нм) паров CS<sub>2</sub>, а также газовых смесей CS<sub>2</sub> с CH<sub>3</sub>CN и CO<sub>2</sub>. Давление газовых мишеней варьировалось в диапазоне 0,1—1 мм рт. ст. По эксперим. данным рассчитаны сечения самотушения и тушения синглетных и триплетных состояний CS<sub>2</sub>. Анализ структуры спектров в длинноволни. области показал наличие колебательной релаксации синглетного состояния CS<sub>2</sub>. Обнаружены два долгоживущих состояния в области 586 нм — одно при низком давлении, другое при высоком. Установлено, что скорости тушения этих состояний молекулами CO<sub>2</sub> близки. По мнению авторов, этот факт свидетельствует о колебательной релаксации триплетного состояния.

М. Т.

*спектр*

Ф. 1984, 18, N 12

CS<sub>2</sub>

[Om. 20051]

1984

Fotakis C., Zergolis D.,  
et al.,

cremny,  
Pugdean.  
apmne

Chem. Phys. lett., 1984;  
110, N 1 73-78.

CS<sub>2</sub>

1984

2 Л220. Излучение интенсивности ИК-полосы колебания  $\nu_1$  сероуглерода. IR study on the intensity of  $\nu_1$  of carbon disulfide. Kanesaka Isao, Miyajima Tsurueuki, Kawai Kiyoysu. «J. Mol. Struct.», 1984, 118, № 3—4, 195 (англ.)

Получены ИК-спектры (700—600 см<sup>-1</sup>) чистого жидкого сероуглерода (I) и растворов I в ацетонитриле и циклогексане. Обсуждены изменения интенсивности ИК-полосы валентного колебания  $\nu_1$  I при вариации концентрации. Проведен анализ норм. колебаний и определены значения частот колебаний и силовых постоянных связей изолированных молекул I и их димеров. Предположено, что производная дипольного момента связи для колебания  $\nu_1$  в значительной мере определяется эффективностью взаимодействия этого колебания с колебаниями  $\nu_2$  и  $\nu_3$  этих молекул в жидкой фазе, тогда как электрич. поля соседних молекул слабо влияют на изменение интенсивности ИК-полосы  $\nu_1$  I. Сделан вывод, что взаимодействие молекул I и растворителя приводит к изменению параметров колебательных движений и, соответственно, изменению интенсивности полос в ИК-спектре I. Библ. 25.

И. В. А.

phi. 1985, 18,  
N 2

*CS<sub>2</sub>*

*Om. 18848 / 1984*

10 Л418. Спектры возбуждения и рассеянной флуоресценции перехода  $^1B_2(V) - ^1\Sigma_g^+(X)$  реактивно охлажденного CS<sub>2</sub>. Excitation and dispersed fluorescence spectra of the  $^1B_2(V) - ^1\Sigma_g^+(X)$  transition of jet-cooled CS<sub>2</sub>. Kasahara Hiroshi, Mikami Naohiko, Ito Mitsuo, Iwata Suehiro, Suzuki Isao. «Chem. Phys.», 1984, 86, № 1—2, 173—188 (англ.)

Получены спектры возбуждения флуоресценции и рассеянной флуоресценции в области перехода  $^1B_2(V) - ^1\Sigma_g^+(X)$  молекулы CS<sub>2</sub> в реактивной струе. На основании неэмпирич. расчета потенц. кривых возбужденного состояния и с учетом резонанса Ферми проведен анализ колебательной структуры спектров. Согласно расчетам в возбужденном состоянии молекула имеет сильно изогнутую форму ( $\theta_{SCS} = 131^\circ \pm 5^\circ$ ,  $R_{CS} = 1,645 \pm 0,01$  Å), что подтверждается также нали-

*М.Н.*

*о. 1984, 18, N 10*

чием длинных прогрессий деформационного обертона  $2v_2''$  в спектре флуоресценции. Определены спектроскопич. постоянные состояния  ${}^1B_2(V)$   $CS_2$  и получена аналитич. аппроксимация потенц. кривой по углу изгиба молекулы. Отклонения в распределении интенсивности колебат. полос от франк-кондоновского объясняется ангармонизмом потенц. кривой и зависимостью электронного момента перехода от ядерных координат. Библ. 26.

Е. П. Смирнов

от. 18848

1984

CS<sub>2</sub>

18 Б1123. Спектры возбуждения и диспергированной флуоресценции связанные с переходом  ${}^1B_2(V) - {}^1\Sigma_g^+(X)$ , охлажденного в струе CS<sub>2</sub>. Excitation and dispersed fluorescence spectra of the  ${}^1B_2(V) - {}^1\Sigma_g^+(X)$  transition of jet-cooled CS<sub>2</sub>. Kasahara Hiroshi, Mikami Naohiko, Ito Mitsuo, Iwata Suehiro, Suzuki Isao. «Chem. Phys.», 1984, № 1—2, 173—188 (англ.)

Измерены спектры возбуждения (область 3000—3300 Å) и флуоресценции CS<sub>2</sub> (переход  ${}^1B_2(V) - X{}^1\Sigma_g^+$ ) в сверхзвуковой струе. Приведены положение и интенсивность полос в спектре возбуждения, положение и отнесение ( $v_1'', v_2'', v_3''$ ) полос в спектрах флуоресценции, возбуждаемых в области четырех интенсивных полос спектра возбуждения (30530, 30750, 30900 и 31346 см<sup>-1</sup>, полосы 0—1, 0—0, 1—0). Анализ колебат. структуры перехода выполнен с учетом результатов неэмпирич.

1984,

Х. 1984, 19, N 18

расчета (ССП — КВ) адиабатич. потенциальной кривой возбужденного состояния и резонансных взаимодействий типа Ферми между колебат. уровнями основного электронного состояния. Согласно расчету, молекула  $\text{CS}_2$  в состоянии  ${}^1B_2(V)$  имеет сильно изогнутую конфигурацию с углом  $\Theta=131\pm 5^\circ$  и величиной  $R(\text{CS})=1,645\pm 0,01$  Å (вычисл. вращат. постоянные  $B$  и  $A=0,1140$  и  $3,6$  см $^{-1}$ ). Это объясняет наличие в спектрах флуоресценции чрезвычайно развитых прогрессии по  $2v_2''$ . Эксперим. значения  $T_{000}$  и  $v_2'$   $\text{CS}_2({}^1B_2)=30\,530$  и  $370$  см $^{-1}$ . Для состояния  ${}^1B_2$  оценена высота потенциального барьера по координате  $\Theta$ ,  $V=2000-2750$  см $^{-1}$ . Значения параметров  $K_2$  и  $K_4$  потенциала  $V(\Theta)=-K_2\Theta^2+K_4\Theta^4$  равны соотв.  $6922$  см $^{-1}/\text{рад}^2$  и  $4792$  см $^{-1}/\text{рад}^4$ . Аналогичный расчет проведен для состояния  ${}^3A_2(R)$ . Значения  $R(\text{CS})$ ,  $\Theta$ ,  $v$  равны  $1,644$  Å;  $136^\circ$  и  $4800$  см $^{-1}$ . Отклонения от франк-кондоносского распределения интенсивностей полос (для гармонич. осцилляторов) в спектрах флуоресценции объяснены существенно ангармоническим характером потенциала и зависимостью момента перехода от координат ядер. В. М. Ковба

*CS<sub>2</sub>*

*On. 18848*

*1984*

100: 200261f Excitation and dispersed fluorescence spectra of the  ${}^1\text{B}_2(\text{V})-{}^1\Sigma_g^+(\text{X})$  transition of jet-cooled carbon disulfide. Kasahara, Hiroshi; Mikami, Naohiko; Ito, Mitsuo; Iwata, Suehiro; Suzuki, Isao (Fac. Sci., Tohoku Univ., Sendai, Japan 980). *Chem. Phys.* 1984, 86(1-2), 173-88 (Eng). The fluorescence excitation and dispersed fluorescence spectra of the transition  ${}^1\text{B}_2(\text{V})-{}^1\Sigma_g^+(\text{X})$  of jet-cooled CS<sub>2</sub> were measured. Vibrational anal. of the spectra was carried out with the aid of ab initio calcns. of the adiabatic potential in the excited state and of a Fermi resonance calcn. of the ground-state vibrational levels. The calcd. potential indicates a drastically bent structure in the excited state ( $\theta_{\text{SCS}} = 131^\circ \pm 5^\circ$ ,  $R_{\text{CS}} = 1.645 \pm 0.01$  Å) which explains the obsd. fluorescence spectra having extremely long progressions of the overtone of bending mode  $2\nu_2''$ . The electronic origin of the transition was found at 30,530 cm<sup>-1</sup> and the irregularly spaced vibronic levels in the excited state were interpreted by a model potential  $V(\theta) = -k_2\theta^4$  along the bending coordinate  $\theta$  with a central barrier height of 2000-2750 cm<sup>-1</sup>. The anomalous Franck-Condon intensity distribution of the fluorescence spectrum is also discussed in terms of the anharmonic potential and the nuclear coordinate dependence of the transition moment.

${}^1\text{B}_2(\text{V})-{}^1\Sigma_g^+(\text{X})$   
C<sub>2</sub>H<sub>2</sub>S<sub>2</sub> (CS<sub>2</sub>)  
Japan  
creeps physop.

C.A. 1984, 100, N 24

$\text{CS}_2$

1984

/ 102: 102670k Fermi resonance and Raman intensities of carbon disulfide. Montero, S.; Domingo, C.; Wetzel, F.; Finsterhoelzl, H.; Schroetter, H. W. (Inst. Estruct. Mater., CSIC, Madrid, Spain). *J. Raman Spectrosc.* 1984, 15(6), 380-5 (Eng). The gas-phase Raman spectrum of  $\text{CS}_2$  was recorded and analyzed in the region of the  $\nu_1:2\nu_2$  Fermi resonance. The abs. differential Raman scattering cross-sections and depolarization ratios of the obsd. vibrational transitions are satisfactorily interpreted in terms of 3 bond polarizability parameters and the cubic force const.  $k_{122}$ .

$(\nu_1, 2\nu_2)$   
CKP

c.A.1985, 102, N/2

1984

7 Л214. Резонанс Ферми и интенсивности линий комбинационного рассеяния сероуглерода. Fermi resonance and Raman intensities of carbon disulphide. Montero S., Domingo C., Wetzel F., Fins-terholz H., Schrötter H. W. «J. Raman Spectrosc.», 1984, 15, № 6, 380—385 (англ.)

Получен поляризационный спектр комб. рас. (630—830 см<sup>-1</sup>) молекул CS<sub>2</sub> (**I**) в газовой фазе при возбуждении лазерными линиями 514,5 и 530,9 нм. Проведен теоретич. анализ спектра **I** в области частоты валентного симметричного колебания ν<sub>1</sub> и обертона колебания ν<sub>2</sub> **I**. Рассчитаны величины абр. диффер. сечения комб. рас. и степени деполяризации линий комб. рас. **I** с учетом эффекта резонанса Ферми между состояниями ν<sub>1</sub> и 2ν<sub>2</sub>. Определены силовые постоянные связей в **I**. Найдены анизотропия и след тензора комб. рас. для изученных колебаний **I**. Показано, что наблюдаемый спектр комб. рас. **I** может быть интерпретирован в рамках теории поляризуемости связей с использова-

Д. С. Асланян

М.Н.

с.р. 1985, 18, N 7

нием трех независимых параметров тензора комб. рас.  
и кубической силовой постоянной связи  $K_{122}$ , равной  
 $43 \text{ см}^{-1}$ .

И. В. А.



*CS<sub>2</sub>*

1984

4 Л291. Неупругое рассеяние и тонкая структура сателлитов в УФ-фотоэлектронном спектре высокого разрешения молекулы CS<sub>2</sub>. Inelastic scattering and satellite fine structure in the high-resolution UV photoelectron spectrum of CS<sub>2</sub>. Reineck I., Wannberg B., Veenhuizen H., Nohre C., Maripuu R., Norrell K.-E., Mattsson L., Karlsson L., Siegbahn K. «J. Electron Spectrosc. and Relat. Phenom.», 1984, 34, № 3, 235—252 (англ.)

Исследованы зависимости формы полос HeI (58,4 нм) — фотоэлектронные спектры паров CS<sub>2</sub> от давления. В работе применен усовершенствованный спектрометр Уппсальского университета (Швеция), позволяющий определять положение узких линий в шкале энергий с точностью не хуже  $\pm 1$  мэВ. Установлено, что интенсивность некоторых компонент колебательной структуры полос, соответствующих образованию иона

*спектр*

оф. 1985, 18, № 4.

$\text{CS}_2^+$  в состояниях  $X^2\Pi_g$ ,  $B^2\Sigma_u^+$  и  $C^2\Sigma_g^+$ , зависит от давления  $\text{CS}_2$ . Авторами высказано предположение о том, что причиной этой зависимости является неупругое рассеяние фотоэлектронов, образующихся при адабатич. переходах. Высокие эксплуатационные возможности спектрометра позволили обнаружить колебательную структуру полос, интерпретируемых как сателлиты.

Библ. 31.

М. Т.

1984

CS<sub>2</sub>

5 Б1114. Тонкая структура, связанная с неупругим рассеянием и сателлитом, в фотоэлектронных спектрах высокого разрешения CS<sub>2</sub>. Inelastic scattering and satellite fine structure in the high-resolution uv photoelectron spectrum of CS<sub>2</sub>. Reineck I., Wannberg B., Veenhuizen H., Nohre C., Margriuu R., Norrell K.-E., Mattsson L., Karlsson L., Siegbahn K. «J. Electron Spectrosc. and Relat. Phenom.», 1984, 34, № 3, 235—252 (англ.)

С высоким разрешением ( $\sim 9$  МэВ) измерены фотоэлектронные спектры (ФЭС) с возбуждением излучениями He-I и Ne-I для молекул CS<sub>2</sub> в области ионизации верхних валентных уровней. В полученных спектрах идентифицирована обширная колебат. структура полос, связанных с  $X^2\Pi_g$ ,  $A_2\Pi_u$ ,  $B^2\Sigma_u^+$  и  $C^2\Sigma_g^+$  конечными состояниями иона CS<sub>2</sub><sup>+</sup>. Обнаружено, что относительные интенсивности нек-рых линий в ФЭС зависят от плотности газовой мишени. Этот эффект объяснен.

спектр

(1)

ex. 1985, 19, N5

неупругим рассеянием фотоэлектронов с возбуждением различных типов колебаний основного электронного состояния  $\text{CS}_2$ . Кроме того в измеренных ФЭС выявлена колебат. структура двух сателлитных полос, расположенных в областях значений Пт ионизации 16,5—17,4 и 13,8—14,3 эВ.

О. А. Басченко

$\text{CS}_2$

1984

Spiridonov V. P., Lyut-  
sarev V. S., Butayev B. S.

2, l.

Chem. Phys. Lett.,  
1984, 110, N 1, 32-39.

(c.u.  $\text{CO}_2$ ; III)

CS<sub>2</sub>

1984

Veenhuisen Hans P.

nekmpo-

Acta Univ. Uppsala.

ekon.

Abstrs Uppsala Diss.

66cokozo

Fac. Sci., 1984, N 742,

pa3pe-

24pp., ill.

wemug

(c.a.s. PH<sub>3</sub>; III)

*CS<sub>2</sub>*

1984

Зайч А.Ю., Теров А.А.,  
Симонов А.П.

спектр,  
Ригдер-  
гольские  
сопроводы

Химич. вестн. Энергии,  
1984, 18, №, 182-183.

(ccl. H<sub>2</sub>S; III)

CS<sub>2</sub>

Un. 23472 ]

1985

Blanquet F., Baeten E.,  
et al.

(Pi, II.1) J. Mol. Spectrosc., 1985,  
112, M, ● 55-70.

1985

CS<sub>2</sub>  
19 Б1337. Измерения спектра сероуглерода с использованием диодного лазера и общий колебательно-вращательный анализ. Diode-laser measurements of carbon disulfide and general rovibrational analysis. Blanquet G., Baeten E., Cauuet I., Walrand J., Courtois C. P. «J. Mol. Spectrosc.», 1985, 112, № 1, 55—70 (англ.)

(И.Н.)

В диапазоне 690—950 см<sup>-1</sup> на диодном лазерном спектрометре с использованием многоходовой ячейки Уайта ( $l \sim 52$  м, давл. 0,4 мм) измерен спектр поглощения CS<sub>2</sub> (полосы 11<sup>1</sup>1—21<sup>1</sup>0, 03<sup>3</sup>1—13<sup>3</sup>0, 03<sup>1</sup>1—13<sup>1</sup>0, 20<sup>0</sup>1—30<sup>0</sup>0, 00<sup>0</sup>2—10<sup>0</sup>1, <sup>12</sup>C<sup>32</sup>S<sub>2</sub>; 10<sup>0</sup>1—20<sup>0</sup>0, <sup>12</sup>C<sup>32</sup>S<sup>34</sup>S). Проанализирована (совместно с данными по др. полосам) вращат. структура указанных колебат. переходов и приведены значения  $v_0$ ,  $B''$ ,  $B' - B''$ ,  $D''$ ,  $D' - D''$ . Определены значения гармонич. частот колебаний ( $\omega_i$ ), параметров ангармоничности ( $x_{ij}$ ), параметров резонансного взаимодействия Ферми ( $k_{122}$ ,  $\lambda_i$ ,  $\delta$ ) и колебат.-вращат. взаимодействия ( $\alpha_i$ ). Приведены также параметры  $l$ -удвоения для уровней ( $v_1 = 0 - 2$ ,  $v_2 = 0 - 3$ ,  $v_3 = 0,1$ ). В. М. Ковба

X. 1986, 19, N/5

CS<sub>2</sub>

(M.N.)

1985  
11 Л185. Исследование сероуглерода с диодным лазером; общий колебательно-вращательный анализ. Diode-laser measurements of carbon disulfide and general rovibrational analysis. Blanquet Ghislain, Baeten Edith, Cauuet Isabelle, Walrand Jacques, Courtoy C. P. «J. Mol. Spectrosc.», 1985, 112, № 1, 55—70 (англ.)

С помощью диодного лазерного спектрометра получены ИК-спектры поглощения паров CS<sub>2</sub> в области 690—950 см<sup>-1</sup> в слое 52 м при давл. 0,4 мм рт. ст. Приведены измеренные с точностью 2·10<sup>-4</sup> см<sup>-1</sup> частоты линий 5 разностных полос, включающих колебательные уровни до 4-го порядка молекул <sup>12</sup>C<sup>32</sup>S<sub>2</sub> и полосы 10°1—20°0 <sup>12</sup>C<sup>32</sup>S<sup>34</sup>S. Для этих полос определены колебательные частоты и вращательные и центробежные постоянные начальных и конечных состояний. С привлечением литературных данных по частотам 40 колебательных переходов найдены гармонич. частоты, все параметры ангармоничности  $x_{ij}$  и параметр  $y_{222}$ , а также параметры резонанса Ферми. При анализе учтено влияние резонанса Ферми на вращательные константы. Определены константы  $I$ -удвоения для П-состояний. Библ. 23.

М. В. Т.

Ф. 1986, 18, N 11.

CS<sub>2</sub>

1985

Chael F.T., Ille Dowell  
C.A.

Celest. nocturni,

♂, sp;

Y. illool. Street.  
1985, 129 (1-2), 169-  
-73.

(Cer. F<sub>2</sub>; III)

$\text{CS}_2$

1985

17 Б1159. Резонансное комбинационное рассеяние, связанное с переходом  ${}^1\Sigma_g^+ \rightarrow {}^1B_2({}^1\Sigma_u^+)$   $\text{CS}_2$ . Resonance Raman scattering in the  ${}^1\Sigma_g^+ \rightarrow {}^1B_2({}^1\Sigma_u^+)$  transition of  $\text{CS}_2$ . Desiderio R. A., Gerrity D. P., Hudson B. S. «Chem. Phys. Lett.», 1985, 115, № 1, 29—33 (англ.)

${}^1\Sigma_g^+ \rightarrow {}^1B_2({}^1\Sigma_u^+)$

Получены спектры РКР молекулы  $\text{CS}_2$  при возбуждении в обл. перехода  $X{}^1\Sigma_g^+ \rightarrow {}^1B_2({}^1\Sigma_u^+)$  ( $\lambda_{\text{возб}} = 192, 200, 204, 208, 213, 218, 223$  нм, в возбужденном электронном состоянии молекула имеет симметрию  $C_{2v}$ ). Приведено положение ( $\Delta v$ ) и отнесение полос ( $v_1 = 0-7, v_2 = 0-13, v_3 = 0-4$ ) в спектрах, возбуждаемых в обл. 204 нм (начальное колебат. состояние  $01^10$ ) и 200 нм (начальное состояние  $00^00$ ). Все переходы соответствуют  $\Delta l = 0$ .

В. М. Ковба

Х. 1985, № 17.

1985

CS<sub>2</sub>

18 Л192. Резонансное комбинационное рассеяние в переходе  ${}^1\Sigma_g^+ \rightarrow {}^1B_2({}^1\Sigma_u^+)$  молекул CS<sub>2</sub>. Resonance Raman scattering in the  ${}^1\Sigma_g^+ \rightarrow {}^1B_2({}^1\Sigma_u^+)$  transition of CS<sub>2</sub>. Desiderio R. A., Gerrity D. P., Hudson B. S. «Chem. Phys. Lett.», 1985, 115, № 1, 29—33 (англ.)

Получены спектры резонансного комб. рас. (200—6000 см<sup>-1</sup>) молекул CS<sub>2</sub> (I) в газовом потоке при возбуждении набором лазерных линий в диапазоне  $\lambda = 192—223$  нм. Идентифицированы линии фундаментальных колебаний, обертонов, составных чатот и «горячих» переходов в ансамбле взаимодействующих состояний I. Установлено резкое увеличение интенсивности комб. рас. I при возбуждении рассеяния в полосе электронного перехода в состояние  ${}^1B_2({}^1\Sigma_u^+)$  I с  $\lambda = 204$  и 200 нм. Предположено, что наблюдаемое распределение интенсивности обертонов симметричного валентного колебания  $\nu_1$  и деф. кол.  $\nu_2$  согласуется с моделью изогнутой конформации молекул I в электронно-возбужденном состоянии. Сделан вывод, что активизация линий асимметричного валентного колебания  $\nu_3$  в спектрах I

спектр, vi,  
чис. 10 см.

phi. 1985, 18, N 8

обусловлена значительным изменением силовых постоянных связей I при электронном возбуждении. И. В. А.

(тель  
по

1985

CS<sub>2</sub>

102: 175409s Resonance Raman scattering in the  ${}^1\Sigma_g^+ \rightarrow {}^1B_2({}^1\Sigma_u^+)$  transition of carbon disulfide. Desiderio, R. A.; Gerrity, D. P.; Hudson, B. S. (Chem. Phys. Inst., Univ. Oregon, Eugene, OR 97403 USA). *Chem. Phys. Lett.* 1985, 115(1), 29-33 (Eng). Resonance Raman spectra of CS<sub>2</sub> are presented at excitation wavelengths of 204 and 200 nm. Both spectra show activity in the sym. ( $\nu_1$ ) stretch and bending ( $\nu_2$ ) modes consistent with a bent, sym. stretched  ${}^1B_2({}^1\Sigma_u^+)$  upper state. In addn., these spectra show activity of the transition involving 2 quanta in the asym. ( $\nu_3$ ) stretch as well as progressions in  $\nu_1$  and  $\nu_2$  based upon this asym. mode overtone.

$({}^1\Sigma_g^+ \rightarrow {}^1B_2({}^1\Sigma_u^+))$

CKP

c. A. 1985, 102, N20

*CS<sub>2</sub>*

1985

19 Б1200. Что исследуется в эксперименте по вынужденному комбинационному расеянию с временным разрешением? What is measured in a time-resolved stimulated Raman experiment? Exter Martin van, Lagendijk Ad. «Opt. Commun.», 1985, 56, № 3, 191—196 (англ.)

На примере исследования спектра CS<sub>2</sub>-I в обл. линии  $\nu_1 \sim 656$  см<sup>-1</sup> произведено сравнение экспериментов по ВКР с временным разрешением при использовании 2 и 4 лазерных импульсов. Спектры возбуждались двумя пикосекундными лазерами на красителях с синхронной накачкой от аргонового лазера. Задержка зондирующего импульса (или пары зондирующих импульсов во втором случае) по отношению к импульсу (или паре импульсов) накачки достигала  $\sim 40$  пс. В 1-м случае можно получать информацию о мнимой части  $\text{Im} \chi^{(3)} (-\omega_s, \omega_s, \omega_e, -\omega_e)$ , где  $\omega_s$  — частота стоксова сигнала,  $\omega_l$  — частота лазерного импульса). Во 2-м можно определять абр. значения  $\chi^{(3)} (-\omega_s, \omega_s, \omega_e, -\omega_e)$ . При этом в спектрах проявляется вклад электронов в  $\chi^{(3)}$ .

*Спектр*

*X. 1986, 19, N 9*

А. В. Бобров

CS<sub>d</sub>

Лот. 230001

1985

Гершиков А.Г., Скрипчо -  
нов В.Г. и др.,

расчет

челнородки  
награждок

к  
стрункурии.

и коллегам -  
настасией

Вестн. МГУ. Серия 9,  
1985, 26, №, 531-534.

CS<sub>2</sub>

1985

Brinsrud Eric P.,  
Caldwell Gary, et al.

ff;

J. Amer. Chem. Soc.,  
1985, 107, n16, 4627-4634.

(Cer. SO<sub>2</sub>;  $\text{III}$ )

$\text{CS}_2$

Om. 22634

1985

jj 4 J1224. Сигма полосы в спектре поглощения  $^{12}\text{C}^{34}\text{S}_2^1$  в близкой УФ области. Sigma bands in the near-ultra-violet absorption spectrum of  $^{12}\text{C}^{34}\text{S}_2$ . Hardwick J. L., Seliskar C. J. «J. Mol. Spectrosc.», 1985, 113, № 2, 275—285 (англ.)

С высоким разрешением исследована в спектре поглощения R-система ( $^3A_2 - ^1\Sigma_g$ ) полос Клемана (3350—3900 Å) молекулы  $^{12}\text{C}^{34}\text{S}_2$ . Идентифицировано тридцать  $\Sigma$ -полос. В результате вращательного анализа определены колебательные изотопич. сдвиги и вращательные постоянные для уровней (0,2,0) и (0,4,0) основного состояния и уровней с  $V_1=0,1$ ;  $V_2=3-11$ ;  $V_3=0,2$  возбужденного состояния молекулы. B. C. Иванов-

III. N. Ноj

ф. 1986, 18, N 4

$\text{CS}_2$

от 22634

1985

7 Б1218. Сигма полосы в ближнем ультрафиолетовом спектре поглощения  $^{12}\text{C}^{34}\text{S}_2$ . Sigma bands in the near-ultraviolet absorption spectrum of  $^{12}\text{C}^{34}\text{S}_2$ . Hardwick J. L., Seliskar C. J. «J. Mol. Spectrosc.», 1985, 113, № 2, 275—285 (англ.)

Исследован с высоким разрешением УФ-спектр поглощения (335—390 нм) молекулы  $^{12}\text{C}^{34}\text{S}_2$  ( $R$  — система Клемана, переход  $\tilde{a}^3A_2 - X^1\Sigma$ ). Использовали многоходовую ячейку Уайта ( $l = 6—36$  м, давл. 1—100 мм). Измерена и проанализирована вращат. структура 30  $\Sigma$ -полос и получены вращат. постоянные для уровней ( $0, v_2'' = 2, 0$ ), ( $0, v_2'' = 4, 0$ ), ( $v_1', v_2', v_3'$ ) ( $v_1' = 0, 1; v_2' = 3—11; v_3' = 0$  и 2). Наблюдалось также большое число П-,  $\Delta$ -, Ф- и Г-полос. Дано положение кантов и линий вращат. структуры холодных  $\Sigma$ -полос.

В. М. Ковба

Х. 1986, № 7.

$\text{CS}_2$

Om. 22634

1985

103: 186175j Sigma bands in the near-ultraviolet absorption spectrum of carbon-12 disulfide-34 ( $^{12}\text{C}^{34}\text{S}_2$ ). Hardwick, J. L.; Seliskar, C. J. (Radiat. Lab., Univ. Notre Dame, Notre Dame, IN 46556 USA). *J. Mol. Spectrosc.* 1985, 113(2), 275-85 (Eng). The absorption spectrum of  $^{12}\text{C}^{34}\text{S}_2$  was exmd. at high resoln. at 3350-3900 Å (Kleman's R system). Thirty  $\Sigma$  bands were identified and rotationally analyzed, yielding vibrational isotope shifts and rotational consts. for the (0,2,0) and (0,4,0) levels of the ground electronic state and for levels of the excited electronic state having  $v_1 = 0$  and 1,  $v_2 = 3-11$ , and  $v_3 = 0$  and 2.

YP crekmp  
notelotserewl

c.A.1985, 103, N&L

$C_2S_2$

1985

Jasien Paul F.,  
Stevens Walter J.

M.N.

J. Chem. Phys., 1985,  
83, N6, 2984-2989.

(Ccl.  CO; III).

$\text{CS}_2$

(Cn. 2300G)

1985

Joens Jeffrey A.

et al.

J. Phys. Chem., 1985,  
89, N<sup>o</sup> 25, 5366-5370.

(Calcd. OCS;  $\overline{\text{II}}$ )

СС2

1985

5 Л194. Спектры высокого разрешения в далекой ИК-области некоторых легких линейных трех- и четырехатомных молекул. High resolution far infrared spectra of certain light linear three and four atomic molecules. Jolma Kalevi. «Acta univ. ouluen.», 1985, A, № 173, 1—22 (англ.)

Сборник статей по исследованию ИК-колебательно-вращательных спектров поглощения молекулами  $\text{CS}_2$ ,  $\text{C}_2\text{N}_2$ ,  $\text{N}_2\text{O}$ ,  $\text{CO}_2$ ,  $\text{OCS}$  и их изотопными модификациями. Методом фурье-спектроскопии с разрешением (1—0,5) ·  $10^{-2}$  см $^{-1}$  и точностью определения частот до 10 $^{-4}$  см $^{-1}$  в области 890—210 см $^{-1}$  измерены положения ~4700 линий вращательной структуры в 60 различных полосах исследованных молекул. Определены положения начал наблюдаемых полос и значения вращательных постоянных для основного колебательного состояния рассмотренных молекул. Отмечено удобство использования измеренных частот линий для калибровки инструментов с высокой разрешающей способностью в области 890—210 см $^{-1}$ . Библ. 52.

В. К.

оф. 1986, 18, N5

Р4  
X

$CS_2$

1985

Kumar Ashok, Meath  
William J.

Can. J. Phys., 1985, 63,  
N 3, 417 - 427.

(ceci.  $SO_2$ ; II)

*CS<sub>2</sub>*

*1985*

20 Б1167. Импульсные распределения валентных оболочек и энергии ионизации дисульфида углерода.

Valence-shell momentum distributions and ionization energies of carbon disulfide. Leung K. T., Brion C. E., Fatyga B. W., Langhoff P. W. «Chem. Phys.», 1985, 96, № 2, 227—240 (англ.)

Проведены измерения (*c, 2e*)-спектров молекулы CS<sub>2</sub>, на основании к-рых построены спектр потенциалов ионизации (ПИ) и импульсные распределения (ИР) валентных оболочек CS<sub>2</sub>. Измеренные ПИ сопоставлены с лит. данными расчетов энергий ионизации молекулы CS<sub>2</sub> в различных многоэлектронных приближениях. В эксперим. и теорет. спектрах ПИ наблюдается большое число ионизац. состояний при энергиях связи (ЭС) >20 эВ, что указывает на нарушение одночастичной картины ионизации CS<sub>2</sub>. Интенсивный пик при ЭС≈17 эВ от-

*(9)*

*X. 1985, 19, № 20*

несен к сателлиту перв. ионного состояния с конфигурацией  $(2\pi_u)^{-1}$ . Измеренные ИР сопоставлены с теорет. ИР МО, рассчитанными в миним. и расширенном базисах сгруппированных гауссовых ф-ций. Контурные карты электронных плотностей отдельных МО в радиальном и импульсном пространствах использованы для интерпретации формы и атомных характеристик эксперим. ИР. Показано, что использование теорет. ИР, в частности МО  $4\sigma_u$  и  $5\sigma_g$ , позволяет однозначно определить природу сателлитов в спектре ПИ. ИР валентных МО молекулы  $CS_2$  сопоставлены с соотв. ИР МО валентно-изоэлектронной молекулы  $CO_2$ .

И. А. Тополь

*CS<sub>2</sub>*

DM. 21332

1985

10 Л157. Диодная лазерная спектроскопия четырех изотопных форм CS<sub>2</sub> в области полосы ν<sub>3</sub>. Diode laser spectroscopy of the ν<sub>3</sub> band region of four isotopic forms of CS<sub>2</sub>. Linden Mayer Josef, Jones Harold. «J. Mol. Spectrosc.», 1985, 110, № 1, 65—73 (англ.)

С помощью диодного лазера получены спектры поглощения паров CS<sub>2</sub> при давл. 0,1—2 мм рт. ст. в области 1450—1550 см<sup>-1</sup>. Приведены измеренные с точностью 10<sup>-3</sup> см<sup>-1</sup> частоты колебательно-вращательных линий полос ν<sub>3</sub>, ν<sub>3</sub>—ν<sub>2</sub> и ν<sub>3</sub>—2ν<sub>2</sub> молекулы <sup>12</sup>C<sup>32</sup>S<sub>2</sub> и полосы ν<sub>3</sub> молекул <sup>34</sup>S<sup>12</sup>C<sup>32</sup>S, <sup>33</sup>S<sup>12</sup>C<sup>32</sup>S, <sup>13</sup>C<sup>32</sup>S. Для этих полос определены колебательные частоты и эффективные значения вращательных констант B и D основного и возбужденного колебательного состояния. Уточнена равновесная геометрия молекулы. Библ. 19. М. В. Т.

сф. 1985, 18, № 10

CS<sub>2</sub>

Он. 21332

1985

18 Б1298. Измерения ИК-спектров четырех изотопических форм молекулы CS<sub>2</sub> в области полосы ν<sub>3</sub> на диодном лазерном спектрометре. Diode laser spectroscopy of the ν<sub>3</sub> band region of four isotopic forms of CS<sub>2</sub>. Lindenmauer J., Jones H. «J. Mol. Spectrosc.», 1985, 110, № 1, 65—73 (англ.)

На диодном лазерном спектрометре измерены ИК-спектры поглощения 4 изотопич. разновидностей молекулы CS<sub>2</sub> в обл. 1450—1550 см<sup>-1</sup>. Волновые числа линий измерены с точностью до 0,001 см<sup>-1</sup> по отношению к известным линиям H<sub>2</sub>O и HDO. Выполнен анализ вращат. структуры полосы ν<sub>3</sub> и ряда «горячих» полос молекул C<sup>32</sup>S<sub>2</sub>, C<sup>32</sup>S<sup>34</sup>S, C<sup>32</sup>S<sup>33</sup>S и <sup>13</sup>C<sup>32</sup>S<sub>2</sub>: идентифицированы линии с  $J \leq 145$ . Определены значения волновых чисел центров полос, вращат. постоянной и квартичной центробежной постоянной для основного и возбужденных колебат. состояний.

Е. В. Алиева

X. 1985, 19, N 18.

*CS<sub>2</sub>*

Om. 21332 | 1985

102: 140040n Diode laser spectroscopy of the  $\nu_3$  band region of four isotopic forms of carbon disulfide. Lindenmayer, Josef; Jones, Harold (Abt. Phys. Chem., Univ. Ulm, D-7900 Ulm, Fed. Rep. Ger.). *J. Mol. Spectrosc.* 1985, 110(1), 65-73 (Eng). The diode laser spectrum of a natural sample of the linear mol., CS<sub>2</sub>, was measured in the region 1450-1550 cm<sup>-1</sup>. An abs. frequency calibration of approx. 0.001 cm<sup>-1</sup> was achieved by measuring CS<sub>2</sub> absorption lines relative to those of H<sub>2</sub>O and HDO and using the abs. wave nos. Band consts. were detd. for the following: C<sup>32</sup>S<sub>2</sub>; (0, 0, 1) ← (0, 0, 0), (0, 1<sup>1</sup>, 1) ← (0, 1<sup>1</sup>, 0), (0, 2<sup>0.2</sup>, 1) ← (0, 2<sup>0.2</sup>, 0), (1, 0, 1) ← (1, 0, 0); <sup>34</sup>SC<sup>32</sup>S; (0, 0, 1) ← (0, 0, 0); <sup>33</sup>SC<sup>32</sup>S; (0, 0, 1) ← (0, 0, 0); <sup>13</sup>C<sup>32</sup>S<sub>2</sub>; (0, 0, 1) ← (0, 0, 0).

(D<sub>3</sub>)

C. A. 1985, 102, N 16.

$\text{CS}_2$

[On 21632]

1985

uppers.  
in presence  
of reagent  
cheese.

Leung L.T., Brion C.E.,  
et al.,

Chem. Phys., 1985, 96,  
N<sub>2</sub>, 227-240.

$\text{CS}_2$

1985

McCrae V.R., Liu R.,  
et al.

quonogucc. J. Chem. Phys.,  
1985, 83, N<sup>7</sup>,  
3481-3490.

(See. CS; II)

CS  
CS<sub>2</sub>

0723865 1985

11 Б1188. Ультрафиолетовый спектр прямого поглощения на переходе  ${}^1\Sigma_g^+ \rightarrow {}^1B_2({}^1\Sigma_u^+)$  охлажденных в струе  ${}^{13}\text{C}{}^{32}\text{S}_2$  и  ${}^{12}\text{C}{}^{34}\text{S}_2$ . The direct ultraviolet absorption spectrum of the  ${}^1\Sigma_g^+ \rightarrow {}^1B_2({}^1\Sigma_u^+)$  transition of jet-cooled  ${}^{13}\text{C}{}^{32}\text{S}_2$  and  ${}^{12}\text{C}{}^{34}\text{S}_2$ . Rosbberg J. L., Vada V. «J. Chem. Phys.», 1985, 83, № 6, 2748—2753 (англ.). Место хранения ГПНТБ СССР

В области 43 000—54 000 см<sup>-1</sup> с разрешением 5—6 см<sup>-1</sup> измерены спектры поглощения молекул  ${}^{13}\text{C}{}^{32}\text{S}_2$  и  ${}^{12}\text{C}{}^{34}\text{S}_2$ , охлажденных в сверхзвуковой струе в смеси с Ar (1 : 20). Анализ спектров проводили в сравнении со спектрами CS<sub>2</sub> с природным содержанием изотопов. Для всех 3 изотопомеров в указанной обл. наблюдали серии полос, разделенных интервалом 400—450 см<sup>-1</sup>. Мультиплетная структура интерпретирована переходами на близко расположенные колебат. уровни возбужденного состояния, обусловленные взаимодействием между  $\nu_1$  и  $\nu_2$ . Наблюдаемые в обл. до 49 000 см<sup>-1</sup> прогрессии отнесены к переходам из линейного основного состояния CS<sub>2</sub> на изогнутое возбужденное ( ${}^1B_2$ ). Из анализа колебат. и K-структурь полос в обл. франк-кондоносского максимума (выше

III.1.

X.1987, 19, N 11

49'000 см<sup>-1</sup>) показано, что переходы в этой обл. осуществляются на квазилинейное состояние. Измеренные изотопные сдвиги свидетельствовали, что активным в спектре колебанием являлось симм. вал. кол., возмущенное взаимодействием с деформац. колебаниями. С. О.



CS<sub>2</sub>

(M. 23865)

1985

103: 169043x The direct ultraviolet absorption spectrum of the  ${}^1\Sigma^+ \rightarrow {}^1B_2({}^1\Sigma^+)$  transition of jet-cooled carbon disulfide ( ${}^{13}\text{C}{}^{32}\text{S}_2$  and  ${}^{12}\text{C}{}^{34}\text{S}_2$ ). Roebber, J. L.; Vaida, V. (Dep. Chem., Northeast. Univ., Boston, MA 02125 USA). *J. Chem. Phys.* 1985, 83(6), 2748-53 (Eng). The absorption spectra of  ${}^{13}\text{C}{}^{32}\text{S}_2$  and  ${}^{12}\text{C}{}^{34}\text{S}_2$ , cooled in supersonic expansion are reported and compared with the spectrum of the natural isotope. Cooling these samples eliminated spectral congestion due to inhomogeneous factors and yielded measurements of frequencies and isotopic shifts of bands of  ${}^{13}\text{C}{}^{32}\text{S}_2$  and  ${}^{12}\text{C}{}^{34}\text{S}_2$  relative to  ${}^{12}\text{C}{}^{32}\text{S}_2$ . The spectrum is interpreted to reflect a transition from a linear ground state to a bent excited state up to  $\sim 49,000 \text{ cm}^{-1}$  and to a quasilinear excited state above this energy.

YPCREKMP  
N2O

${}^1\Sigma^+ \rightarrow {}^1B_2({}^1\Sigma^+)$

C.A. 1985, 103, N2O

$\text{CS}_2$

1985

Scarlett M., Taylor P.R.

Sp;

Chem. Phys., 1985,  
101, n1, 17-26.

(cu.  $\text{CO}_2$ ;  $^{\text{II}}$ )

C<sub>5</sub><sup>1</sup>  
C<sub>5</sub><sup>2</sup>

[DM. 21490]

1985

среднее  
стружмурт.  
и алюминий

метал.  
изделия,  
исп. радиоактивн.  
(окраина и  
фильзилье  
богаты золотом  
составлены)

Spiridonov V.P., Lysarev  
V.I., et al.

g. Mol. Street, 1985,  
127, N 3-4, 267-276.

CS<sub>d</sub>

(OM. 22653)

1985

Spiridonov V.P., Nasarenko  
A.Ya., et al.,

Ze, pac-  
rem  
J. Mol. Struct., 1985, 124,  
N.3-4, 277-286.

*CS<sub>2</sub>*

1986

Т4 Л137. Спектральные интенсивности в полосе  $\nu_3 - \nu_1$  CS<sub>2</sub>. Spectral intensities in the  $\nu_3 - \nu_1$  band of CS<sub>2</sub>. Dang-nhu M., Blanquet G., Walrand J., Courtois C. P. «Mol. Phys.», 1986, 58, № 5, 995—1000 (англ.)

В области разностной колебательно-вращательной полосы  $\nu_3 - \nu_1$ , 850—830 см<sup>-1</sup>, изучен ИК-спектр поглощения CS<sub>2</sub>, полученный с помощью перестраиваемого динодного лазера. При т-ре 297 К и давл. образца (0,9—6) · 10<sup>-2</sup> бар измерены положения и интенсивности ряда колебательно-вращательных линий, представлена их интерпретация. В результате анализа эксперим. данных определена абс. интенсивность разностной полосы, приведено сравнение рассчитанных интенсивностей линий с наблюдаемыми. Полученные при анализе данные использованы для расчета абс. интенсивности составной полосы  $\nu_3 + \nu_1$ .

В. К.

φ. 1987, 18, № 4

*CS<sub>2</sub>*

1986

8 Л313. Масс-спектры молекулы CS<sub>2</sub> при многофотонной ионизации под действием излучения XeCl-лазера. CS<sub>2</sub> multiphoton ionization mass spectra induced by a XeCl laser. Guan Yifu, Han Jingcheng, Liu Songhao. «Гуансюэ сюэбао, Acta opt. sin.», 1986, 6, № 2, 162—168 (кит.; рез. англ.)

Получены масс-спектры молекулы CS<sub>2</sub> при многофотонной ионизации под действием излучения XeCl-лазера. Исследована зависимость степени фрагментации молекулы от плотности мощности лазерного излучения. Проведено сопоставление масс-спектров, полученных при ионизации электронным ударом и лазерным излучением. На основании полученных эксперим. данных предложен механизм многофотонной ионизации молекулы CS<sub>2</sub>.

B. A. E.

сб. 1986, 18, N8

*CS<sub>2</sub>*

1986

11 Л209. Фундаментальные колебания CS<sub>2</sub> как метод оценки влияния матрицы в спектроскопии—матрично-изолированных соединений. The fundamental vibrations of CS<sub>2</sub> as probes of matrix effects in matrix isolation spectroscopy. Givan A., Loewenschuss A., Bier K. D., Jodl H. J. «Chem. Phys.», 1986, 106, № 1, 151—159 (англ.)

Получены ИК-спектры молекул <sup>12</sup>CS<sub>2</sub> и <sup>13</sup>CS<sub>2</sub>, изолированных в матрицах N, Ar, Kr и Xe при т-ре 15—25 К, а также спектры КР матрично-изолированных молекул при возбуждении линиями излучения Ar<sup>+</sup>- и Kr<sup>+</sup>-лазеров. Сопоставлены частоты колебаний этих молекул в твердой фазе и в матрицах. Предположено, что наблюдаемое расщепление и уширение колебательных линий матрично-изолированных молекул обусловлено неэквивалентностью и типом симметрии локальных силовых полей матрицы, взаимодействиями соседних молекул в матрице, а также взаимодействием колебаний по механизму резонанса Ферми. Библ. 25.

И. В. А.

φ. 1986, 18, NII.

CS<sub>2</sub>

от. 24180

1986

1 Б1256. Использование фундаментальных колебаний CS<sub>2</sub> для анализа матричных эффектов в спектроскопии матричной изоляции. The fundamental vibrations of CS<sub>2</sub>, as probes of matrix effects in matrix isolation spectroscopy. Givan A., Loewenschuss A., Bier K. D., Jodl H. J. «Chem. Phys.», 1986, 106, № 1, 151—159 (англ.)

Исследованы ИК-спектры поглощения и спектры-КР CS<sub>2</sub> (I), изолированного в Ar-, Kr- и N<sub>2</sub>-матрицах при различных конц-иях, скоростях осаждения и т-рах. Установлены корреляции между наблюдаемыми спектрами I и различными физ. эффектами, возникающими при матричной изоляции: множественностью типов мест, занимаемых молекулами I в матрицах, взаимодействием между молекулами I, влиянием материала матрицы.

Г. М. Курамшина

ИК спектры  
поглощения  
и  
спектры-КР  
в матрицах

Х. 1987, 19, N 1

CS<sub>2</sub>

Om. 24180 1986

105; 69296e. The fundamental vibrations of carbon disulfide as probes of matrix effects in matrix isolation spectroscopy. Givan, A.; Loewenschuss, A.; Bier, K. D.; Jodl, H. J. (Dep. Inorg. Anal. Chem., Hebrew Univ., 91904 Jerusalem, Israel). *Chem. Phys.* 1986, 106(1), 151-9 (Eng). The IR and Raman spectra of matrix-isolated CS<sub>2</sub> were exmd. under a variety of exptl. conditions. The results are discussed in terms of the phys. effects common to matrix isolation spectra in general like site effects, interactions between trapped mols., effects of matrix materials and of the symmetry at the trapping site, Fermi resonance and the inherent differences between IR and Raman spectra.

(ek, CKP)

c.a. 1986, 105, n 8

$\text{CS}_2(\text{d})$

1986

(CKP,  $\nu_i$ )

105: 161176p Polarized and depolarized Raman spectra of liquid carbon disulfide in the pressure range 0-10 kbar. I. Vibration frequencies, carbon-sulfur bond length, and Fermi resonance. Ikawa, S.; Whalley, Edward (Div. Chem., Natl. Res. Counc. Canada, Ottawa, ON Can. K1A 0R6). *J. Chem. Phys.* 1986, 85(5), 2538-47 (Eng). The effect of pressure on the polarized and depolarized Raman spectra of liq.  $\text{CS}_2$ , i.e., the peak frequencies, bandwidths, and relative intensities of both the allowed  $\nu_1$  and  $2\nu_2$  bands and the interaction-induced  $\nu_2$  and  $\nu_3$  bands, were measured at  $22^\circ$  up to 10 kbar. The effect is discussed of pressure on the frequencies and on the relative isotropic intensity of the  $\nu_1$  and  $2\nu_2$  bands. The frequency of the  $\nu_1$  band increases linearly with pressure,

C.A.1986, 105, N18

within the exptl. uncertainty, at the rate  $0.16 \pm 0.01 \text{ cm}^{-1}\text{-bar}^{-1}$ , and the frequencies of the  $\nu_2$ ,  $\nu_3$ , and  $2\nu_2$  bands decrease nonlinearly. The frequency shifts are described by 2nd-order perturbation theory with the mol. anharmonicity and the intermol. interaction as perturbations. The leading terms of the shifts consist of the same deriv. of the interaction potential, multiplied by different anharmonicity consts., and the shifts of the  $\nu_1$  and  $2\nu_2$  bands suggests that the C-S bond length decreases at the rate  $2 \times 10^{-4} \text{ \AA-kbar}^{-1}$ . The relative isotropic intensity of the  $2\nu_2$  and  $\nu_1$  bands increases with pressure at the rate  $0.050 \text{ kbar}^{-1}$ , whereas the anisotropic  $2\nu_2$  intensity relative to the isotropic  $\nu_1$  intensity is independent of pressure to the exptl. precision of  $\sim 0.005$ . The effect of pressure on the 2nd deriv. of the isotropic and anisotropic parts of the polarizability with respect to the bend coordinate was  $1.1 \times 10^{-3} \text{ C-m}^2\text{-V}^{-1}\text{-kbar}^{-1}$  and  $\sim 0$ , resp., from these values.

Kraemer

1986

(CS<sub>2</sub>)<sub>n</sub> Kondow Tamotsu.

Electron. At. Collisions,  
Invited Pap. Int. Conf.

He; Phys. Electron. At. Colli-  
sions, 14th 1985 (Pub. 1986),  
577-28.

(see. Kraemer (CO<sub>2</sub>)<sub>n</sub>; III)

CS<sub>2</sub>

[OM. 23021]

1986

Scarlett et., Taylor P.R.,

Ap,  
empyr-  
myna

Chem. Phys., 1986, 101,  
N1, 17-26.

Memoirs at Manya  
a Chetnpracha

1987

CS<sub>2</sub>

107: 123565y QR decomposition in least squares analysis, with an application to the reduction of rotational spectra to molecular constants. Badowski, N. (Inst. Inorg. Chem. Metall. Rare Elements, Tech. Univ., Wroclaw, 50-370 Wroclaw, Pol.); *Spectrosc. Lett.* 1987, 20(4), 365-73. (Eng). A QR decompn. and the modification of the Gram-Schmidt method in least-squares anal. are presented, as well as a detailed description of the numerical calcn. of the rotational consts. The ordinary least-squares technique with the construction of normal equations and the cor. least-squares technique with QR decompn. were compared. These procedures were tested using well-defined synthetic data and the published microwave data on the CS<sub>2</sub> mol.

c. A. 1987, 107, n 14

CS<sub>2</sub> [27150] (m. 29475) 1987

Butayev B. S.,

Saakyan A. S., et al.

Chem. Phys. Lett.,  
1987, 138, N.Y., 303-309.

(c.c. CO<sub>2</sub>; ii)

CS<sub>2</sub>

(OM-27693)

1987

Hardwick J.L., Dao Y,  
et al.,  
synthesis  
of mon-  
glycolic  
acids.  
J. Phys. Chem., 1987,  
91, 4506 - 4510.

$C_2S$

(Om. 27322)

1987

Harrison I., King B.C.,

Чекмп  
номеги  
заким-  
рона

J. Electron Spectrosc.  
and Relat. Phenom., 1987,  
43, N2, 155-168.

$CS_2(2)$

(Om. 27049)

1987

Kearle P., Chowdhury S.,

Ae;

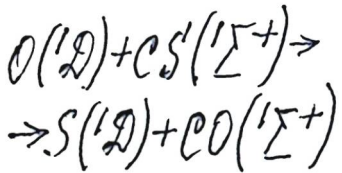
Chem. Rev., 1987, 87,  
N.3, 513-534.

CS<sub>2</sub>

[Om. 26 912]

1987

Clarell J.N., Guo H.,



J. Chem. Soc. Faraday  
Trans., 1987, Pt 2, 83,  
N 4, 683-692.

*CS<sub>2</sub>*

*11. 26 499) 1987*

9 Л454. Индуцированная лазерным возбуждением вращательно-разрешенная люминесценция и зеемановская спектроскопия квантовых биений состояния  $V^1B_2$  сероуглерода, охлажденного в потоке. Rotationally resolved laser-induced fluorescence and Zeeman quantum beat spectroscopy of the  $V^1B_2$  state of jet-cooled  $\text{CS}_2$ . Ochi Nobuaki, Watanabe Hajime, Tsuchiya Soji, Koda Seiichiro. «Chem. Phys.», 1987, 113, № 2, 271—285 (англ.)

При лазерном возбуждении исследован спектр люминесценции  $\text{CS}_2$ , охлажденного в сверхзвуковой струе до вращательных т-р менее 10 К, и проанализирована

*phi. 1987, 18, N9*

вращательная структура состояния  $V^1B_2$ . Ряд спектральных компонент зарегистрированной структуры отождествлен с переходами с «горячих» колебательных подуровней молекулы. На основании результатов исследований зеемановских квантовых биений в кинетике затухания люминесценции определены магн. моменты участвующих в переходе возбужденных вращательно-колебательных состояний. Установлено влияние спин-вращательного взаимодействия с орбитальным состоянием  $^{13}A_2$  на время жизни уровня  $^1B_2$ . Библ. 24.

В. С. З.

*CS<sub>2</sub>*

(Op. 26499)

1987

107: 14921r Rotationally resolved laser-induced fluorescence and Zeeman quantum beat spectroscopy of the V<sup>1</sup>B<sub>2</sub> state of jet-cooled carbon disulfide. Ochi, Nobuaki; Watanabe, Hajime; Tsuchiya, Soji; Koda, Seiichiro (Coll. Arts Sci., Univ. Tokyo, Tokyo, Japan 153). *Chem. Phys.*, 1987, 113(2), 271-85 (Eng). The rotationally resolved laser-induced fluorescence (LIF) excitation spectrum of V system bands (V<sup>1</sup>B<sub>2</sub>-X<sup>1</sup>S<sub>g</sub><sup>+</sup> transition) of CS<sub>2</sub> cooled in a supersonic jet was obsd. In a supersonic jet of CS<sub>2</sub>/Ar or He mixt., the rotational temp. of CS<sub>2</sub> is reduced to <10 K, and thus the LIF excitation spectrum is simplified significantly. Two types of rotational structure are found; one is composed of P and R branch transitions from even J'' levels and the other is of P, Q, and R branch transitions from even as well as odd J''. The bands with the former rotational structure were assigned to transitions to K' = 0 levels of the V<sup>1</sup>B<sub>2</sub> state, the bands with the latter structure to transitions to K' = 1 levels from the (0, 1<sup>1</sup>, 0) level of the electronic ground state, i.e. vibrationally hot bands. This assignment is supported by the further evidence that these hot bands disappear when the supersonic jet includes a 3-body gas such as NH<sub>3</sub> which enhances the vibrational relaxation of CS<sub>2</sub>. Calcn. of transition moments for resp. transitions leads to the conclusion that the upper

(V<sup>1</sup>B<sub>2</sub>-X<sup>1</sup>S<sub>g</sub><sup>+</sup>)

C.A.1987, 107, N2

levels of the V system bands are located in the region close to or higher than the potential barrier of the bending vibration of excited CS<sub>2</sub>. The radiative lifetime of CS<sub>2</sub> in single rovibronic levels of the <sup>1</sup>B<sub>2</sub> state is in the range of 2-8  $\mu$ s which is of the same order of magnitude as that calcd. from the absorption coeff. It tends to be longer for higher *J* levels or for higher vibronic levels. Zeeman quantum beating is obsd. in the fluorescence decay of excited CS<sub>2</sub> for a no. of rovibronic levels under a weak magnetic field, and thus a magnetic moment assocd. with each rovibronic level can be detd. The *g* values are around 0.02 and tend to be smaller in higher *J* levels for some vibronic states. Based on the obsd. radiative lifetime and the *g* value, it is suggested that the <sup>1</sup>B<sub>2</sub> state is perturbed by a spin-rotation interaction with 2 spin components, A<sub>1</sub> and B<sub>1</sub> of the <sup>3</sup>A<sub>2</sub> orbital state besides a strong spin-orbit coupling with the <sup>1</sup>R<sup>3</sup>B<sub>2</sub> state.

SCS

[OM. 27553]

1987

Зюбима Т. С., Чаркин О. Г.,  
Зюбим А. С.,

струк-  
тура  
стекольни.

№. №еоргаст. №еискус.,  
1987, 32, № 11, 2616 -  
- 2624.

*CS<sub>2</sub>*

1988

108: 84426c Interaction-induced vibrational spectra of liquid carbon disulfide in various solvents. Concentration effect. Jayan, E.; Dervil, E.; Loisel, J.; Pinan-Lucarre, J. P.; Tarjus, G. Serv. Spectrosc. Mol. Milieu Condense, Univ. Pierre Marie Curie, 75230 Paris, Fr.). *Chem. Phys.* 1988, 119(1), 107-23 (Eng). The forbidden  $\nu_1(\Sigma_g^+)$  IR and  $\nu_2(\Pi_u)$  Raman bands of CS<sub>2</sub> were studied in a variety of binary liq. mixts. Attention was focused on integrated intensities measured at different vol. fractions of the solvent. The variation with concn. of the IR intensity was accounted for by combining the usual multipole expansion techniques and simple liq. mixt. models. Two distinct mechanisms are involved in the Raman case; they are related to the vibrationally modulated hyperpolarizability  $\beta'$  and to the vibrationally modulated quadrupolar polarizability  $A'$ . Although the latter mechanism is predominant in pure CS<sub>2</sub>, the former mechanism cannot be neglected in strongly polar solvents.

( $\nu_1, \nu_2$ )

C. A. 1988, 108, n/10.

CS<sub>2</sub>

(OM 30028)

1988

McIntosh B.J., Adams N.G.  
et al.,

(Ap)

Chem. Phys. lett., 1988,  
148, N2-3, ● 142-148.

*CS<sub>2</sub>*

01. 28860

1988

№ 7 Л243. Вращательные возмущения в спектре поглощения дисульфида углерода между 3300 и 3450 Å (*U*-система). Rotational perturbations in the absorption spectrum of carbon disulfide between 3300 and 3450 Å (the *U* system). Мегег А. Ж., Morris Sandra A., Jungen Ch. «J. Mol. Spectrosc.», 1988, 127, № 2, 425—449 (англ.)

Спектр поглощения CS<sub>2</sub> получен в области 3300—3500 Å при т-рах —78°C и +100°C. Изученная область спектра соответствует высоким колебательным состояниям *R*- и *S*-систем ( ${}^3\Delta_u$  ( ${}^3A_2$ ,  $\Sigma=0$ ),  $B_2$ — $X^1\Sigma_g^+$ ) и *U*-системе двух изотопных модификаций  ${}^{12}\text{CS}_2$  и  ${}^{13}\text{CS}_2$ . Анализ присутствующих возмущений подтвердил, что *U*-система является продолжением *R*- и *S*-прогрессий, однако возрастающее влияние возмущений приводит к хаотизации колебательной структуры при  $v_r'=12$ . Отмечено, что спектр CS<sub>2</sub> является характер-

*М.Л.*

φ 1988, 18, № 7

ным примером ситуации, когда возмущение за счёт взаимодействия с неизвестной совокупностью уровней постепенно нарушает регулярность электронного перехода. Выделено 6 стадий возмущения, начиная с локального удвоения линий и появления псевдопересечений, через фрагментацию полос, их уорднение, раздробление к полному хаосу.

Е. А. Ж.

*CS<sub>2</sub>*

On 28860 1988

108: 65080u Rotational perturbations in the absorption spectrum of carbon disulfide between 3300 and 3450 Å (the U system). Merer, A. J.; Morris, Sandra A.; Jungen, C. (Dep. Chem., Univ. British Columbia, Vancouver, BC Can. V6T 1Y6). *J. Mol. Spectrosc.* 1988, 127(2), 425-49 (Eng). Rotational analyses were carried out for the bands of <sup>12</sup>CS<sub>2</sub> at 28,940-30,230 cm<sup>-1</sup> from plates taken with the vapor at -78°; the spectrum of <sup>13</sup>CS<sub>2</sub> was analyzed similarly at 28,940-29,420 cm<sup>-1</sup>. The region studied corresponds to the high vibrational levels of B. Kleman's (1963) R and S systems (<sup>3</sup>Δ<sub>u</sub>(<sup>3</sup>A<sub>2</sub>, Σ = 0), <sup>4</sup>v<sup>2</sup>B<sub>2</sub>-X<sup>1</sup>Σ<sub>g</sub><sup>+</sup>) and the U system. Every single upper level is perturbed in some fashion. Interpretation of the perturbations by least-squares fitting was possible for many of the bands, guided by careful considerations of the relative intensity patterns, which were often decisive in establishing the interaction mechanisms. The U system is the continuation of the R and S progressions, though the rapidly increasing severity of the perturbations by extra levels not assoc'd. with the R state reduces the vibrational structure to chaos near the v'<sub>2</sub> = 12 level. The extra levels have different C isotope shifts from the R state levels and probably belong to the ground state; both J-dependent and J-independent interactions were found. Perturbations within the level structure of the R state occur:

*fpa118am  
A. H. C. Allen  
M. Cherkina*

*c.A.1988, 108, n8*

anharmonic resonances between the levels 0 11 0 and 260, and 330 and 042 ( $s + 2$ ) were analyzed and the ratios of the transition moments detd. The  $v'_1 = 3$  progression was not recognized in previous studies of CS<sub>2</sub>. The CS<sub>2</sub> spectrum is a prototype example of how perturbations by a manifold of unseen levels progressively destroy the regularity of an electronic transition. Six stages can be recognized in the appearance of the perturbed structure, beginning with local line doublings and progressing through avoided crossings, extra band fragments, averaged bands, and shattered bands to complete chaos.



*CS<sub>2</sub>*

00 28840

1988

† 15 Б1321. Диодные лазерные спектры изотопозамещенного дисульфида углерода  $^{13}\text{CS}_2$  в области 12 мкм.  
Diode-laser spectra of isotopic carbon disulfide  $^{13}\text{CS}_2$  in  
the region of 12  $\mu\text{m}$ . Walrand J., Humbert V., Blanquet G. «J. Mol. Spectrosc.», 1988, 127, № 2, 304—323  
(англ.)

С использованием перестраиваемого диодного лазера и многоходовой кюветы с длиной поглощающего слоя 52 м в обл. 800—850  $\text{см}^{-1}$  (полоса  $\nu_3 - \nu_1$ ) с разрешением  $1,3 \cdot 10^{-3} \text{ см}^{-1}$ , определяемым допплеровским контуром линий, измерены спектры поглощения молекул  $^{13}\text{CS}_2$ . Зарегистрированы колебательно-вращат. переходы в 10 полосах  $^{13}\text{C}^{32}\text{S}^{32}\text{S}$ , полосе  $00^01 - 10^00$   $^{13}\text{C}^{32}\text{S}^{33}\text{S}$  и 4 полосах  $^{13}\text{C}^{32}\text{S}^{34}\text{S}$  и приведены волновые числа линий. Выполнен анализ вращат. структуры наблюдаемых полос и с учетом имеющихся лит. данных по ИК-фурье-спектрам поглощения рассчитаны новые зна-

*М.Л.*



X. 1988, 19, N 15

чения молек. постоянных для  $^{13}\text{CS}_2$  ( $\text{см}^{-1}$ , вращат. па-  
раметры в  $10^{-5} \text{ см}^{-1}$ )  $\omega_1 = 672,659$  (фикс.),  $\omega_2 =$   
 $= 385,125$ ,  $\omega_3 = 1507,249$ ,  $x_{11} = -1,002$ ,  $x_{12} = -2,437$ ,  
 $x_{22} = 0,936$ ,  $x_{13} = -7,429$ ,  $x_{23} = -6,009$ ,  $x_{33} = -6,451$ ,  
 $x_{11} = -0,645$ ,  $k_{122} = 41,867$ ,  $\lambda_1 = 0,414$ ,  $\lambda_2 = 0,334$ ,  $\lambda_3 =$   
 $= 0,013$ ,  $\alpha_1 = 21,03$ ,  $\alpha_2 = -20,20$ ,  $\alpha_3 = 68,47$ ,  $\delta = 6,00$ .

С. Б. Осин

$CS_2$

Om. 28840

1988

108: 84414x Diode-laser spectra of isotopic carbon disulfide  $^{13}CS_2$  in the region of 12  $\mu m$ . Walrand, Jacques; Humblet, Vinciane; Blanquet, Ghislain (Lab. Spectrosc. Mol., Fac. Univ. Notre-Dame Paix, B-5000 Namur, Belg.). *J. Mol. Spectrosc.* 1988, 127(2), 304-23 (Eng). By using a tunable diode-laser spectrometer, 10 transitions were obsd. in the  $\nu_3 - \nu_1$  region of  $^{13}CS_2$  with a sample enriched in  $^{13}C$ . One band of  $^{13}C^{32}S^{33}S$  and 4 bands of  $^{13}C^{32}S^{34}S$  were analyzed. The mol. consts. of  $^{13}C^{32}S_2$  were detd. by a general rovibrational anal. including all known data.

(U.N.)

laserboof.  
checkm/r

C.A. 1988, 108, N 10.